

АЗЭРБАЙЧАН ССР ЕЛМЛЭР АКАДЕМИЈАСЫ  
АКАДЕМИЯ НАУК АЗЕРБАЙДЖАНСКОЙ ССР

---

# МЭРҮЗЭЛЭР ДОКЛАДЫ

ТОМ XXVI ЧИЛД

2

---

«ЕЛМ» НЭШРИЈАТЫ  
ИЗДАТЕЛЬСТВО «ЭЛМ»  
БАҚЫ—1970—БАҚУ

АЗЭРБАЙЧАН ССР ЕЛМЛЭР АКАДЕМИЯСЫ  
АКАДЕМИЯ НАУК АЗЕРБАЙДЖАНСКОЙ ССР

# МЭ'РУЗЭЛЭР ДОКЛАДЫ

ТОМ ХХVI ЧИЛД

№ 2

ЕЛМ НЭШРИЛТАТЫ  
ИЗДАТЕЛЬСТВО ЭЛМ  
БАКЫ—1970—БАКУ

FB223n

## МАТЕМАТИКА

УДК 517.94 : 519.2

В. Г. ГАДЖИЕВ

## О ПРЕОБРАЗОВАНИЯХ ФУРЬЕ ДИФФЕРЕНЦИАЛЬНЫХ ОПЕРАТОРОВ В ГИЛЬБЕРТОВОМ ПРОСТРАНСТВЕ

(Представлено академиком АН Азербайджанской ССР З. И. Халиловым)

1. В конечномерном случае хорошо известна связь между преобразованием Фурье и операцией дифференцирования. Например, если  $f(x), f^{(1)}(x), \dots, f^{(n)}(x)$  интегрируемы на  $R^1$  по мере лебега, то  $F[f^{(k)}(x)] = (iz)^k F[f(x)]$ ,  $k = 0, n$ , где символ  $F[\cdot]$  означает преобразование Фурье. Эти факты дают возможность решать линейные дифференциальные уравнения с постоянными коэффициентами. Преобразованием Фурье такие уравнения переходят в алгебраические уравнения относительно  $F[f]$ .

Распространение вышеприведенных формул преобразования Фурье на функционалы  $f(x)$  и их вариационные производные в гильбертовом пространстве дало бы возможность решать дифференциальные уравнения в вариационных производных с переменными коэффициентами путем сведения к алгебраическим уравнениям. В статье даны формулы преобразования Фурье вариационных дифференциалов. Найден класс дифференциальных операторов с переменными коэффициентами, которые преобразованием Фурье переходят в операторы умножения.

2. Введем некоторые обозначения и определения. Обозначим через  $H$  гильбертово пространство со скалярным произведением  $(x, y)$ . Пусть в  $H$  выделена  $\sigma$ -алгебра  $L$ , содержащая борелевские множества, на которой дана гауссова мера  $\mu$  с характеристическим функционалом  $\exp\left\{-\frac{1}{2}(Az, z)\right\}$ , где  $A$  — неотрицательный симметрический оператор

с конечным следом. Допустим, что на  $H$  задан функционал  $f(x)$ , измеримый относительно  $\sigma$ -алгебры  $L$ .  $n$ -мерным дифференциалом функционала  $f(x)$  в точке  $x$  называется [1] функционал на  $H$ , определенный равенством

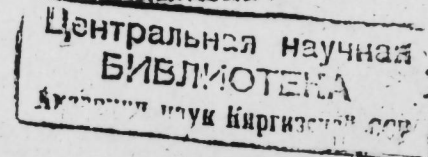
$$\delta^n f(x; a_1, \dots, a_n) = \frac{\partial^n}{\partial \lambda_1 \dots \partial \lambda_n} f(x + \lambda_1 a_1 + \dots + \lambda_n a_n) \Big|_{\substack{\lambda_1=0 \\ \vdots \\ \lambda_n=0}}$$

где  $a_1, \dots, a_n \in H$ .

РЕДАКЦИОННАЯ КОЛЛЕГИЯ: Р. Г. Исмаилов (главный редактор), Г. Б. Абдуллаев, Ш. А. Азизбеков, Г. А. Алиев, В. Ю. Ахундов, В. Р. Волобуев, Д. М. Гусейнов, М. А. Дадашзаде (зам. главного редактора), М. А. Далин, М. А. Кашкай (зам. главного редактора), С. М. Кулев, М. Ф. Нагиев, А. С. Сумбатзаде, М. А. Топчибашев, З. И. Халилов, Г. Г. Зейналов (ответственный секретарь).

Адрес: г. Баку, Коммунистическая, 10. Редакция «Докладов Академии наук Азербайджанской ССР».

п53597



Пусть функционал  $f(x)$  таков, что  $\int |f(x)| \mu(dx) < \infty$ . Обозначим операцию преобразования Фурье функционалов символов  $F[\cdot]$ :

$$F[f] = \varphi(z) = \int \exp(i(z, x)) f(x) \mu(dx).$$

Известно [2], что при сдвиге на элемент  $\lambda a$ , где  $\lambda$  — вещественное число и  $a \in H$ , сдвинутая мера  $\mu_1(dx) = \mu(d(x - \lambda a))$  абсолютно не-прерывна относительно  $\mu(dx)$ , тогда и только тогда, когда  $a = A^{\frac{1}{2}}b$  и плотность вычисляется по формуле

$$\frac{\mu_1(dx)}{\mu(dx)} = \exp\left\{\lambda(x, b) - \frac{\lambda^2}{2}(a, b)\right\}.$$

Так как  $A$  — линейный оператор, то при сдвиге на  $\sum_1^n \lambda_i a_i$ , где  $a_1, \dots, a_n \in H$  и  $\lambda_1, \dots, \lambda_n$  — вещественные числа, плотность сдвинутой меры относительно  $\mu(dx)$  будет иметь вид:

$$\frac{\mu(d(x - \lambda_1 a_1 - \dots - \lambda_n a_n))}{\mu(dx)} = \exp\left\{\sum_1^n \lambda_j(x, b_j) - \frac{1}{2} \sum \lambda_j \lambda_k (a_j, b_k)\right\}, \quad (1)$$

где  $a_j = A^{\frac{1}{2}} b_j$ ,  $j = \overline{1, n}$ .

3. Нетрудно найти выражение для  $\delta^n \varphi(z; b_1, \dots, b_n)$ :

$$\begin{aligned} \delta^n \varphi(z; b_1, \dots, b_n) &= \frac{\partial^n}{\partial \lambda_1 \dots \partial \lambda_n} \varphi\left(z + \sum \lambda_j b_j\right) \Big|_{\substack{\lambda_1=0 \\ \vdots \\ \lambda_n=0}} = \\ &= i^n \int \prod_1^n (x, b_j) f(x) e^{i(z, x)} \mu(dx) \end{aligned} \quad (2)$$

Сформулируем без доказательства две леммы, дающие формулы преобразования Фурье функционалов  $\delta^n f(x; a_1, \dots, a_n)$  и  $(x, c_m) X \delta^n f(x; a_1, \dots, a_n)$ , где  $a_1, \dots, a_n, c_1, \dots, c_m \in H$ .

Для доказательства применяется метод замены переменной и дифференцирования по параметру с использованием формул (1) и (2).

Лемма 1. Предположим, что  $\int |\delta^n f(x; a_1, \dots, a_n)| \mu(dx) < \infty$  при всех  $a_1, \dots, a_n \in H$ . Тогда имеет место следующая формула:

$$F[\delta^n f(x; a_1, \dots, a_n)] = (-i)^n \sum (z, a_{l_1}) \dots (z, a_{l_p}) (a_{j_1}, b_{k_1}) \dots \\ \dots (a_{j_q}, b_{k_q}) \delta^s \varphi(z; b_{l_1}, \dots, b_{l_s}),$$

где суммирование проводится по всем непересекающимся совокупностям целых чисел  $(i_1, \dots, i_p), (j_1, \dots, j_q), (k_1, \dots, k_q), (l_1, \dots, l_s)$  таким, что  $(i_1, \dots, i_p) \cup (j_1, \dots, j_q) \cup (k_1, \dots, k_q) \cup (l_1, \dots, l_s) = (1, 2, \dots, n)$ , причем  $p + 2q + s = n$ ,  $0 < p, 2q, s \leq n$ ,  $i_1 < \dots < i_p, l_1 < \dots < l_s, j_1 < k_1 < \dots < k_q, a = \overline{1, q}$ .

Лемма 2. В предположении, что  $\int \left| \prod_1^m (x, c_i) \delta^n f(x; a_1, \dots, a_n) \right| \mu(dx) < \infty$  справедлива формула

$$F[(x, c_1) \dots (x, c_m) \delta^n f(x; a_1, \dots, a_n)] = (-i)^{m+n} \sum (z, a_{l_1}) \dots (z, a_{l_p}) \times \\ \times (a_{j_1}, b_{k_1}) \dots (a_{j_q}, b_{k_q}) (a_{s_1}, c_{s_1}) \dots (a_{s_k}, c_{s_k}) X \delta^{m-k+s} \varphi(z; \\ C_{t_1}, \dots, C_{t_{m-k}}, b_{l_1}, \dots, b_{l_s}),$$

где суммирование проводится по всем непересекающимся совокупностям целых чисел  $(i_1, \dots, i_p), (j_1, \dots, j_q), (k_1, \dots, k_q), (s_1, \dots, s_k), (l_1, \dots, l_s)$ , являющихся подмножествами множества  $(1, 2, \dots, n)$  и по совокупностям  $(s'_1, \dots, s'_k)$  и  $(t_1, \dots, t_{m-k})$  дополняющих друг друга до  $(1, 2, \dots, m)$ , причем  $s + p + 2q + k = n$ ,  $0 \leq s, p, 2q, k \leq n$ ,  $i_1 < \dots < i_p, l_1 < \dots < l_s, j_1 < k_1 < \dots < k_q, a = \overline{1, q}$ .

4. Рассмотрим дифференциальные операторы

$$P^n (\delta f)(x) = \sum (-1)^p (x, b_{l_1}) \dots (x, b_{l_p}) \delta^q f(x; a_{j_1}, \dots, a_{j_q}),$$

где суммирование проводится по непересекающимся совокупностям  $(i_1, \dots, i_p)$  и  $(j_1, \dots, j_q)$ , причем  $(i_1, \dots, i_p) \cup (j_1, \dots, j_q) = (1, 2, \dots, n)$ ,  $p + q = n$ ,  $p, q \geq 0$ ; далее  $a_1, \dots, a_n \in H$   $b_l = A^{-1} a_i$ .

Теорема 1. Имеет место следующая формула:

$$F[P^n (\delta f)(x)] = (-i)^n \left[ \sum (-1)^s (z, a_{l_1}) \dots (z, a_{l_p}) \times \right. \\ \left. \times (a_{j_1}, b_{k_1}) \dots (a_{j_s}, b_{k_s}) \right] \varphi(z), \quad (3)$$

где  $i_1 < \dots < i_p, j_1 < k_1 < \dots < k_s, a = \overline{1, s}$ ,  $p, s \geq 0$ ,  $p + 2s = n$ .

Доказательство. Вычислим коэффициенты перед  $\delta^1 \varphi(z; b_1)$ . Члены, содержащие  $\delta^1 \varphi(z; b_1)$  из  $F[\delta^n f(x; a_1, \dots, a_n)]$  и записанные в одной сумме, имеют вид

$$\sum (z, a_{l_1}) \dots (z, a_{l_p}) (a_{j_1}, b_{k_1}) \dots (a_{j_q}, b_{k_q}) \delta^1 \varphi(z; b_1), \quad (1)$$

где суммирование проводится во всем  $i_1 < \dots < i_p, j_1 < \dots < j_q, k_1 < \dots < k_s$ ,  $s = \overline{1, q}$

$$(i_1, \dots, i_p) \cup (j_1, \dots, j_q) \cup (k_1, \dots, k_s) = (2, 3, \dots, n)$$

В  $F[- \sum_{l_1=1}^n (x, b_{l_1}) \delta^{n-1} f(x; a_{j_1}, \dots, a_{j_{n-1}})]$  слагаемые, содержащие  $\delta' \varphi(z; b_1)$  таковы:

$$- \sum (z, a_{l_1}) \dots (z, a_{l_p}) (a_{j_1}, b_{k_1}) \dots (a_{j_q}, b_{k_q}) \delta^1 \varphi(z; b_1) \quad (1)'$$

(где суммирование проводится как в (1) и

$$- \sum (a_{s_1}, b_{s'_1}) \sum (z, a_{l_1}) \dots (z, a_{l_p}) (a_{j_1}, b_{k_1}) \dots (a_{j_q}, b_{k_q}) \times \\ \times \delta^1 \varphi(z; b_1), \quad (2)$$

причем  $s_1, s'_1$  не равны  $i_1, \dots, i_p, j_1, \dots, j_q, k_1, \dots, k_s$ .

Соответствующие члены в  $F[(x, b_{l_1})(x, b_{l_2})\delta^{n-2}f(x; a_{j_1}, \dots a_{j_{n-2}})]$  будут:

$$\sum (a_{s_1}, b_{s'_1}) \sum (z, a_{l_1}) \dots (z, a_{l_p})(a_{j_1}, b_{k_1}) \dots (a_{j_q}, b_{k_q}) \delta' \varphi(z; b_1) \quad (2)$$

(суммирование такое же, как и во (2)) и

$$\begin{aligned} & \sum_{s_1+s'_1+1} (a_{s_1}, b_{s'_1})(a_{s_2}, b_{s'_2}) \sum_{s_2+s'_2+1} (z, a_{l_1}) \dots (z, a_{l_p}) \times \\ & \times (a_{j_1}, b_{k_1}) \dots (a_{j_q}, b_{k_q}) \delta' \varphi(z; b_1), \end{aligned} \quad (3)$$

причем пары  $(s_1 s'_1)$  и  $(s_2 s'_2)$  состоят из разных чисел.

Продолжая таким образом, дойдем до того момента, когда будет отсутствовать  $\delta' \varphi(z; b_1)$ . Пусть  $n = 2m + 1$ . Предпоследние слагаемые в выражении  $P^n(\delta f)(x)$ , в преобразовании Фурье которых будет содержаться  $\delta^1 \varphi(z; b_1)$ , имеют вид  $\prod_{a=1}^m (x, b_{l_a}) \cdot \delta^{m+1} f(x; a_{j_1}, \dots, a_{j_{m+1}})$  и

$F[(x, b_{l_1}) \dots (x, b_{l_m}) \delta^{m+1} f(x; a_{j_1}, \dots, a_{j_{m+1}})]$  будет содержать

$$\begin{aligned} & (-1)^m \sum (a_{s_1}, b_{s'_1}) \dots (a_{s_{m-1}}, b_{s'_{m-1}}) \times \\ & \times \sum [(z, a_{l_1})(z, a_{l_2}) + (a_{j_1}, b_{k_1})] \delta' \varphi(z; b_1), \quad (m-1)' \\ & (-1)^m \sum (a_{s_1}, b_{s'_1}) \dots (a_{s_m}, b_{s'_m}) \delta' \varphi(z; b_1). \quad (m) \end{aligned}$$

Последние слагаемые в  $P^n(\delta f)(x)$ , преобразования Фурье которых содержат  $\delta^1 \varphi(z; b_1)$ , имеют вид  $(x, b_1)(x, b_{l_1}) \dots (x, b_{l_m}) \delta^m f(x; a_{j_1}, \dots, a_{j_m})$

и  $F[(x, b_1) \prod_{a=1}^m (x, b_{l_a}) \delta^m f(x; a_{j_1}, \dots, a_{j_m})]$  содержат член с  $\delta' \varphi(z; b_1)$

вида:

$$(-1)^{m+1} \sum (a_{s_1}, b_{s'_1}) \dots (a_{s_m}, b_{s'_m}) \delta' \varphi(z; b_1) \quad (m)'$$

Отсюда видим, что (1) и (1)', (2) и (2)', ..., (m) и (m)' различаются только знаком. Следовательно, коэффициент перед  $\delta' \varphi(z; b_1)$  в преобразовании Фурье оператора  $P^n(\delta f)(x)$  равен нулю.

Точно также проверяется случай  $n = 2m$ . Аналогично проверяется отсутствие всех вариационных дифференциалов  $\delta^k \varphi(z; b_{l_1}, b_{l_k}), k = \overline{1, n}$  в преобразовании Фурье операторов  $P^n(\delta f)(x)$ .

Изучим теперь коэффициент перед  $\varphi(z)$  в правой части (3). В выражении  $F[\delta^n f(x; a_1, \dots, a_n)]$  коэффициентом перед  $\varphi(z)$  будет являться сумма:

$$+ \sum_{p, q > 0} (z, a_{l_1}) \dots (z, a_{l_p})(a_{j_1}, b_{k_1}) \dots (a_{j_q}, b_{k_q}) \quad (*)$$

Из этой суммы выделим слагаемые вида:

$$(z, a_{l_1}) \dots (z, a_{l_p})(a_{j_1}, b_{k_1}), \quad j_1 < k_1 \quad (4)$$

Таких слагаемых в (\*) всего  $C_n^2$ .

Слагаемых вида (4) в коэффициенте перед  $\varphi(z)$  из  $F[\sum (-1)' \times (x, b_{l_1}) \delta^{n-1} f(x; a_{j_1}, \dots, a_{j_{n-1}})]$  будет  $C_n^1 \cdot C_{n-1}^1 = 2 \cdot C_n^2$ , причем они со знаком плюс. В  $F[(-1)^k (x, b_{l_1}) \dots (x, b_{l_k}) \delta^{n-k} f(x; a_{j_1}, \dots, a_{j_{n-k}})]$  при  $k \geq 2$  слагаемых вида (4) в коэффициенте перед  $\varphi(z)$  отсутствуют. Следовательно в коэффициент перед  $\varphi(z)$  слагаемых вида (4) входит в количестве  $C_n^2$  со знаком минус, т. е. сумма

$$(-1)' \sum_{j_1 < k_1} (z, a_{l_1}) \dots (z, a_{l_p})(a_{j_1}, b_{k_1})$$

Далее множителей вида

$$(z, a_{l_1}) \dots (z, a_{l_p})(a_{j_1}, b_{k_1})(a_{j_2}, b_{k_2}), \quad j_1 < k_1, \quad j_2 < k_2 \quad (5)$$

в коэффициент перед  $\varphi(z)$  входит из:

$$1) F[\delta^n f(x; a_1, \dots, a_n)] = C_n^2 \cdot \frac{1}{2!} C_{n-2}^2 \text{ штук со знаком плюс}$$

$$2) F[\sum (-1)' (x, b_{l_1}) \delta^{n-1} f(x; a_{j_1}, \dots, a_{j_{n-1}})]$$

$$C_n^1 \cdot C_{n-1}^1 \cdot \frac{1}{2!} C_{n-2}^2 = 4 \frac{C_n^2 \cdot C_{n-2}^2}{2!} \text{ штук со знаком минус,}$$

$$3) F[\sum (-1)^2 (x, b_{l_1})(x, b_{l_2}) \delta^{n-2} f(x; a_{j_1}, \dots, a_{j_{n-2}})]$$

$$C_n^2 \cdot 2C_{n-2}^2 = 4 \frac{C_n^2 \cdot C_{n-2}^2}{2!} \text{ штук со знаком плюс.}$$

Множители вида (5) в  $F[(-1)^k (x, b_{l_1}) \dots (x, b_{l_k}) \delta^{n-k} f(x; a_{j_1}, \dots, a_{j_{n-k}})]$ , при  $k \geq 3$  не входят в коэффициент перед  $\varphi(z)$ .

Следовательно, в коэффициент перед  $\varphi(z)$  будет входить  $\frac{1}{2!} C_n^2 \cdot C_{n-2}^2$

штук множителей вида (5) со знаком плюс, т. е. сумма

$$(-1)^2 \sum_{j_1 < k_1, j_2 < k_2} (z, a_{l_1}) \dots (z, a_{l_p})(a_{j_1}, b_{k_1})(a_{j_2}, b_{k_2})$$

Аналогично в общем случае проверяется, что знак зависит от четности и нечетности числа множителей вида  $(a_{j_1}, b_{k_1}) \dots (a_{j_s}, b_{k_s})$ , т. е., коэффициент перед  $\varphi(z)$  имеет вид:

$$(-i)^n \sum (-1)^s (z, a_{l_1}) \dots (z, a_{l_p})(a_{j_1}, b_{k_1}) \dots (a_{j_s}, b_{k_s}),$$

где  $i_1 < \dots < i_p, j_1 < k_1, \dots, j_s < k_s, p + 2s = n$ .

В заключение выражаю глубокую благодарность А. В. Скороходу за постановку задачи и руководство работой, за указания и советы.

#### ЛИТЕРАТУРА

- Люстерник Л. А., Соболев В. И. Элементы функционального анализа. Наука, М., 1965 г.
- Гихман И. И., Скороход А. В. О плотностях вероятностных мер в функциональных пространствах. УМН, 21, № 6, 1966.

## ХУЛАСЭ

Мәгәләдә Гаусс өлчүлү һилберт фәзасында тәркибиндә вариасија тәрәмәси олан бә'зи функционалларының Фурје чевирмәләри дүстүру тапылмышдыр. Даһа соңра, вариасија тәрәмәли дифференциал операторлар синфи мүәјҗәнләшdirилмишdir ки, онларының Фурје чевирмәләри функцияja вурма операторудур.

УДК 517.512.2

Г. Н. ОРУДЖОВ

О ПРИБЛИЖЕНИИ ФУНКЦИЙ НЕСКОЛЬКИХ  
ПЕРЕМЕННЫХ ЛИНЕЙНЫМИ ОПЕРАТОРАМИ  
В ПРОСТРАНСТВЕ  $L_p(E_2^+)$  ( $p \geq 1$ )

(Представлено академиком АН Азербайджанской ССР И. И. Ибрагимовым)

Пусть  $E_2^+$  — первая четверть двумерной плоскости  $E_2$ , т. е.  $E_2^+ \equiv E_2 (0 \leq x < \infty, 0 \leq y < \infty)$  и пусть  $K_\lambda(u, v)$  — некоторая суммируемая в области  $E_2^+$  функция, зависящая от параметра  $\lambda$ , причем

$$\int_0^\infty \int_0^\infty |K_\lambda(u, v)| du dv = 1, \quad \|K_\lambda(u, v)\|_{L_1(E_2^+)} \leq N_1 < +\infty. \quad (1)$$

и

$$\lim_{\lambda \rightarrow \infty} \int_{-\delta}^{\delta} \int_{-\eta}^{\eta} |K_\lambda(u, v)| du dv = 0,$$

для всех  $\delta > 0, \eta > 0$ .

Рассмотрим интегральный оператор вида

$$T_\lambda(f, x, y) = \sum_{j=-\infty}^{\infty} b_j(\lambda) \int_0^x \int_0^y f[x - a_j(\lambda)u, y - a_j(\lambda)v] K_\lambda(u, v) du dv, \quad (2)$$

где

$$\sum_{j=-\infty}^{\infty} b_j(\lambda) \int_0^x \int_0^y K_\lambda(u, v) du dv \rightarrow 1 (\lambda \rightarrow \infty),$$

$$0 < \delta_1 \leq a_j(\lambda) \leq C_1 (j = -\infty, \infty), \quad \sum_{j=-\infty}^{\infty} |b_j(\lambda)| \leq C < +\infty.$$

Очевидно, что если  $e^{-\alpha x - \gamma y} f(x, y) \in L_p(E_2^+) (1 \leq p \leq \infty)$ , то интегральный оператор (2) существует почти везде на  $E_2^+$ ,  $e^{-\alpha x - \gamma y} T_\lambda(f, x, y) \in L_p(E_2^+)$  и удовлетворяет условию

$$\|e^{-\alpha x - \gamma y} T_\lambda(f, x, y)\|_{L_p(E_2^+)} \leq C \|e^{-\alpha x - \gamma y} f(x, y)\|_{L_p(E_2^+)} \|K_\lambda(u, v)\|_{L_1(E_2^+)} \text{ для } \alpha > 0, \gamma > 0.$$

Целью настоящей работы является установление прямых и обратных теорем приближения функций  $e^{-\alpha x - \gamma y} f(x, y)$  от двух переменных линейными операторами (2) в метрике пространства  $L_p(E_2^+)$  ( $p \geq 1$ ). Данный вопрос приближения функций одной переменной соответствующими линейными операторами исследован нами в работах [2, 3], которые содержали в себе, как частные случаи, соответствующие результаты Беренца и Бутцера [6].

Пусть  $\hat{K}_\lambda(s, z)$  обозначает преобразование Лапласа суммируемой на  $E_2^+$  функции  $K_\lambda(u, v)$  являющейся ядром оператора (2).

Положим

$$A_\lambda(s, z) = \sum_{j=-\infty}^{\infty} b_j(\lambda) \hat{K}_\lambda(s a_j(\lambda), z b_j(\lambda))$$

**Теорема 1.** Пусть  $e^{-\alpha x - \gamma y} f(x, y), e^{-\alpha x - \gamma y} h(x, y) \in L_p(E_2^+)$  ( $1 < p < \infty$ ) для каждой  $\sigma > 0, \tau > 0$  и  $K_\lambda(u, v)$  удовлетворяет следующему условию

$$\lim_{\lambda \rightarrow \infty} \frac{1 - A_\lambda(s, z)}{\varphi(\lambda)} = Q(s, z) \neq 0, \quad (3)$$

где  $\varphi(\lambda)$  — некоторая функция, неотрицательная и стремящаяся к нулю при  $\lambda \rightarrow \infty$ . Тогда, если

$$\left\| e^{-\alpha x - \gamma y} \left\{ \frac{f(x, y) - T_\lambda(f, x, y)}{\varphi(\lambda)} - h(x, y) \right\} \right\|_{L_p(E_2^+)} = O(1),$$

при  $\lambda \rightarrow \infty$ , то справедливо соотношение

$$Q(s, z) \hat{f}(s, z) = \hat{h}(s, z),$$

при  $\text{Res} = \sigma > 0, \text{Rez} = \tau > 0$ .

**Следствие.** Пусть  $e^{-\alpha x - \gamma y} f(x, y) \in L_p(E_2^+)$  и ядро  $K_\lambda(u, v)$  удовлетворяет условию (3). Тогда, если

$$\left\| e^{-\alpha x - \gamma y} \left\{ \frac{f(x, y) - T_\lambda(f, x, y)}{\varphi(\lambda)} \right\} \right\|_{L_p(E_2^+)} = O(1),$$

при  $\lambda \rightarrow \infty$ , то  $f(x, y) = 0$  почти везде на  $E_2^+$ .

Приведем некоторые вспомогательные леммы, которые нам понадобятся при доказательстве теоремы 2 и 4.

**Лемма 1.** Пусть  $F(s, z)$  голоморфная функция на  $\text{Res} > 0, \text{Rez} > 0$ . Для того, чтобы имела место соотношение

$$F(s, z) = \int_0^\infty \int_0^\infty e^{-sx - zy} h(x, y) dx dy,$$

где  $e^{-\alpha x - \gamma y} h(x, y) \in L_p(E_2^+)$  ( $1 < p \leq \infty$ ) для  $\sigma > 0, \tau > 0$ , необходимо и достаточно, чтобы выполнялось условие

$$\| e^{-\alpha x - \gamma y} \Phi_{R, R}(x, y) \|_{L_p(E_2^+)} = O(1)$$

при всех  $R > 0$ , где

$$\Phi_{R, R}(x, y) = \frac{1}{4\pi^2} \int_{-R}^R \int_{-R}^R \left(1 - \frac{|u|}{R}\right) \left(1 - \frac{|v|}{R}\right) e^{(\sigma + iu)x + (\tau + iv)y} F(\sigma + iu, \tau + iv) du dv \quad (4)$$

(см. напр., [7]).

**Лемма 2.** Пусть  $F(s, z)$  голоморфная функция на  $\text{Res} > 0, \text{Rez} > 0$ . Для того, чтобы имела место соотношение

$$F(s, z) = \int_0^\infty \int_0^\infty e^{-sx - zy} dg(x, y),$$

где  $g(x, y)$  — некоторая функция с ограниченным изменением [4] на  $E_2^+$  и

$$\int_0^\infty \int_0^\infty e^{-sx - zy} |dg(x, y)| < +\infty \quad (\sigma > 0, \tau > 0)$$

необходимо и достаточно, чтобы выполнялось условие

$$\| e^{-\alpha x - \gamma y} \Phi_{R, R}(x, y) \|_{L_1(E_2^+)} = O(1)$$

при всех  $R > 0$ , где  $\Phi_{R, R}(x, y)$  определяется как в (4).

Эти леммы переносят результаты соответствующих лемм Беренца и Бутцера [5] на многомерный случай.

**Теорема 2.** Пусть  $e^{-\alpha x - \gamma y} f(x, y), e^{-\alpha x - \gamma y} h(x, y) \in L_p(E_2^+)$  ( $1 < p \leq \infty$ ) для каждой  $\sigma > 0, \tau > 0$  и  $K_\lambda(u, v)$  удовлетворяет условию (3). Тогда, если

$$\| e^{-\alpha x - \gamma y} \{ f(x, y) - T_\lambda(f, x, y) \} \|_{L_p(E_2^+)} = O(\varphi(\lambda)) \quad (5)$$

при  $\lambda \rightarrow \infty$ , то справедливо соотношение

$$Q(s, z) \hat{f}(s, z) = \hat{h}(s, z) \quad (6)$$

при  $\text{Res} > 0, \text{Rez} > 0$ .

**Теорема 3.** Пусть  $e^{-\alpha x - \gamma y} f(x, y), e^{-\alpha x - \gamma y} h(x, y) \in L_p(E_2^+)$  ( $1 < p \leq \infty$ ) для каждой  $\sigma > 0, \tau > 0$  и  $K_\lambda(u, v)$  вместе с условием (3) удовлетворяет и следующему условию

$$\frac{1 - A_\lambda(s, z)}{\varphi(\lambda) Q(s, z)} = \hat{G}_\lambda(s, z) = \int_0^\infty \int_0^\infty e^{-sx - zy} G_\lambda(x, y) dx dy, \quad (7)$$

где  $G_\lambda(x, y) \in L_1(E_2^+)$  равномерно по  $\lambda$ , т. е.

$$\int_0^\infty \int_0^\infty |G_\lambda(x, y)| dx dy \leq M_1 < +\infty.$$

Тогда, если справедливо (6) при  $\text{Res} > 0, \text{Rez} > 0$ , то имеет место (5) при  $\lambda \rightarrow \infty$ .

Из теорем 1, 2 и 3 следует.

**Следствие.** Пусть  $e^{-\alpha x - \gamma y} f(x, y) \in L_p(E_2^+)$  ( $1 < p \leq \infty$ ) и  $K_\lambda(u, v)$  вместе с условием (3) удовлетворяет и условию (7). Тогда линейный оператор (2) насыщен в пространстве  $L_p(E_2^+)$  с порядком  $O(\varphi(\lambda))$  и класс насыщения [1, 8] состоит из тех функций  $f(x, y)$  для которых выполняется соотношение (6).

Теорема 4. Пусть  $e^{-\alpha x-\gamma y}f(x, y) \in L_1(E_2^+)$  и  $K_\lambda(u, v)$  удовлетворяет условию (3). Тогда, если

$$\|e^{-\alpha x-\gamma y}|f(x, y) - T_\lambda(f, x, y)|\|_{L_1(E_2^+)} = O(\varphi(\lambda)) \quad (8)$$

при  $\lambda \rightarrow \infty$ , то существует функция  $g(x, y)$  ограниченной вариации на  $E_2^+$  и удовлетворяющий условию

$$\iint_0^\infty e^{-\alpha x-\gamma y} |dg(x, y)| < +\infty$$

при  $\alpha > 0, \gamma > 0$ , такая, что выполняется соотношение

$$Q(s, z) \overset{\wedge}{f}(s, z) = g(s, z) \quad (9)$$

при  $\operatorname{Re} s > 0, \operatorname{Re} z > 0$ .

Теорема 5. Пусть  $e^{-\alpha x-\gamma y}f(x, y) \in L_1(E_2^+)$  для каждой  $\alpha > 0$  и  $\gamma > 0$  и  $K_\lambda(u, v)$  вместе с условием (3) удовлетворяет следующему условию

$$\frac{1 - A_\lambda(s, z)}{\varphi(\lambda)Q(s, z)} = \overset{\wedge}{\Psi}_\lambda(s, z) = \iint_0^\infty e^{-\alpha x-\gamma y} d\Psi_\lambda(x, y), \quad (10)$$

где  $\Psi_\lambda(x, y)$  — нормированная функция с ограниченной вариацией на  $E_2^+$ . Тогда, если имеет место соотношение (9) при  $\operatorname{Re} s > 0, \operatorname{Re} z > 0$ , то справедливо (8) при  $\lambda \rightarrow \infty$ .

Из теорем 1, 4 и 5 следует

Следствие. Пусть  $e^{-\alpha x-\gamma y}f(x, y) \in L_1(E_2^+)$  и ядро  $K_\lambda(u, v)$  вместе с условием (3) удовлетворяет условию (10). Тогда линейный оператор (2) насыщен в пространстве  $L_1(E_2^+)$  с порядком  $O(\varphi(\lambda))$  и класс насыщения [1, 8] состоит из тех функций  $f(x, y)$ , для которых справедливо условие (9).

Эти результаты дают возможность получить несколько конкретных результатов о приближении функций с линейными операторами (2) с ядром типа Фейнера и радиального типа.

#### ЛИТЕРАТУРА

- Мамедов Р. Г. Изв. АН СССР, серия матем., 29, 1965, 957—964.
- Оруджов Г. Н. Изв. АН Азерб. ССР, серия физ.-матем. и техн. наук, 6, 1968.
- Оруджов Г. Н. Труды ИММ АН Азерб. ССР, 1969.
- Butzer P. L. J. of math. Anal. and Applications, v. 2, № 1, 1961, 86—96.
- Bergens H. und Butzger P. L. Math. Z. 8, 1963, 124—134.
- Bergens H. and Butzger P. L. Proceedings of the conference on approximation over wolfsch Augst, 1962, Birkhauser, Basel.
- Диткин В. А., Прудников А. П. Операционные исчисления по двум переменным и ее приложение. М., 1958.
- Мамедов Р. Г. «Функциональны хэтти операторларла яхылашмасы», Бакы, 1967.

Институт математики и механики

Поступило 24. II 1969

Б. Н. Оручев

Чохдэйишәнили функционаларыны  $L_p(E_2^+)$  ( $p \geq 1$ ) фәзасында хэтти операторларла яхылашмасы һагында

#### ХУЛАСӘ

Мәгаләдә чохдэйишәнили функционаларыны  $L_p(E_2^+)$  ( $p \geq 1$ ) фәзасында (2) хэтти операторлар айләси илә яхылашмасы һагында дүз вә тәрс теоремләр исбат едилмишdir ки, бу да (2) хэтти операторлар айләси учун  $L_p(E_2^+)$  ( $p \geq 1$ ) фәзасында дојма сипти вә дојма тәртибини. тапмага имкан верир.

УДК 621.3.015.532.

Ю. Г. СЕРГЕЕВ, Ю. В. ГОРИН

#### О НЕКОТОРЫХ ОСОБЕННОСТЯХ ГАЗОВОГО РАЗРЯДА В ПРОМЕЖУТКЕ С ЭЛЕКТРОДОМ, ОГРАНИЧЕННЫМ ДИЭЛЕКТРИКОМ

(Представлено академиком АН Азербайджанской ССР Ч. М. Джусварлы)

В настоящем сообщении обсуждается влияние диэлектрического покрытия электрода на некоторые характеристики газового разряда. Изучался коронный разряд в воздухе с проводами, покрытыми диэлектриком (полиэтилен, фторпласт, стекло), а также разряд в плоских газовых полостях, ограниченных с одной или двух сторон диэлектриком.

1. Известно [1], что начальные напряжения разряда в однородном поле с электродом, покрытого диэлектриком, в области правой ветви кривой Пашена практически не отличаются от значений, полученных для металлических электродов. Нами определялись начальные напряжения коронного разряда с проводами, покрытыми диэлектриком, на постоянном и переменном напряжении в системе провод в цилиндре. Начало короны устанавливалось по появлению импульсов тока на экране осциллографа; при изменении внешних диаметров проводов с покрытиями от 0,5 до 5,0 мм и приведенной плотности воздуха  $\delta$  от 0,3 до 1,0. Оказалось, что значения начальной напряженности, вычисленные по экспериментальным значениям начального напряжения для голых проводов и проводов с покрытиями (с учетом емкости покрытия) отличаются друг от друга не более, чем на 3%, что свидетельствует о применимости формулы Пика к вычислению начальных напряжений короны с проводами, покрытыми диэлектриком.

2. Если к проводу приложено плавно нарастающее напряжение положительной полярности, то при достижении начального напряжения короны  $u_0^+$  в цепи проходят импульсы тока. При прекращении подъема напряжения импульсы исчезают, даже если напряжение на проводе значительно превышает начальное. Они появляются вновь с началом подъема напряжения. При этом заряд, осевший на диэлектрическую поверхность провода, определяется выражением:

$$q_{oc}^+ = C_d(u - u_0^+) \quad (1)$$

( $C_d$  — емкость диэлектрического покрытия), которое справедливо как при медленном подъеме напряжения, так и при включении напряжения

толчком. Экспериментальные данные для провода диаметром 2,5 мкм,  $C_d = 110 \text{ пФ/м}$ , приведены на рис. 1, прямая "а".

При приложении к проводу напряжения отрицательной полярности, равного начальному напряжению отрицательной короны  $U_{\text{кр}}^-$ , в цепи проходит серия импульсов тока, которые быстро затухают. При дальнейшем подъеме напряжения новая, также быстро затухающая серия импульсов появляется только при напряжении, значительно превышающем  $U_{\text{кр}}^-$ . По мере повышения напряжения картина повторяется. Зависимость осевшего заряда от напряжения представляет собой ступенчатую кривую (рис. 1, кривая "б", экспериментальные значения отмечены крестиками). При подаче напряжения толчком могут быть получены промежуточные значения заряда (прямая "в" рис. 1); при этом справедлива линейная зависимость:

$$q_{\text{ос}}^+ = q_0 + C_d(u - U_{\text{кр}}^+) \quad (2)$$

Величину  $q_0$  можно назвать зарядом начальной вспышки [2]. Если поверхность диэлектрика покрыта проводящим слоем, то заряд начальной вспышки равен нулю, а для осевшего заряда справедливо уравнение типа (1).

3. При подаче на провод со стеклянной изоляцией (внешний диаметр 0,5–1,0 мм) переменного напряжения промышленной

частоты осциллограмма тока короны в положительный полупериод представляет собой плавную кривую; ток отрицательной короны состоит из большого числа накладывающихся друг на друга отдельных импульсов [3]. При разряде на переменном напряжении в плоской газовой поре, ограниченной с двух сторон диэлектриком (полистирол) и заполненной азотом с примесью нескольких процентов кислорода при достаточно больших значениях  $\varepsilon d$  ( $d$  — толщина газовой полости) зависимость осевшего на диэлектрик заряда от напряжения представляется ступенчатой кривой [4]. Если полость ограничена диэлектриком, с одной стороны, и металлом, с другой (несимметричная пора), то ступенчатая зависимость  $q_{\text{ос}}$  от  $u$  имеет место только в тот полупериод, когда диэлектрик является катодом. На рис. 2 приведена вольткулоновская характеристика несимметричной поры  $q = f(u)$  за период приложенного напряжения; величина  $q_0$  соответствует заряду начальной вспышки.

4. Для всех рассмотренных случаев характерно следующее: если диэлектрик является катодом, имеет место ступенчатый характер развития разряда. Отдельные участки диэлектрика разряжаются не одновременно, а в каком-то интервале напряжения — его ширина зависит

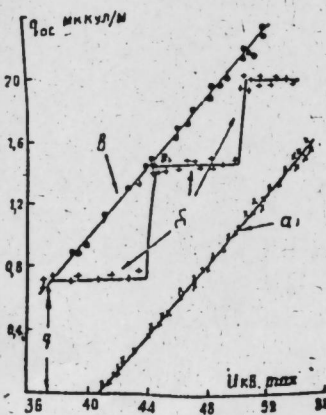


Рис. 1. Зависимость осевшего на диэлектрик заряда от напряжения для различных условий.

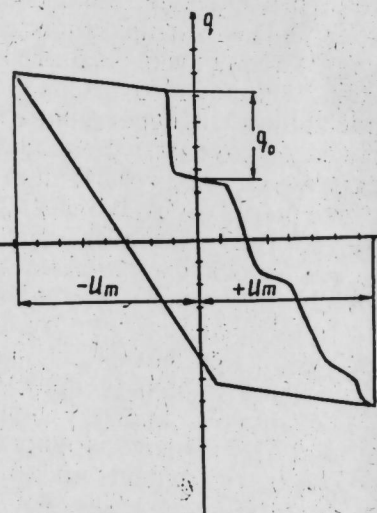


Рис. 2. Вольткулоновская характеристика несимметричной плоской поры.

от многих факторов: электрических свойств диэлектрика, состояния его поверхности, геометрических параметров, рода и давления газа и др. Обсуждение влияния этих факторов не входит в задачу настоящего сообщения.

Рассмотрим механизм развития коронного разряда с провода, покрытого диэлектриком. Если на провод подано отрицательное напряжение, то при  $u = U_{\text{кр}}^-$  образующиеся в результате прохождения лавин электроны быстро уходят из зоны близи катода. В промежутке образуется медленно двигающийся к диэлектрику положительный объемный заряд. Он усиливает поле вблизи диэлектрика, вызывая появление новых лавин и способствуя формированию достаточно мощной вспышки разряда. Через некоторый промежуток времени положительные ионы осаждаются на поверхности диэлектрика, снижая поле до величины, значительно меньшей  $E_i$ ; для возникновения следующей вспышки требуется соответственно значительное повышение напряжения. Во внешней цепи наблюдаются характерные скачки тока. На рис. 3 а, б иллюстрируются последовательные стадии развития коронного разряда при отрицательной полярности напряжения. Возможность экспериментального получения "промежуточных" значений заряда при включении напряжения толчком (прямая "в", рис. 1) свидетельствует о том что в формировании разряда существенную роль играет скорость нарастания приложенного к промежутку напряжения. Заметим, что в некоторых случаях возрастание напряженности из-за утечек через толщу диэлектрика и по его поверхности может происходить быстрее, чем это обеспечивает источник; утечки определяются электрическими характеристиками диэлектрика и величиной поля.

При положительной полярности электрода с покрытием, электроны первичных лавин, быстро достигая диэлектрической поверхности, осаждаются на ней и препятствуют возникновению новых лавин (рис. 3 в). При этом напряжение падает незначительно и при небольшом возрастании приложенного напряжения снова появляются серии лавин. Такая картина справедлива, видимо, как для промежутков с резко неоднородным полем, так и в случае плоской полости, ограниченной диэлектриком, т. е. в случае однородного поля.

#### ЛИТЕРАТУРА

1. Hall H. G., Russeck R. M. Proc. JEE, 47, № 2, 101, 1954.
2. Сергеев Ю. Г. Доклады Научно-технич. конференции МЭИ за 1966—1967 гг. Секция электроэнергетич., стр. 75, 1967.
3. Джуварлы Ч. М., Вечхайзер Г. В., Горин Ю. В. ДАН Азерб. ССР, № 10, 1967.
4. Джуварлы Ч. М., Вечхайзер Г. В., Горин Ю. В., Леонов П. В. Изв. АН Азерб. ССР, серия физ.-мат. и тех. наук, № 2, 1966.

Институт физики

Поступило 7.V 1968

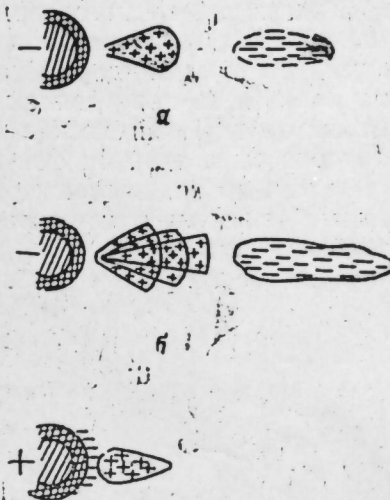


Рис. 3. Влияние полярности напряжения на развитие разряда.

Сәттәрләри диелектриклә өртүлмүш електродлар  
арасындакы бошлугда алынан газ бошалмасынын  
бә'зи хүсусијәтләри һагтында

ХҮЛАСӘ

Тәдгигатда електродлардан биринин сәттәри диелектриклә өртүлмүш  
олаң һалда, газ бошалмасынын инкишафынын мүмкүн механизмләри  
мүзакирә едилмишdir. Мүәјҗәнләшдирилмишdir ки, бошалманын әмә-  
лә кәлмәси вә иөвү диелектриклә өртүлмүш електродун һаңсы гутбә  
малик олмасындан кәскин сурәтдә асылыдыр. Сөјләнилмиш фәрзијә-  
ләр бир сыра тәчрүби фактларла тәсдиг олумушшур. Айдынлашды-  
рылмышдыр ки, диелектриклә өртүлмүш нагилләрдә тачвары бошал-  
манын башланғыч кәркинилијинин несабланмасына Пикин дүстурунуң  
тәтбиги уйғун кәлир.

Библиографијада 4 әдәбијјат көстәрилмишdir.

АСТРОФИЗИКА

Д. М. КУЛИ-ЗАДЕ

О РАЗЛИЧИИ ФРАУНГОФЕРОВЫХ ЛИНИЙ  
В СПЕКТРЕ ПОЛЮСА И ЭКВАТОРА ДИСКА СОЛНЦА

(Представлено академиком АН Азербайджанской ССР Г. Б. Абдуллаевым)

Как известно, обычно предполагается, что интенсивность выходящего излучения симметрична относительно центра видимого диска Солнца и зависит только от угла выхода. Однако рядом исследователей было отмечено, что температура на полярной и экваториальной областях диска Солнца несколько различается [1—3]. Данные исследования проводились в непрерывном спектре и результаты разных авторов часто противоречат друг другу. Следовательно вопрос о температурном различии между полюсом и экватором диска Солнца остался полностью открытым.

Фраунгоферовы линии являются лучшими индикаторами физических условий и в частности температурных изменений. Если действительно имеет место температурное различие между полюсом и экватором по краю диска Солнца, то оно каким-то образом должно сказываться на контурах фраунгоферовых линий. Особенно чувствительными являются центральные интенсивности и полуширины фраунгоферовых линий.

Температурное различие между полюсом и экватором диска Солнца весьма незначительно (если таковое существует вообще) и поэтому его влияние на контуры линий может быть обнаружено только на основе большого наблюдательного материала. Попытки обнаружить экватор—полюс, различие в контурах отдельных фраунгоферовых линий не увенчалось успехом [9—14].

В настоящей работе исследуется экватор—полюс различие эквивалентных ширин и центральных интенсивностей около 170 избранных фраунгоферовых линий.

Эквивалентные ширини и центральные интенсивности линий

Наблюдательный материал был получен летом 1964 г. с помощью башенного солнечного телескопа АО ЛГУ в комбинации с большим дифракционным спектрографом. Наблюдения велись в IV порядке спектра, где линейная дисперсия в области D линий NaI составляла 2,88 м.м./ $\text{\AA}$ .

Для объективности сравнения контуров фраунгоферовых линий на каждой фотопластинке были сфотографированы спектры центра, северного и южного полюсов, а также восточного и западного краев диска Солнца. Фотографические измерения проводились с помощью микротометра системы Молля.

Обычным методом фотографической спектрофотометрии были вычислены эквивалентные ширины и центральные интенсивности линий в спектрах указанных точек диска Солнца. Контур каждой линии определяется по 2–3 различным спектрограммам. Кроме того значения эквивалентных ширин и центральных интенсивностей для северного и южного полюсов, а также восточного и западного краев диска Солнца были усреднены, т. е.

$$W_E = \frac{W_w + W_o}{2}; \quad W_p = \frac{W_s + W_n}{2};$$

$$V_{OE} = \frac{V_{ow} + V_{on}}{2}; \quad V_{OP} = \frac{V_{os} + V_{on}}{2}.$$

Результаты показывают, что в спектре полюса диска Солнца большинство рассматриваемых фраунгоферовых линий имеет систематически большие эквивалентные ширины, чем в спектре экватора диска.

На рис. 1 сравниваются эквивалентные ширины в спектре полюса  $W_p$  и экватора  $W_E$  на примере линий Fe I. Для линий других атомов (в том числе и ионизированных) характер зависимости сохраняется.

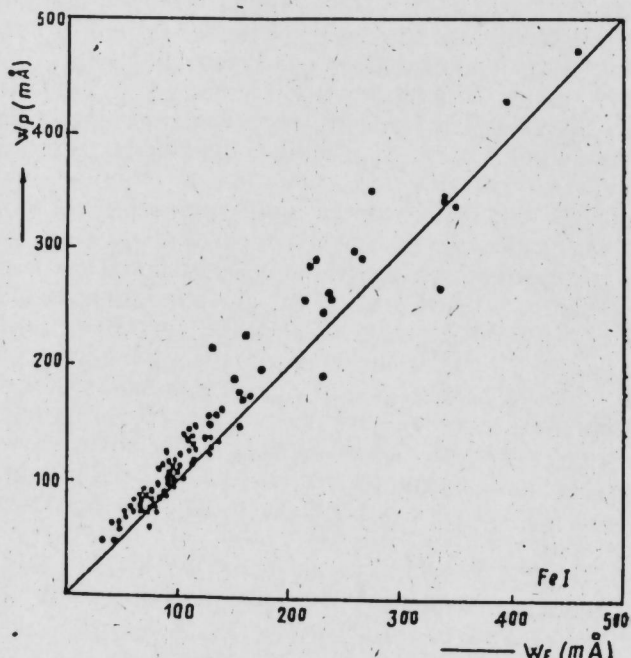


Рис. 1. Сравнение  $W_p$  и  $W_E$  для линий Fe I.

На рис. 2 мы сравниваем центральные остаточные интенсивности в спектре полюса  $V_{OP}$  и экватора  $V_{OE}$  диска Солнца для линий Fe I. Как видно из этих рисунков при переходе от полюса к экватору диска Солнца, центральные остаточные интенсивности заметно растут. Такая же картина наблюдается и для линий других атомов.

В среднем мы нашли, что

$$\frac{W_p}{W_E} \approx 1,12, \quad \frac{V_{OP}}{V_{OE}} \approx 0,95.$$

Если различие  $W_p$  и  $W_E$ , а также  $V_{OP}$  и  $V_{OE}$  обусловлено температурным градиентом между полюсом и экватором диска Солнца, то отношения  $\frac{W_p}{W_E}$  и  $\frac{V_{OP}}{V_{OE}}$  должны показывать зависимость от потенциала возбуждения нижнего уровня  $\epsilon_i$  соответствующих переходов. Действительно, в данной стадии ионизации с увеличением температуры, линии с высокими потенциалами возбуждения должны усиливаться.

Зависимость  $\frac{W_p}{W_E}$  и  $\frac{V_{OP}}{V_{OE}}$  от  $\epsilon_i$  представлена на рис. 3, где видно,

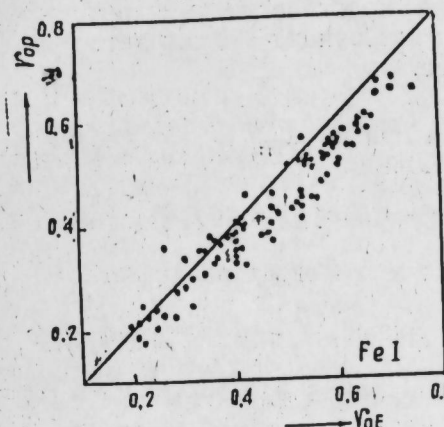


Рис. 2. Сравнение  $V_{op}$  и  $V_{oe}$  для линий Fe I

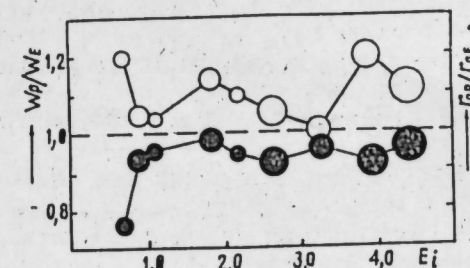


Рис. 3. Зависимость отношения  $\frac{W_p}{W_E}$  (белые кружки) и  $\frac{V_{op}}{V_{oe}}$  (черные кружки) от  $\epsilon_i$

что с увеличением  $\epsilon_i$  отношение  $\frac{W_p}{W_E}$  в среднем несколько растет.

Интересно то, что зависимость  $\frac{V_{op}}{V_{oe}}$  от  $\epsilon_i$  является почти зеркальным отражением зависимости  $\frac{W_p}{W_E}$  от  $\epsilon_i$ .

Зависимость  $\frac{V_{op}}{V_{oe}}$  от  $\epsilon_i$  менее отчетливее, чем зависимость  $\frac{W_p}{W_E}$  от  $\epsilon_i$ .

Однако в среднем отношение  $\frac{V_{op}}{V_{oe}}$  несколько растет с  $\epsilon_i$ .

### Скорости турбулентных движений

Нами были построены кривые корреляции, выражающие зависимость центральных глубин линий  $R_o$  от их эквивалентных ширин, выраженных в единицах длии волн  $\frac{W}{\lambda}$ . Согласно [15, 16]

$$\left[ \frac{dR_o}{d\left(\frac{W}{\lambda}\right)} \right] = \frac{c}{V\pi} \cdot \frac{1}{\sqrt{v_m^2 + v_R^2}}, \quad (1)$$

где  $v_m$  и  $v_M$  — скорости микро- и макротурбулентных движений соответственно.

Уравнение (1) позволяет определять скорость турбулентных (микро+макро) движений  $v_{mM}$  по кривой зависимости  $R_0$  от  $\frac{W}{\lambda}$ .

Очевидно, что

$$v_{mM} = \sqrt{v_m^2 + v_M^2} \quad (2)$$

Нами было найдено, что

1,70 км/сек для центра  $\odot$ ,

$v_{mM} = 1,90$  км/сек для полюса  $\odot$ ,

2,00 км/сек для экватора  $\odot$ .

Отсюда видно, что на полюсе и экваторе диска Солнца скорости турбулентных (микро+макро) движений практически одни и те же и несколько растут от центра к краю диска Солнца. Это соответствует росту  $v_{mM}$  с высотой в атмосфере Солнца.

#### Температура возбуждения для полюса и экватора диска Солнца

Для определения температуры возбуждения были построены зависимости  $\lg \frac{W}{\lambda} 10^6$  от  $\lg g f \lambda$  для центра, полюса и экватора диска Солнца. Здесь  $g$  — статический вес нижнего уровня,  $f$  — абсолютная сила осциллятора,  $\lambda$  — длина волны.

Абсолютные значения сил осцилляторов линий брались из работы Корлиса и Варнера [17].

Построим зависимость  $\lg \frac{W}{\lambda} 10^6$  от  $\lg g f \lambda$  для отдельных мультиплетов и сдвигая их по оси абсцисс относительно одного выбранного можно найти величину сдвига  $\Delta \lg X_0$  для всех мультиплетов. Наклон зависимости  $\Delta \lg X_0$  от  $\epsilon_i$  дает величину  $\theta = \frac{5040}{T_B}$ , где  $T_B$  — температура возбуждения.

Решая зависимость  $\Delta \lg X_0$  от  $\epsilon_i$  способом наименьших квадратов мы нашли:

5960°К, для центра  $\odot$ ,

$T_B = 5310^{\circ}\text{K}$ , для полюса  $\odot$ ,

4960°К, для экватора  $\odot$ .

Отсюда

$$\Delta T_B = T_{B\odot} - T_{B\oplus} \approx 350^{\circ}\text{K},$$

т. е. полярные области диска Солнца горячее экваториальных.

Отметим, что среднеквадратичная ошибка при определении температуры возбуждения около 150—200°К.

Более подробное исследование экватор—полюс фраунгоферовых линий будет опубликовано позже.

#### ЛИТЕРАТУРА

1. Aldrich L. B. Ann. Astr. Obs. Smithsonian Inst., 4, 254, 1922.
2. Abetti G., Castelli I. Publ. Astr. Obs. Arcetri, № 53, 25, 1935.
3. Proisy P., Cauzit J., C. R. Paris, 223, 850, 1916.
4. Minnaert M. Convegno Volta, 1952.
5. Allen C. W. M. N. RAS, 109, 343, 1949.
6. Matthy P. Astrophys. Norvegica, 8, 3, 1960.
7. Plass

8. Michard R. C. r. Acad. Sci., 255, 1491, 1962.
9. Das A. K., Abhyankar K. D. Vistas in Astronomy, 1, 65, 1955.
10. Beckers I. M. BAN, 15, 85, 1960.
11. Beckers I. M. BAN, 16, 133, 1962.
12. Кули-Заде Д. М. Астрон. ж., 41, 920, 1964.
13. Кули-Заде Д. М. Астрон. ж., 42, 1022, 1965.
14. Mulders F. W., Sloughter C. D. Publ. Astr. Soc. Pacific, 77, 295, 1965.
15. Struve O., Su-Shu Huang. Astrophys. J., 116, 10, 1952.
16. Struve O., Su-Shu Huang. Astrophys., 121, 84, 1955.
17. Corliss C. H., Wagner B. Astrophys. J., Suppl. № 83, 1964.

Поступило 5. XII 1968

ШАО

Ч. М. Гулузадэ

Күнәш дискинин гүтб вә экватор спектрләриндә фраунгофер хәтләринин мұхтәлифији һағында

#### ХҮЛАСӘ

Бөյүк мұшақидә материалы асасында ашкар едилмишdir ки, фраунгофер хәтләринин эксәрийїті күнәш диски гүтбүнүн спектриндә экватор спектрләриндәкінә инсбетен бир гәдәр бөйүк эквивалент еңде маликдир. Хәтләрин мәркәзи галыг интенсивликләри исә гүтбдән экватора кечидикдә бөјүйр. Орталашдырма нәтижесинде алымышдыр ки,

$$\frac{W_{\text{гүтб}}}{W_{\text{экватор}}} \approx 1,12; \quad \frac{V_{0 \text{ гүтб}}}{V_{0 \text{ экватор}}} \approx 0,95.$$

Ашкар едилмишdir ки, Күнәш дискинин гүтб вә экватор раionларында бурулған һәрәкәтләрин сүр'ети тәхминән ejini олуб Күнәш дискинин мәркәзинә тәрәф кетдикчә азаялыр.

Жүксәлиш әјрисинин көмәйлә тапылмышдыр ки, Күнәш дискинин гүтбүндә һәјәчанланма температуре экватордақына инсбетен тәхминән 350°K өзөнчеде.

ЭЛЕКТРОХИМИЯ

К. А. АЛИЕВ, Л. Я. ГАВЕНСКИЙ

**ЭЛЕКТРОХИМИЧЕСКАЯ ЗАЩИТА ВНУТРЕННЕЙ  
ПОВЕРХНОСТИ ПРОМЫСЛОВЫХ ЕМКОСТЕЙ  
И АППАРАТУРЫ**

(Представлено академиком АН Азербайджанской ССР Р. Г. Исмайловым)

Емкости самого различного вида и назначения являются наиболее распространенным видом промысловой аппаратуры. К числу таких емкостей относятся резервуары, в которых отстаивается и хранится пресная или морская вода, применяемая для противопожарных и технологических целей, промывки скважин и законтурного заводнения, емкости пластовых вод, подлежащих очистке для последующей закачки в пласт, нефтяные резервуары, ловушки, отстойники газо- и водоотделительные установки, деэмульсационная аппаратура и т. п.

Вся эта аппаратура и емкости могут иметь весьма различные размеры и объемы.

Различны они и по условиям коррозионного воздействия на них внутренней среды.

Обычно защита внутренних поверхностей резервуаров осуществляется с помощью многослойных лакокрасочных покрытий. Нанесение этих покрытий связано со значительными трудностями, поскольку пескоструйная очистка и распыление лакокрасочных материалов в замкнутых объемах вредны для персонала, выполняющего эти работы. В тоже время стойкость этих покрытий недостаточна и они интенсивно разрушаются под совместным воздействием воды и нефтепродуктов.

Особо интенсивно развивается коррозия в дефектах покрытия в местах контакта с водными средами.

Возникновение небольших оголенных участков, являющихся анодами по отношению к окрашенному металлу, приводит к быстрому развитию язв.

Поэтому значительный интерес представляет применение электрохимической защиты внутренних поверхностей емкостей. Выбор метода защиты зависит от среды внутри резервуара.

В нефтяных емкостях и емкостях, содержащих примесь нефти, где возможно образование взрывоопасных и пожароопасных смесей паров углеводородов с воздухом, применение катодной защиты недопустимо. Поэтому в этих случаях должна применяться протекторная защита.

Наоборот, в случаях резервуаров и емкостей с пресной водой, имеющей низкую электропроводность, протекторная защита не дает хороших результатов, поскольку токоотдача протекторов оказывается очень малой. Поэтому для данных случаев обязательным является применение катодной защиты.

Для водных резервуаров с морской и чистой пластовой водой протектора могут подвешиваться вертикально по боковым стенкам. В этом случае защита осуществляется по всей поверхности контакта металла с электролитом. В случае защиты нефтяных емкостей, когда электролит размещается только в нижней части в виде водяной подушки, протектора предпочтительно укладывать на дно емкости, присоединяя их непосредственно к ее днищу.

В связи с вышеприведенным, весьма актуальной является задача создания методов расчета электрохимической защиты внутренней поверхности резервуара при защите его  $N$  подвешенными внутри протекторами.

В [1] была рассмотрена методика расчета электрохимической защиты произвольного по форме металлического сооружения, из которой следует, что решение задачи целиком и полностью определяется уравнением относительно распределенной по поверхности сооружения плотности тока  $J$ . Его решение, полученное с точностью до произвольных постоянных, позволяет в соответствии с представленными в [1] этапами расчета найти искомую функцию — разность потенциалов между сооружением и близкой точкой среды как функцию координат рассматриваемой точки и всех электрических и геометрических параметров системы электрохимической защиты.

Поставленная задача может быть сформулирована так:

В цилиндрическом резервуаре радиусом  $R_0$ , до высоты  $h$  заполненным жидкостью, на высоте  $H$  от его днища по окружности радиусом  $R_a$  подвешены  $N$  протекторов длиной  $l_a$  и радиусом  $r_a$ . Между каждым протектором и резервуаром в точках их соединения действует постоянная ЭДС  $\Delta U_a$ , равная разности электродных потенциалов железа и материала протектора. Жидкость, заполняющая резервуар, обладает удельным сопротивлением  $\varrho_{ж}$ .

Искомыми в поставленной задаче являются уравнения, описывающие распределение плотности тока по защищаемому сооружению, решение которых позволит построить расчетную методику электрохимической защиты внутренней поверхности резервуара в полном соответствии с представленными в [1] этапами такого расчета.

Задача решается в цилиндрической системе координат  $(R, \varphi, X)$ , расположенной на поверхности днища резервуара с центром в его центре и положительным направлением оси  $x$  от днища к поверхности жидкости (рис. 1).

Обозначим функции плотности тока, стекающего с боковой поверхности и днища резервуара, соответственно  $J_1(x'_1, \varphi')$  и  $J_2(R'_1, \varphi')$ .

Представим полную плотность этих токов соответственно в виде

$$J_1 = \sum_{k=1}^N J_1^{(k)} \quad (1)$$

$$J_2 = \sum_{k=1}^N J_2^{(k)}, \quad (2)$$

где  $J_1^{(k)}$  и  $J_2^{(k)}$  часть этого тока, создаваемая в цепи  $k$ -го протектора.

Если начало отсчета координаты  $\varphi$  совпадает с радиусом, проходящим через первый протектор, то нетрудно показать, что

$$J_1(x', \varphi') = \sum_{k=1}^N J_1^{(1)} \left( x', \varphi' - \frac{2\pi}{N} (k-1) \right) \quad (3)$$

$$J_2(R', \varphi') = \sum_{k=1}^N J_2^{(1)} \left( R', \varphi' - \frac{2\pi}{N} (k-1) \right) \quad (4)$$

где для определения плотностей тока  $J_1^{(1)}(x', \varphi')$  и  $J_2^{(1)}(R', \varphi')$ , создаваемых в цепи I протектора из [1] следует система уравнений

$$\begin{cases} \Phi_1^{(1)} + \Phi_2^{(1)} + I_0 \Phi_3^{(1)} = J_1^{(1)}(x', \varphi') \\ \Phi_1^{(2)} + \Phi_2^{(2)} + I_0 \Phi_3^{(2)} = J_2^{(1)}(R', \varphi') \end{cases} \quad (5)$$

Здесь

$$\Phi_1^{(1)} = \frac{R_0}{4\pi} \int_0^{2\pi} d\varphi \int_0^h D_0 \sin^2 \frac{\varphi' - \varphi}{2} \left[ \frac{1}{R_{1-1}^3} + \frac{1}{(R_{1-1}')^3} \right] J_1^{(1)}(x, \varphi) dx \quad (6)$$

$$\begin{aligned} \Phi_2^{(1)} = & \frac{1}{4\pi} \int_0^{2\pi} d\varphi \int_0^{R_0} [R^2 \cos(\varphi' - \varphi) - RR_0] \left[ \frac{1}{R_{2-1}^3} + \right. \\ & \left. + \frac{1}{(R_{2-1}')^3} \right] J_2^{(1)}(R, \varphi) dR \end{aligned} \quad (7)$$

$$\Phi_1^{(2)} = - \frac{R_0}{4\pi} \int_0^{2\pi} d\varphi \int_0^h \left[ \frac{x}{R_{1-2}^3} + \frac{2h-x}{(R_{1-2}')^3} \right] J_1^{(1)}(x, \varphi) dx \quad (8)$$

$$\Phi_2^{(2)} = \frac{1}{4\pi} \int_0^{2\pi} d\varphi \int_0^{R_0} \left[ \frac{e}{R_{2-2}^3} + \frac{2h}{(R_{2-2}')^3} \right] J_2^{(1)}(R, \varphi) R dR \quad (9)$$

$$R_{1-1} = \sqrt{(x' - x)^2 + D_0^2 \sin^2 \frac{\varphi' - \varphi}{2}} \quad (10)$$

$$R_{1-1}' = \sqrt{[x' - (2h - x)]^2 + D_0^2 \sin^2 \frac{\varphi' - \varphi}{2}} \quad (11)$$

$$R_{2-1} = \sqrt{(x')^2 + R_0^2 + R^2 - 2RR_0 \cos(\varphi' - \varphi)} \quad (12)$$

$$R_{2-1}' = \sqrt{(x' - 2h)^2 + R_0^2 + R^2 - 2RR_0 \cos(\varphi' - \varphi)} \quad (13)$$

$$R_{1-2} = \sqrt{x^2 + R_0^2 + (R')^2 - 2R_0 R' \cos(\varphi' - \varphi)} \quad (14)$$

$$R_{1-2}' = \sqrt{(2h - x)^2 + R_0^2 + (R')^2 - 2R_0 R' \cos(\varphi' - \varphi)} \quad (15)$$

$$R_{2-2} = \sqrt{e^2 + R^2 + (R')^2 - 2RR' \cos(\varphi' - \varphi)} \quad (16)$$

$$R_{2-2}' = \sqrt{4h^2 + R^2 + (R')^2 - 2RR' \cos(\varphi' - \varphi)}, \quad (17)$$

а  $\Phi_3^{(1)} = \Phi_3^{(1)}(x, \varphi)$  и  $\Phi_3^{(2)} = \Phi_3^{(2)}(R, \varphi)$

известные функции, различные для случаев подвешенных протекторов (рис. 1) и случая, когда протектора непосредственно уложены на дно резервуара и отделены от него изолирующей прокладкой (рис. 2).

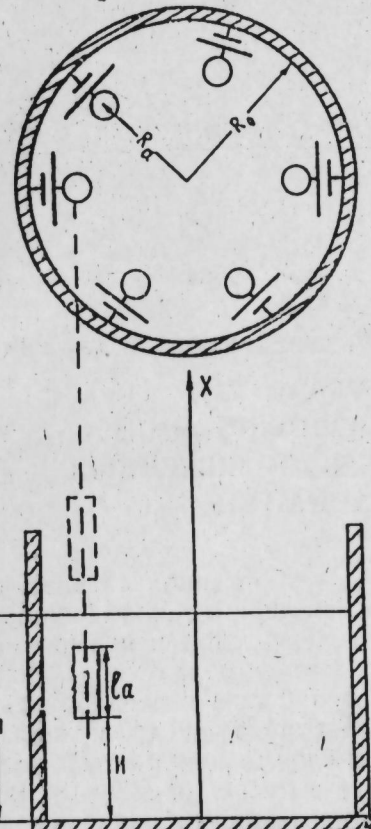


Рис. 1.

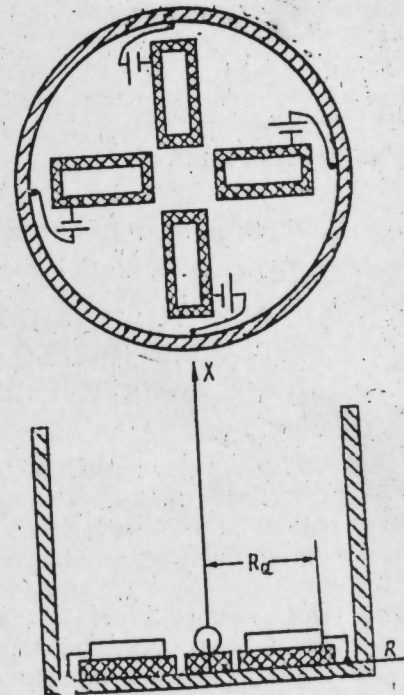


Рис. 2.

Построенная система уравнений (5), описывающая изменение плотности тока на внутренней поверхности резервуара, позволяет построить достаточно строгую методику расчета защиты емкости и резервуаров как с применением протекторов, так и с применением катодной защиты.

По этой методике могут быть определены погрешности, вводимые в расчет при тех или иных допущениях, принятых в упрощенных инженерных методах расчета, целью которых является локальная задача определения числа необходимых протекторов (при протекторной защите) и ток катодной станции (при катодной защите).

Особенностью предлагаемой методики являются возможность учета нелинейности поляризационной характеристики, что является необходимым условием при расчете защиты неизолированного металла.

#### ЛИТЕРАТУРА

Кенгерлинский Ю. С., Гавенский Л. Я., Трифель М. С. Некоторые вопросы расчета электрохимической защиты сооружений в агрессивных средах. "Коррозия и защита в нефтедобывающей промышленности", № 4, 1968.

Поступило 15.V.1969

ТЕХНОЛОГИЯ ОСНОВНОГО ОРГАНИЧЕСКОГО СИНТЕЗА

УДК 66.096.5 : 001.57

В. Д. ЧЕРНОВ, И. П. ДОБРОВОЛЬСКИЙ, Б. Р. СЕРЕБРЯКОВ, М. А. ДАЛИН

АНАЛИЗ НАПУСКА ПОЛУБЕСКОНЕЧНОГО П-ИМПУЛЬСА  
ТРАССИРУЮЩЕГО ГАЗА В ПСЕВДООЖИЖЕННЫЙ  
СЛОЙ НЕПОРИСТЫХ ЧАСТИЦ

В уравнения, описывающие протекание гетерогенной каталитической реакции в кипящем слое, в качестве постоянных коэффициентов входят величины доли газа, проходящего через слой в пузырях ( $\omega$ ), коэффициенты продольного и межфазного массообмена ( $D$  и  $h$ ). Исследования [1, 2, 3] показали, что перемешивание газа в псевдоожженых слоях происходит по адсорбционно-десорбционному механизму. Поэтому можно считать, что аппараты со слоями непористых частиц близки по режиму к аппаратам идеального вытеснения ( $D \rightarrow 0$ ). В некоторых работах [4, 8, 9, 10] по экспериментальному изучению массообмена в кипящем слое принималось, что в пузырях через кипящий слой проходит весь газ сверх количества, необходимого для начала псевдоожжения. Это предположение основано на так называемой двухфазной теории, развитой в монографии [4]. С другой стороны, в ряде работ показано, что скорость газа, проходящего в "плотной" фазе слоя, превышает величину критической скорости [5, 6, 7]. Количественное определение величин  $\omega$  и  $h$  проводилось авторами [3].

Нами в настоящей работе выполнен анализ нестационарного состояния, возникающего в неоднородном псевдоожженном слое при напуске в него "метки" трассирующего газа в виде полубесконечного П-импульса. Целью анализа являлось установление аналитической зависимости между величинами  $\omega$  и  $h$  и видом функции напуска полубесконечного П-импульса в кипящий слой.

Пусть в слой непористых частиц высотой  $H$  поступает  $V$  м<sup>3</sup>/сек ожигающего газа. В fazu пузырей поступает  $V_z = \omega V$  м<sup>3</sup>/сек ожигающего газа. Пузырь находится в слое  $\frac{H}{W_z}$  сек. Следовательно, объем

слоя, занятый пузырями  $v_z = V_z \cdot \frac{H}{W_z} = \omega \cdot V \cdot \frac{H}{W_z}$ . Аналогично, объем

слоя, занятый "плотной" fazой  $v_y = (1 - \omega) \cdot V \cdot \frac{H}{W_y}$ . Доля газово-

го объема слоя, приходящаяся на fazu пузырей:

$$b = \frac{v_z}{V} = \frac{\omega \cdot V \cdot \frac{H}{W_z}}{\omega \cdot V \cdot \frac{H}{W_z} + (1 - \omega) \cdot V \cdot \frac{H}{W_y}} = \frac{\omega \cdot W_y}{\omega \cdot W_y + (1 - \omega) W_z}$$

Если выделить бесконечно тонкий слой газа  $dl$ , то количество "метки" в пузырях этого слоя выражается как  $b \cdot z \cdot S \cdot dl$ , в "плотной" fazе  $(1 - b) \cdot y \cdot S \cdot dl$ . Пусть за некоторое время  $dt$  слой пузырей переместился на расстояние  $dl_z = W_z \cdot dt$ , слой "плотной" fazы на  $dl_y = W_y \cdot dt$ . Так как количество продиффундировавшей "метки" пропорционально поверхности пузырей в слое, разности концентраций и времени, то можно записать:

$$\begin{cases} bz(l + dl_z, t + dt)Sdl - bz(l, t)Sdl = -kf(z - y)Sdl dt \\ (1 - b)y(l + dl_y, t + dt)Sdl - (1 - b)y(l, t)Sdl = kf(z - y)Sdl dt \end{cases} \quad (1)$$

С точностью до бесконечно малых высшего порядка:

$$\begin{aligned} z(l + dl_z, t + dt) - z(l, t) &= \frac{\partial z}{\partial l} dl_z + \frac{\partial z}{\partial t} dt = \frac{\partial z}{\partial l} W_z dt + \frac{\partial z}{\partial t} dt \\ y(l + dl_y, t + dt) - y(l, t) &= \frac{\partial y}{\partial l} dl_y + \frac{\partial y}{\partial t} dt = \frac{\partial y}{\partial l} W_y dt + \frac{\partial y}{\partial t} dt \end{aligned}$$

и (1) принимает вид:

$$\begin{cases} \frac{\partial z}{\partial l} + \frac{1}{W_z} \frac{\partial z}{\partial t} = \frac{kf}{W_z} (y - z) \\ \frac{\partial y}{\partial l} + \frac{1}{W_y} \frac{\partial y}{\partial t} = \frac{kf}{W_y(1 - b)} (z - y) \end{cases}$$

Обозначая

$$\frac{kf}{W_z b} = \alpha \quad \text{и} \quad \frac{kf}{W_y(1 - b)} = \beta \quad (2)$$

получаем систему уравнений:

$$\begin{cases} \frac{\partial z}{\partial l} + \frac{1}{W_z} \frac{\partial z}{\partial t} = \alpha(y - z) \\ \frac{\partial y}{\partial l} + \frac{1}{W_y} \frac{\partial y}{\partial t} = \beta(z - y) \end{cases} \quad (3)$$

с начальными и граничными условиями:

$$y(l, 0) = z(l, 0) = 0 \quad (4)$$

$$z(l, t)_{l=W_y t} = z(W_y t, t) = C_0 \quad (5)$$

Уравнения (3), (4), (5) образуют полную систему, решение которой можно получить, используя метод интегральных преобразований. Пусть

$$x = \frac{\beta W_y}{W_z - W_y} (l - W_y t) \quad \text{и} \quad \tau = \beta W_y t \quad (6)$$

тогда:

$$\begin{cases} \frac{\partial z}{\partial x} + \frac{\partial z}{\partial \tau} = \frac{\alpha W_z}{\beta W_y} (y - z) \\ \frac{\partial y}{\partial \tau} = z - y \end{cases} \quad (7)$$

начальные и граничные условия:  
 $y(x, 0) = z(x, 0) = 0 \quad (8)$   
 $z(0, \tau) = C_0 \quad (9)$

Вводя новые функции  $u(x, \tau)$  и  $v(x, \tau)$  по формулам

$$\begin{aligned} z &= u \cdot e^{(1-a)x-\tau} \\ y &= v \cdot e^{(1-a)x-\tau}, \end{aligned} \quad (10)$$

где

$$a = \frac{\alpha W_z}{\beta W_y} = \frac{1-b}{b} \quad (11)$$

получим окончательно систему уравнений (7), (8), (9) в виде:

$$\begin{cases} \frac{\partial u}{\partial x} + \frac{\partial u}{\partial \tau} = av \\ \frac{\partial v}{\partial \tau} = u \end{cases} \quad \left| \begin{array}{l} \text{начальные условия: } u(x, 0) = v(x, 0) = 0 \\ \text{граничные условия: } u(0, \tau) = C_0 e^\tau \end{array} \right.$$

Применяя преобразование Лапласа-Карсона по  $\tau$  [11], приходим к уравнениям в изображениях:

$$\begin{cases} \frac{d\bar{u}}{dx} + p \cdot \bar{u} = a \cdot \bar{v} \\ p \cdot \bar{v} = \bar{u} \end{cases} \quad \left| \begin{array}{l} \text{граничное условие преобразуется к виду:} \\ u(0) = \frac{C_0 \cdot p}{p-1} \end{array} \right. \quad (12)$$

Решение системы (12) имеет вид:

$$\begin{aligned} \bar{u} &= C_0 e^{-px} \frac{p}{p-1} e^{\frac{ax}{p}} \\ \bar{v} &= C_0 e^{-px} \frac{1}{p-1} e^{\frac{ax}{p}} \end{aligned}$$

Обращая это изображение на основании [11] получим:

$$\begin{aligned} u(x, \tau) &= \begin{cases} 0 & \text{при } \tau < x \\ C_0 e^{\tau-x} \int_0^{\tau-x} e^{-\xi} I_0(2\sqrt{ax\xi}) d\xi + C_0 I_0[2\sqrt{ax(\tau-x)}] & \text{при } \tau > x \end{cases} \\ v(x, \tau) &= \begin{cases} 0 & \text{при } \tau < x \\ C_0 e^{\tau-x} \int_0^{\tau-x} e^{-\xi} I_0(2\sqrt{ax\xi}) d\xi, & \text{при } \tau > x \end{cases} \end{aligned}$$

где  $I_0$  — функция Бесселя первого рода, нулевого порядка от чисто мнимого аргумента.

Возвращаясь к старым функциям по формулам (10), получим:

$$z = \begin{cases} 0 & \text{при } l > W_z t \\ C_0 e^{-ax} \int_0^{\tau-x} e^{-\xi} I_0(2\sqrt{ax\xi}) d\xi + C_0 e^{(1-a)x-\tau} I_0[2\sqrt{ax(\tau-x)}] & \text{при } W_y t < l \leq W_z t \\ C_0 & \text{при } l \leq W_y t, \quad \text{при } W_y t < l \leq W_z t \end{cases} \quad (13)$$

$$y = \begin{cases} 0 & \text{при } l > W_z t \\ C_0 e^{-ax} \int_0^{\tau-x} e^{-\xi} I_0(2\sqrt{ax\xi}) d\xi & \text{при } W_y t < l \leq W_z t \\ C_0 & \text{при } l \leq W_y t, \end{cases} \quad (14)$$

где на основании (2), (6), (11):

$$\begin{aligned} ax &= \frac{kf}{b(W_z - W_y)} (l - W_y t), \quad \tau - x = \frac{kf}{(1-b)(W_z - W_y)} (W_z t - l), \\ (1-a)x - \tau &= \frac{kf}{b(1-b)(W_z - W_y)} [(2b-1)l - t[b(W_z + W_y) - W_y]], \\ x &= \frac{kf}{(1-b)(W_z - W_y)} (l - W_y t), \quad \tau = \frac{kf}{1-b} t \end{aligned} \quad (15)$$

Опишем некоторые свойства полученного решения. На фронте волны пузырей  $t = \frac{l}{W_z}$ . Тогда из (15) следует:

$$\tau - x = 0, \quad (1-a)x - \tau = -\frac{kf}{bW_z} l$$

из (13) и (14) видно, что на фронте волны пузырей

$$\begin{cases} z = C_0 e^{-\frac{kf}{bW_z} l} \\ y = 0 \end{cases}$$

Следовательно, в момент достижения свободной поверхности слоя фронтом пузырей, концентрация „метки“ в этой фазе изменяется скачком:

$$z = C_0 e^{-\frac{kf}{bW_z} H} = C_0 e^{-\frac{kf}{b} t_1},$$

тогда как концентрация „метки“ в „плотной“ фазе равна нулю. Концентрация „метки“ на выходе в момент достижения поверхности слоя фронтом пузырей равна:

$$C = \omega C_0 e^{-\frac{kf}{bW_z} H} = \omega C_0 e^{-\frac{kf}{b} t_1} \quad (16)$$

На фронте волны „плотной“ фазы  $t = \frac{l}{W_y}$  и из (15) следует:

$$ax = 0, \quad \tau - x = \frac{kf}{(1-b)W_y} l \quad (1-a)x - \tau = -\frac{kf}{(1-b)W_y} l$$

Так как  $I_0(0) = 1$ , то из (13) и (14) следует, что при подходе к фронту „плотной“ фазы

$$\begin{cases} z = C_0 \int_0^{\frac{kf}{(1-b)W_y} l} e^{-\xi} d\xi + C_0 e^{-\frac{kf}{(1-b)W_y} l} \\ y = C_0 \int_0^{\frac{kf}{(1-b)W_y} l} e^{-\xi} d\xi \end{cases}$$

Или, после интегрирования, получим, что в момент достижения фронтом „плотной“ фазы поверхности слоя, т. е. при  $l = H$

$$\begin{cases} z = C_0 \\ y = C_0(1 - e^{-\frac{kf}{(1-b)W_y} H}) = C_0(1 - e^{-\frac{kf}{1-b} t_1}) \end{cases}$$

Отсюда полная концентрация „метки“ на поверхности слоя в момент выхода фронта „плотной“ фазы равна:

$$\begin{aligned} C &= \omega z + (1 - \omega)y = C_0[1 - (1 - \omega)e^{-\frac{kf}{W_y(1-b)} H}] = \\ &= C_0[1 - (1 - \omega)e^{-\frac{kf}{1-b} t_1}] < C_0. \end{aligned} \quad (17)$$

Таким образом, полная концентрация „метки“ на поверхности слоя при выходе из него фронта „плотной“ фазы не достигает значения  $C_0$  и в этот момент также изменяется скачком. Концентрация „метки“ в любой момент равна  $C = \omega z + (1 - \omega)y$  и, как следует из (13) и (14) выражается формулами:

$$C = \begin{cases} 0 & \text{при } l > W_z t \\ C_0 e^{-\frac{kf}{W_y} \int_0^z e^{-\xi} I_0(2\sqrt{ax\xi}) d\xi + \omega C_0 e^{(1-\omega)z - \frac{kf}{W_y} l}} [2\sqrt{ax(z-z)}] & \\ C_0 & \text{при } l \leq W_y t \quad \text{при } W_y t < l \leq W_z t. \end{cases} \quad (18)$$

На основании полученных формул можно экспериментально определить некоторые характеристики процесса. Прежде всего, очевидно, что при отсутствии диффузии вдоль оси аппарата

$$\int_{t_1}^{t_2} C dt = \omega C_0(t_2 - t_1) \quad (20)$$

Если измерены моменты  $t_1$  и  $t_2$ , то можно определить скорости движения пузырей и „плотной“ фазы  $W_z = \frac{H}{t_2 - t_1}$  и  $W_y = \frac{H}{t_2 - t_1}$ . Планиметрированием экспериментально полученной функции напуска, на основании (20), можно определить величину  $\omega$ :

$$\omega = \frac{\int_{t_1}^{t_2} C dt}{C_0(t_2 - t_1)},$$

а затем величину  $b$ . Если измерена величина скачка функции напуска в момент выхода фронта пузырей, то из (16) имеем:

$$h = \frac{kf}{b} = \frac{W_z}{H} \ln \frac{\omega C_0}{C_1}$$

Разработанная методика получила экспериментальное подтверждение.

### Принятые обозначения

$V$ — объем газа, проходящего через аппарат в единицу времени,	$m^3/сек.$
$V_z$ — объем газа, проходящего в пузырях в единицу времени,	$m^3/сек.$
$V_y$ — объем газа, проходящего в „плотной“ фазе в единицу времени,	$m^3/сек.$
$v_z$ — объем слоя, занятый пузырями,	$m^3$
$v_y$ — объем слоя, занятый „плотной“ фазой,	$m^3$
$\omega$ — доля газа, проходящего через слой в пузырях,	безразм.
$t$ — время,	сек.
$W_z$ — линейная скорость пузырей,	$m/сек.$
$W_y$ — линейная скорость „плотной“ фазы,	$m/сек.$
$z$ — концентрация „метки“ в пузырях,	безразм.
$y$ — концентрация „метки“ в „плотной“ фазе,	безразм.
$C_0$ — концентрация полностью перемешанного газа,	безразм.
$k$ — коэффициент массопередачи,	$m/сек.$
$f$ — относительная поверхность пузырей, т. е. поверхность пузырей, находящихся в единице газового объема слоя $1/m$ .	$m$
$l$ — текущая высота слоя (переменное расстояние от решетки),	$m$
$H$ — полная высота слоя,	$m$
$b$ — доля газового объема слоя, занятая пузырями,	безразм.
$S$ — газовое сечение слоя,	$m^2$
$h$ — константа скорости межфазного массообмена,	$1/сек.$

### ЛИТЕРАТУРА

- Абаев Г. Н. Сб. „Моделирование и оптимизация каталитических процессов“. стр. 306. Изд. „Наука“, 1965.
- Абаев Г. Н., Гусман Т. Я. „Хим. и техн. топлив и масел“, № 10, 1964.
- Иоффе И. И., Письман Л. М. „Хим. пром.“, № 4, стр. 287, 1960.
- Дэвидсон И. Ф., Харрисон Д. „Псевдоожижение твердых частиц“. Изд. „Химия“, М., 1965.
- Гальперин Н. И., Айштейн В. Г., Кваша В. Б. „Основы техники псевдоожижения“. Изд. „Химия“. М., 1967.
- Лева М. „Псевдоожижение“. Гостехиздат, М., 1961.
- Сыромятников Н. И., Волков В. Ф. „Процессы в кипящем слое“. Металлургиздат, Свердловск, 1959.
- Емельянов И. Д. Сб. „Моделирование и оптимизация каталитических процессов“, стр. 285. Изд. „Наука“, М., 1965.
- Кериерман В. Ш., Мухленов И. П., Слилько М. Г., Филатов Ю. В. „Хим. пром.“, № 6, стр. 43 (443), 1966.
- Мещеряков В. Д., Слилько М. Г. „Хим. пром.“, № 6, стр. 15 (415), 1967.
- Диткин В. А., Прудников А. П. „Справочник по операционному исчислению“. Изд. „Высшая школа“, М., 1965.
- Степанов В. В. „Курс дифференциальных уравнений“. ГИТТЛ. М., 1963.
- Броиштейн И. Н., Семендейев К. А. „Справочник по высшей математике“. М., 1962.

ВНИОлефин

Поступило 13. V 1968

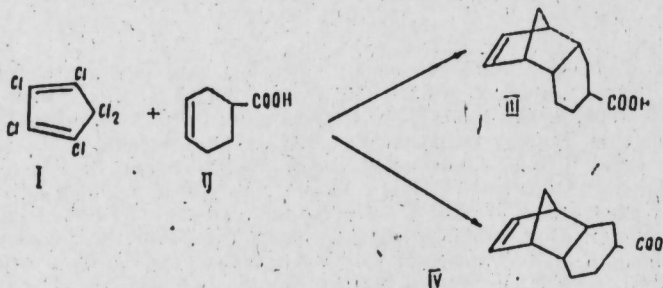
УДК 547:39:61.07

М. С. САЛАХОВ, М. М. ГУСЕЙНОВ, П. М. ПОЛАДОВ

СТЕРЕОХИМИЧЕСКОЕ ИССЛЕДОВАНИЕ РЕАКЦИИ  
КОНДЕНСАЦИИ ГЕКСАХЛОРЦИКЛОПЕНТАДИЕНА  
С  $\Delta^3$ -ЦИКЛОГЕКСЕНКАРБОНОВЫМИ КИСЛОТАМИ

(Представлено академиком АН Азербайджанской ССР А. М. Кулиевым)

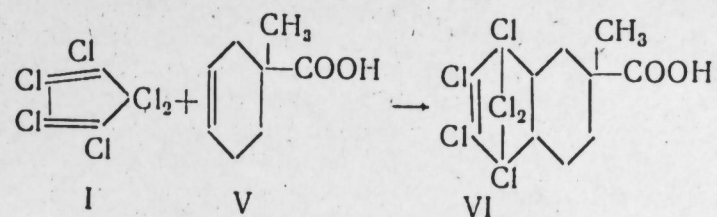
Изучение диеновой конденсации гексахлорцикlopентадиена (I) с  $\Delta^3$ -циклогексенкарбоновой кислотой показало [1], что продуктами реакции являются два стереоизомерных аддукта, один из которых получается в преобладающем количестве. Причем, найдено, что с увеличением температуры и продолжительности реакции выход низкоплавкого изомера возрастает намного быстрее высокоплавкого изомера. Было высказано предположение относительно эндо-экзо-конфигурации низкоплавкого и экзо-экзо-конфигурации высокоплавкого изомеров:



Исходя из факта, что карбоксильная группа II занимает экваториальное положение [2, 3], эндо-ориентация I и II при атаке диенофилом с его  $\beta$ -стороны должно привести к предпочтительному образованию эндо-экзо-изомера, что находится в полном соответствии с нашими экспериментами.

Для подтверждения данной мысли мы продолжали эту реакцию с диенофилом 1-метил- $\Delta^3$ -циклогексен-1-карбоновой кислотой (V) [4], в которой метильная группа должна препятствовать эндо-экзо-ориентации диена и диенофилла, что в свою очередь должно способство-

вать уменьшению выхода соответствующего изомера.



Для получения сравнимых результатов диеновая конденсация (I) с (V) осуществлялась в условиях предыдущей [1] реакции: при температуре 120–180°C, молярном соотношении диена к диенофилу, равном 1:1–4:1 и продолжительности реакции 1–16 ч (рис. 1, 2, 3).

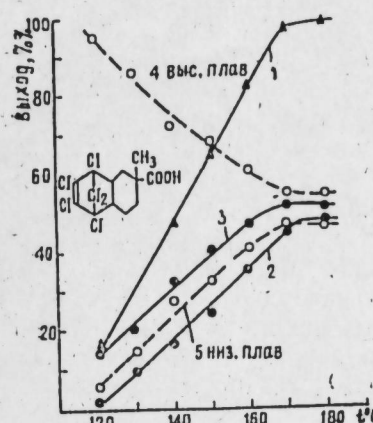


Рис. 1. Зависимость выхода аддукта от температуры при молярном соотношении диен : диенофил-2:1 и продолжительности 12 ч.

Выход на взятую кислоту: 1—аддукта, 2—низкоплавкого изомера, 3—высокоплавкого изомера; 4,5—изомерный состав аддукта.

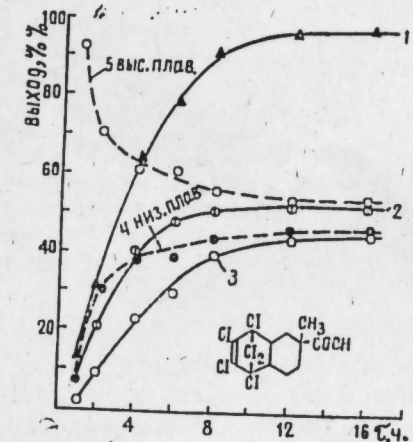


Рис. 2. Зависимость выхода аддукта от продолжительности реакции при молярном соотношении диен : диенофил-2:1 и температуре 170°C. Выход на взятую кислоту: 1—аддукта, 2—высокоплавкого изомера, 3—низкоплавкого изомера; 4,5—изомерный состав аддукта.

Результаты экспериментов показали, что скорость образования аддукта при этом ниже, чем в случае  $\Delta^3$ -циклогексенкарбоновой кислоты, хотя и выход его достигает теоретического значения и что в этом случае также образуются два стереоизомера с  $T_{пл.} = 162$  и 202°C с большим количеством высокоплавкого изомера.

Следует отметить, что при прочих равных условиях скорость образования высокоплавкого изомера меньше скорости образования низкоплавкого изомера из  $\Delta^3$ -циклогексенкарбоновой кислоты. Такое различие в выходах стереоизомеров, вызванное введением аксиальной метильной группы, вероятно, связано с ее пространственным препятствием для эндо-экзо-ориентации компонентов реакции в промежуточном комплексе.

Таким образом, результаты проведенного исследования указывают на предпочтительность образования эндо-экзо-изомера аддукта между (I) и  $\Delta^3$ -циклогексеном и 1-метил- $\Delta^3$ -циклогексен-1-карбоновыми

кислотами. С другой стороны, уменьшение скорости образования аддукта из 1-метил- $\Delta^3$ -циклогексен-1-карбоновой кислоты показывает, что для преодоления пространственного препятствия метильной группы необходимо затратить больше энергии, что в нашем случае, выражается необходимостью большей температуры или более продолжительного нагрева.

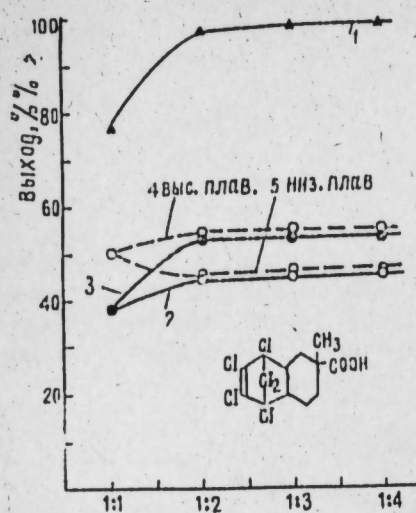


Рис. 3. Зависимость выхода аддуктов от молярного соотношения компонентов реакции при температуре 170°C и продолжительности 12 ч.  
Выход на взятую кислоту: 1—аддукта, 2—низкоплавкого изомера, 3—высокоплавкого изомера; 4,5 — изомерный состав аддукта.

цикlopентадиен, а не вошедшая в реакцию исходная кислота выпадала в осадок. Твердый остаток на дне перегонной колбы очищался гексаном вышеописанным образом. Результаты очистки показали, что остаток состоит из целевого продукта.

Полученный кристалл-продукт плавился в широком интервале (160–190°C), из него обработкой дихлорэтаном выделились два стереоизомерных аддукта 1, 2, 3, 4, 11, 11-гексахлортрицикло-(2, 1, 0, 4)-7-метил-ундекен-2-карбоновой-7-кислоты:

1  $T_{\text{пл.}}$  161–162°C и  $T_{\text{пл.}}$  20–202°C.

Элементарный анализ:

продукт I — вычислено, %: C—37,77; H—2,90; Cl—51,57	$C_{13}H_{12}O_2Cl_6$ найдено, %: C—37,61; H—2,82; Cl—51,03
мол. вес—413,0 (вычислено), 409,0 (найдено)	
продукт II — вычислено, %: C—37,77; H—2,90; Cl—51,57	
$C_{13}H_{12}O_2Cl_6$ найдено, %: C—37,55; H—2,85; Cl—50,96	
мол. вес—413,0 (вычислено), 411,0 (найдено).	

### Выводы

1. Впервые изучена дисновая конденсация гексахлорцикlopентадиена с 1-метил- $\Delta^3$ -циклогексен-1-карбоновой кислотой, приводящая к образованию двух стереоизомерных 1, 2, 3, 4, 11, 11-гексахлортрицикло-(2, 1, 0, 4)-7-метил-ундекен-2-карбоновых-7-кислот.

2. Показано, что соотношение стереоизомеров зависит от изменения температуры и продолжительности реакции.

3. Высказано предположение о пространственном препятствии аксиальной метильной группы дисенофила эндо-экзо-ориентации дисна с дисенофилом в промежуточном комплексе, способствующем уменьшению выхода соответствующего изомера.

### ЛИТЕРАТУРА

- Салахов М. С., Гусейнов М. М., Поладов П. М. Азерб. хим. журн., № 6, 1969.
- Зефиров Н. С., Чекулаева В. Н., Белозеров А. И. ЖОРХ, 4, 918, 1968.
- Зефиров Н. С., Шехтман Н. М., Федоровская М. А. ЖОРХ, 5, 188, 1969.
- Салахов М. С., Гусейнов М. М., Поладов П. М. Решение о выдаче авторского свидетельства № 1219 521/23-4 от 26 XI, 1968.

Сум. филиал ИИХП

Поступило 19. V 1969

М. С. Салахов, М. М. Гусейнов, П. М. Поладов

### Нексахлорциклопентадиенин $\Delta^3$ -циклоексен карбон туршулары илэ дијен конденслэшмәси реаксијаларынын стереокимјәви тәдгиги

#### ХУЛАСЭ

Илк дәфә олараг нексахлорциклопентадиенин 1-метил- $\Delta^3$ -циклоексен-1-карбон туршусу илэ дијен конденслэшмәси өјрәнилмеш вәбу реаксија заманы ики фәза изомеринин әмәлә кәлдији мүәйҗән едилемешdir.

Мәгәләдә фәза изомерләринин әмәләкәлмә инсбәтләриниң температурдан вә реаксија мүддәтиндән асылы олмасы көстәрилмешdir. Аralыг комплексдә дијенин дијенофил илэ ендо-екзо истигамәтләмәси үчүн дијенофилин аксиал метил группунун мұвағиғ изомерин чыхымының азалмасына сәбәб олан фәза манеси мұлаһизәси өјрәнилмешdir.

ФИЗИЧЕСКАЯ ХИМИЯ

УДК 541. 115:546. 287

М. Я. АГАРУНОВ

ЭНТАЛЬПИЯ ОБРАЗОВАНИЯ КРЕМНИЙОРГАНИЧЕСКИХ  
СОЕДИНЕНИЙ РЯДА  $\text{SiH}_n(\text{CH}_3)_m\text{Cl}_{4-n-m}$

(Представлено академиком АН Азербайджанской ССР М. Ф. Нагиевым)

Калориметрическое определение теплот образования элементоорганических соединений (особенно хлорсодержащих) связано с большими экспериментальными трудностями [1,2]. Поэтому возникает необходимость в применении расчетных методов для вычисления их стандартных энталпий образования.

О'Нилом и Рингом [3] была предпринята попытка применить обычную схему аддитивности связей [4] для расчетов термодинамических свойств соединений кремния. Нельзя не оценить как позитивный факт появление этой работы, хотя бы потому, что авторы собрали разбросанные в литературе данные по указанным свойствам соединений кремния. Следует, однако, сделать несколько замечаний по поводу оценки авторами теплот образование и выбора для этой цели экспериментальных данных.

Авторы работы [3] для определения какого-либо аддитивного вклада связи пользовались лишь значением  $\Delta H_f^0$  для одного отдельного вещества. Очевидно, что более правильным было бы применение статистического метода, т. е. использование данных для нескольких веществ, так как неточность в теплоте образования принятого в качестве исходного индивидуального вещества может привести к значительной погрешности, когда рассчитанный вклад суммируется многократно. Это и произошло в расчетах О'Нила и Ринга. Вклад связи ( $\text{Si}-\text{O}$ ) им определялся из  $\Delta H_f^0\text{Si}(\text{OC}_2\text{H}_5)_4(g)$ , найденной Ройтером [5], вклад связи ( $\text{Si}-\text{H}$ ) — по результатам Гана и Грина [6] для  $\Delta H_f^0\text{SiH}_4(g)$  и вклад связи ( $\text{Si}-\text{C}$ ) — из  $\Delta H_f^0(\text{C}_6\text{H}_5)_2\text{Si}(\text{OH})_2$ , полученной Танака и сотр. [7]. Ройтер [5] сам указывает, что его данные по теплотам образования эфиров оргокремневой кислоты носят ориентировочный характер и настолько грубы, что могут служить лишь для качественного различия. Нет никакого основания из большого количества значений для  $\Delta H_f^0\text{SiH}_4(g)$  выбирать в качестве опорной точки положительную величину (+7,3 ккал/моль), полученную Ганом и Грином [6]. Данные Танака [7] весьма сомнительны и его работы были в свое время подвергнуты критике [8,9].

Лишь при нахождении вклада связи ( $\text{Si}-\text{Cl}$ ) авторы работы [3] поступили правильно, использовав значения  $\Delta H_f^0$  для нескольких хлорсодержащих соединений кремния.

Применив неверно найденные вклады для своей схемы аддитивности, О'Нил и Ринг рекомендуют для этилсиланов значения, превышающие иногда в два раза величины Танненбаума [10], хотя известно, что данные Танненбаума по теплотам образования алкилсиланов сильно завышены из-за неучета неполноты сгорания веществ.

И последнее. Авторы статьи [3], указывая на то, что данные по теплотам образования, полученные до 1962 г. ошибочны из-за присутствия неисправленной величины для  $\Delta H_f^0\text{SiO}_2$  (ам.), сами не всегда правильно вносят эту поправку.

В методе, примененном О'Нилом и Рингом, вклады связей ( $\text{Si}-\text{C}$ ), ( $\text{Si}-\text{H}$ ) и ( $\text{Si}-\text{Cl}$ ) остаются неизменными при замещениях. Известно, однако, что в хлорзамещенных метилсиланах длины связей заметно изменяются в ряду соединений  $\text{SiH}_n(\text{CH}_3)_m\text{Cl}_{4-n-m}$  [12], поэтому следует полагать, что свойства связей колеблются при замещениях. Более резонным является применение такого метода расчета, который бы учитывал индивидуальные свойства связей. Найденные нами [1,11] значения теплот образования пяти хлорсодержащих кремнийорганических соединений дают возможность применить более точные методы расчета.

Бернштейном [13] для расчетов теплот образования некоторых производных метана была предложена схема, учитывающая взаимодействия между соседними связями в молекуле (или взаимодействия непосредственно несвязанных атомов). Эта схема была успешно применена к алканам [14] и галоидзамещенным метанам [15]. Принцип Бернштейна (с учетом поларных взаимодействий) используется и в настоящей работе при расчете теплот образования соединений ряда  $\text{SiH}_n(\text{CH}_3)_m\text{Cl}_{4-n-m}$ .

В качестве опорных точек для расчета использованы значения теплот образования пяти метилхлорсиланов [1], тетрахлорсилина, трихлорсилина и тетраметилсилина.

$\Delta H_f^0\text{Si}(\text{CH}_3)_4(g)$  определялась Танненбаумом [10], Хлупачеком [16] и Лаучем [17]. Как уже указывалось, данные Танненбаума из-за неправильного учета неполноты сгорания обладают большими погрешностями. В двух других работах [16,17] с хорошей точностью получены прекрасно согласующиеся результаты для теплоты сгорания тетраметилсилина, и, с учетом нового значения для  $\Delta H_f^0\text{SiO}_2$  (ам.) [18]\*, мы приняли  $\Delta H_f^0\text{Si}(\text{CH}_3)_4(g) = -58,0 \pm 1,5$  ккал/моль. Темпера образования четыреххлористого кремния найдена многими авторами [19—23], в основном, методом гидролиза. Здесь используются данные наиболее тщательной работы Бизера и Мортимера [19] ( $\Delta H_f^0\text{SiCl}_4(g) = -163,2 \pm 0,8$  ккал/моль). При расчете теплоты образования  $\text{SiCl}_4(g)$  из данных Рота и Шварца [20] ( $\Delta H_{\text{гидр}}^0\text{SiCl}_4(\text{ж}) = -70,1$  ккал/моль) с учетом нового значения для  $\Delta H_f^0\text{SiO}_2$  (ам.) [18] получается величина (-163,0 ккал/моль), хорошо согласующаяся с результатом Бизера и Мортимера.

По определению теплоты образования трихлорсилина имеется лишь одна работа Вольфа [22], который сам пересчитал [24] свои данные с использованием нового значения для  $\Delta H_f^0\text{SiO}_2$  (ам.) [18] и получил  $\Delta H_f^0\text{HSiCl}_3(g) = -124,4 \pm 1,7$  ккал/моль.

В литературе приводятся еще несколько значений теплот образования силана и данные Танненбаума для метилсиланов. Но они либо обла-

\* Выбор новой величины энталпии образования аморфной мелкодисперсной гидратированной двуокиси кремния ( $\Delta H_f^0\text{SiO}_2$  (аморф., гидрат.) = -217,4 ± 0,5 ккал/моль) подробно рассмотрен в работе: М. Я. Агарунов, С. Н. Гаджиев, J. Organometal. Chem., 1970 (в печати).

дают большими погрешностями, либо настолько противоречивы (см. ниже), что не могут быть использованы в качестве опорных точек.

Методом наименьших квадратов по восьми выбранным опорным точкам найдены вклады связей и взаимодействий между связями для расчета теплот образование соединений ряда  $\text{SiH}_n(\text{CH}_3)_m\text{Cl}_{4-n-m}$  (табл. 1).

Таблица 1

Вклады связей и взаимодействий между соседними связями, ккал/моль.

$(\overline{\text{Si}-\text{H}})$	-1,97	$\Delta(\text{H}-\text{CH}_3)$	-0,33
$(\overline{\text{Si}-\text{CH}_3})$	-14,41	$\Delta(\text{H}-\text{Cl})$	+0,02
$(\overline{\text{Si}-\text{Cl}})$	-40,97	$\Delta(\text{Cl}-\text{CH}_3)$	-0,26

Расчет производился по формуле\*

$$\Delta H_f^0 \text{SiH}_n(\text{CH}_3)_m\text{Cl}_{4-n-m}(\text{г}) = n \cdot (\overline{\text{Si}-\text{H}}) + m \cdot (\overline{\text{Si}-\text{CH}_3}) + (4-n-m) \cdot (\overline{\text{Si}-\text{Cl}}) + n \cdot \Delta(\text{H}-\text{CH}_3) + m(4-n-m) \cdot \Delta(\text{H}-\text{Cl}) + m(4-n-m) \cdot \Delta(\text{Cl}-\text{CH}_3). \quad (1)$$

В табл. 2 сопоставлены экспериментальные и рассчитанные данные по теплотам образования метилхлорсиланов. Как видно, результаты

Таблица 2

Теплоты образования соединений ряда  $\text{SiH}_n(\text{CH}_3)_m\text{Cl}_{4-n-m}$ , ккал/моль

Вещество	$-\Delta H_f^0(\text{ж})$ (эксп.)	$\Delta H_{\text{исп.}}$	$-\Delta H_f^0(\text{ж})$ (эксп.)	$-\Delta H_f^0(\text{ж})$ расч. по формуле (1)	Литература
$\text{SiH}_4$			20,2*	7,9	[26]
			-7,3	[6]	
			8,7	[27]	
			13,7	[28]	
			14,8	[29]	
			-7,8	[30]	
$\text{SiH}_3\text{Cl}$				46,8	
$\text{SiH}_2\text{Cl}_2$				85,8	
$\text{SiHCl}_3$	131,4	6,5	124,9	124,8	[22]
$\text{SiCl}_4$	170,2	7,0	163,2	163,9	[19]
			163,0*	[20]	
			159,0	[24]	
			156,9	[23]	
			152,0	[21]	
$\text{Si}(\text{CH}_3)_4$	64,3*	6,3	58,0*	57,7	[16], [17]
	83,1*		76,7*		[10]
$\text{SiH}(\text{CH}_3)_3$	74,0*	10	64,0*	46,2	[10]
$\text{SiH}_2(\text{CH}_3)_2$	55,1*	4,8	50,3*	34,1	[10]
$\text{SiH}_3\text{CH}_3$				21,3	
$\text{Si}(\text{CH}_3)_3\text{Cl}$	91,8	7,2	84,6	85,0	[1]
	91,9		84,7		[31]
$\text{Si}(\text{CH}_3)_2\text{Cl}_2$	118,4	7,5	110,9	111,8	[1]
			108		[21]
$\text{SiCH}_3\text{Cl}_3$	147,2	7,4	139,8	138,2	[1]
$\text{SiHCH}_2\text{Cl}_2$	105,9	6,9	99,0	99,1	[1]
$\text{SiH}(\text{CH}_3)_2\text{Cl}$	79,8	6,8	73,0	72,9	[1]
$\text{SiH}_2\text{CH}_3\text{Cl}$				60,2	

Опорные точки подчеркнуты.

\* Пересчитано с учетом нового значения  $\Delta H_f^0 \text{SiO}_2$  (ам) [18].

Тайненбаума [10] сильно отличаются от рассчитанных. Причиной, как уже указывалось, является неправильный учет неполноты горения веществ. Рассчитанное по соотношению (1) значение теплоты обра-

\* Обозначения те же, что и в работе [25].

зования силана, является как бы средней величиной взаимоисключающих данных Фехера и сотр. [26] и Гана и Грина [6]. Трудно согласиться с результатами Фехера и сотр. [26] по теплотам образования  $\text{SiH}_4(\text{г})$ ,  $\text{Si}_2\text{H}_6(\text{г})$ ,  $\text{Si}_3\text{H}_8(\text{ж})$  и  $\text{Si}_4\text{H}_{10}(\text{ж})$ , равными -27,4, -67,9, -90,5, -119,0 ккал/моль соответственно\*, так как известно, что в этом ряду устойчивость соединений резко ослабевает. В то же время, трудно согласиться и со значением Гана и Грина для  $\Delta H_f^0 \text{SiH}_4(\text{г})$  (+7,3 ккал/моль), так как экспериментальное изучение теплоты сгорания  $\text{SiH}_4$  и температурного коэффициента константы равновесия реакции  $\text{Si}(\text{ам}) + 2\text{H}_2(\text{г}) \rightleftharpoons \text{SiH}_4(\text{г})$  показывает [27-29], что эта величина отрицательна и находится в пределах -8÷-15 ккал/моль. Полученное расчетным путем значение -7,9 ккал/моль, можно считать вполне приемлемым.

В литературе имеются несколько работ, в которых определена теплота сгорания тетраэтилсилона [10, 16, 17, 32]. В трех из них (за исключением работы Тайненбаума [10]) получены хорошо согласующиеся результаты. Расчет теплоты образования по этим значениям дает  $\Delta H_f^0 \text{Si}(\text{C}_2\text{H}_5)_4(\text{г}) = -59,1 \pm 3,7$  ккал/моль. С помощью этой величины и некоторых результатов из табл. 2, используя предложенную Бернштейном диаграмму [25, рис. 1] и отбрасывая в расчетной схеме вклады взаимодействий между соседними связями, можно грубо ( $\pm 5$  ккал/моль) оценить теплоты образования соединений ряда  $\text{SiH}_n(\text{C}_2\text{H}_5)_m\text{Cl}_{4-n-m}$  (табл. 3).

Таблица 3

Вещество	$-\Delta H_f^0(\text{г}),$ ккал/моль
$\text{Si}(\text{C}_2\text{H}_5)_4$	59,1
$\text{SiH}(\text{C}_2\text{H}_5)_3$	47,3
$\text{SiH}_2(\text{C}_2\text{H}_5)_2$	34,8
$\text{SiH}_3\text{C}_2\text{H}_5$	21,7
$\text{Si}(\text{C}_2\text{H}_5)_3\text{Cl}$	86,1
$\text{Si}(\text{C}_2\text{H}_5)_2\text{Cl}_2$	112,5
$\text{SiC}_2\text{H}_5\text{Cl}_3$	138,5
$\text{Si}[\text{C}_2\text{H}_5]_2\text{Cl}_2$	99,5
$\text{SiH}(\text{C}_2\text{H}_5)_2\text{Cl}$	73,7
$\text{SiH}_2(\text{C}_2\text{H}_5)\text{Cl}$	60,6

Величины, рекомендуемые нашими расчетами (табл. 2), следует в настоящее время считать наиболее достоверными, так как рассчитанные для сравнительно узкого круга веществ, они опираются на большое количество экспериментальных точек.

Разумеется, дальнейшая экспериментальная работа позволит еще более уточнить рассчитанные данные,

#### ЛИТЕРАТУРА

- Агарулов М. Я., Гаджиев С. Н., ДАН СССР, 185, 577 (1969).
- Good W. D. and Scott D. W., "Experimental Thermochemistry", vol. II, H. A. Skinner, Ed., New York-London, 1962, стр. 57.
- O'Neal H. E. and Ring M. A., Inorg. Chem., 5, 435, 1966.
- Benson S. W. and Buss J. H., J. Chem. Phys., 29, 546, 1958.
- Reinherz H., Chem. Tech., 2, 331, 1950.
- Gunn S. R. and Green L. G., J. Phys. Chem., 65, 779, 1961; 68, 916, 1964.
- Tanakai и др., J. Chem. Phys., 19, 1330, 1951; 22, 957, 1954; 22, 1268, 1954.
- Thompson R., J. Chem. Soc., 1908, 1953.
- Гаджиев С. Н., Агарулов М. Я., ЖФХ, 39, 239, 1965.
- Gannenbaum S. и др., J. Amer. Chem. Soc., 75, 3753, 1953; 76, 1027, 1954.
- Hajiev S. N. and Agarupov M. J., J. Organometal. Chem., 11, 415, 1968.
- Livingston R. L. and Brockway L. O., J. Amer. Chem. Soc., 68, 719, 1946.
- Bernstein H. J., J. Chem. Phys., 20, 263, 1952; 21, 2188

\*\* Данные Фехера и сотр. пересчитаны с учетом  $\Delta H_f^0 \text{SiO}_2(\text{квар.}) = -217,72$  ккал/моль и  $\Delta H_f^0 \text{SiO}_2(\text{ам}) = -215,94$  ккал/моль [18].

1953. 14. Сейфера А. Л., Смоленский Е. А., ЖФХ. 38, 1230, 1964. 15. Скуратов С. М. и Колесов В. П., ЖФХ. 35, 1156, 1961. 16. Chlupáček W., Chem. Tech., 5, 460, 1953. 17. Lautsch W. F., Chem. Tech., 10, 419, 1958. 18. Wise S. S., Margrave J. L., Feder H. M. and Hubbard W. N., J. Phys. Chem., 67, 815, 1963. 19. Beezzer A. E. and Mortimer C. T., J. Chem. Soc., 2727, 1964. 20. Roth W. A. und Schwartz O., Z. Phys. Chem., 134, 456, 1928. 21. Ring M. A., O'Neal H. E., Kadhim A. H. and Jappe F., J. Organometal. Chem., 5, 124, 1966. 22. Wolf E., Z. anorg. allgem. Chem., 313, 228, 1961. 23. Schäfer H. und Heine H., Z. anorg. allgem. Chem., 332, 25, 1964. 24. Teichmann und Wolf E. Z. anorg. allgem. Chem., 347, 145, 1966. 25. Bernstein H. J., J. Phys. Chem., 69, 1550, 1955. 26. Feher F., Jansen G. und Rohmer H. Z. anorg. allgem. Chem., 329, 31, 1964. 27. Wartenberg H. Von, Z. anorg. allgem. Chem., 79, 71, 1913. 28. Bichowsky F. R. and Rossini F. D., "The Thermochemistry of Chemical Substances", Reinhold Publ. Corp., New York, N.Y., 1936. 29. Rossini F. D. и др., Selected Values of Chemical Thermodynamic Properties, NBS, circ. 500, Washington, 1952. 30. Grimm E. O. and Humphreys H. M., J. Phys. Chem., 61, 829, 1957. 31. Beezzer A. E. and Mortimer C. T., J. Chem. Soc., (A), 514, 1966. 32. Тельной В. И., Рабинович Н. В., Разуваев Г. А., ДАН СССР, 159, 1106, 1964.

Институт физики

Поступило 25. IX 1968

М. Я. Агарунов

### Силициумұзын бирләшмәләрин әмәләкәлмә енталпијасы

ХУЛАСӘ

Өз тәчруби өлчүләримизә вә әдәбијатда олан мә'лumatлara әсасе  $\text{SiH}_n(\text{CH}_3)_m\text{Cl}_{4-n-m}$  сырасына дахил олан 15 бирләшмәнин әмәләкәлмә енталпијасы несабланышдыр. Бу мәсәдлә Бернштейнин метаның тәрәмәләринә тәтбиг олунан несаблама методунан силициумұзын бирләшмәләринә тәтбиги үсулу мүәжжәнләшдирилмишdir. Һәмин схем үчүн лазым олан мұхтәлиф работәләрни вә онларын арасындакы гарышылыглы тә'сирин енержи пајлары ән кичик квадратлар үсулу илә несабланишдыр. Бу јол илә алымыш рәгемләрин тәчруби нәтичәләрдән фәрги  $\pm 1\%$ -ә ғәдәрdir.

Мәгаләдә көстәрилән јолла индијә ғәдәр өјрәнилмәниш 4 бирләшмәнин— $\text{SiH}_3\text{Cl}$ ,  $\text{SiH}_2\text{Cl}_2$ ,  $\text{SiH}_3\text{CH}_3$ ,  $\text{SiH}_2\text{CH}_3\text{Cl}$ -үн әмәләкәлмә енталпијасы верилмишdir.

АЗЭРБАЙЧАН ССР ЕЛМЛӘР АКАДЕМИЈАСЫНЫН МӘРҮЗӘЛӘРИ

ДОКЛАДЫ АКАДЕМИИ НАУК АЗЕРБАЙДЖАНСКОЙ ССР

ТОМ XXVI

№ 2

1970

### АНАЛИТИЧЕСКАЯ ХИМИЯ

УДК 543.70

И. Л. БАГБАНЛЫ, М. В. ШИРАЙ, Н. Н. МАКОВ

### СИНТЕЗ И ИССЛЕДОВАНИЕ СВОЙСТВ ТЕТРАРОДАНОДИАММИНХРОМИАТА ЦЕЗИЯ

(Представлено Академиком АН Азербайджанской ССР Г. Б. Шахтахтинским)

В последнее время в аналитической практике для качественного и количественного определения элементов все большее применение находит тетрагидроанодиамминхромиат аммония, известный под названием соли Рейнеке. В ряде работ дано применение указанного реагента для определения редких и цветных металлов [1]. Однако в литературе отсутствуют данные об использовании тетрагидроанодиамминхромиата аммония в аналитической химии щелочных металлов.

Настоящая работа посвящена исследованию условий образования, определению состава и растворимости тетрагидроанодиамминхромиата цезия.

Синтез проводился с использованием тетрагидроанодиамминхромиата аммония и хлористого цезия марки „Ч“. Учитывая малую устойчивость раствора тетрагидроанодиамминхромиата аммония, последний готовился непосредственно перед проведением опытов.

В химические пробирки брали 0,1 н раствор хлористого цезия и при постоянном перемешивании добавляли 0,1 н раствор тетрагидроанодиамминхромиата аммония. При этом наблюдалось образование осадка малиново-розового цвета. После отстаивания в течение 30 мин осадок отфильтровывался через фильтрующий тигель № 3, промывался дистиллированной водой, высушивался между листами фильтровальной бумаги или в экскаваторе, заполненном хлористым кальцием. Высущенный осадок представляет собой мелкие кристаллы правильной игольчатой формы.

Далее изучение проводилось осаждением цезия из раствора радиоактивного хлористого цезия—<sup>134</sup> раствором тетрагидроанодиамминхромиата аммония. В 20 центрифужных пробирок вводилось по 0,5 мл 0,1 н раствора хлористого цезия, содержащего индикаторные количества радиоактивного цезия-134, и через бюретки добавлялись различные объемы 0,1 н раствора тетрагидроанодиамминхромиата аммония в качестве осадителя. Объем растворов в пробирках доводился дистиллированной водой до 5 мл в каждой. Пробирки встряхивались 10 мин на аппарате для встряхивания и 15 мин центрифугировались.

Из каждой пробирки в алюминиевые кассеты отбиралось по 0,2 мл раствора. Кассеты высушивались и производилось измерение их радиоактивности на радиометрической установке типа ПП-12 в стандартных геометрических условиях [2]. Результаты осаждение цезия представлены на рис. 1. Аналогичные результаты были получены при

значениях pH-исходных растворов, равных 1,68; 6,86 и 9,18. Следовательно, осаждение цезия солью Рейнеке протекает в довольно широких пределах pH-раствора.

Анализ полученного осадка. Навеска осадка, полученного при определенных условиях, разлагалась азотной кислотой, раствор доводился до определенного объема и в аликовтной части его определялись необходимые компоненты.

Определение хрома проводилось йодометрическим методом, серы—весовым методом в виде сульфата бария, аммиака—методом Кельвина в соответствии с методиками, изложенными в работе [1]. Результаты определений приведены в табл. 1. По количеству найденной серы рассчитывалось содержание родано-групп в составе осадка.

дала в соответствии с методиками, изложенными в работе [1]. Результаты определений приведены в табл. 1. По количеству найденной серы рассчитывалось содержание родано-групп в составе осадка.

Содержание составных частей осадка, %							
Вычислено				Найдено			
Cs	Cr	CNS	NH <sub>3</sub>	Cs	Cr	CNS	NH <sub>3</sub>
29,45	11,52	51,48	7,55	29,65	11,59	51,57	7,22

Определение цезия. Для определения цезия навеска (100–200 мг), дважды перекристаллизованного из водного раствора осадка, меченного радиоактивным цезием-134, растворялась в 10 мл 4 н азотной кислоты при нагревании на водяной бане. После охлаждения раствора определялся его объем. Затем микропипеткой отбиралось по 0,1 мл раствора для определения радиоактивности. Содержание цезия в осадке рассчитывалось по формуле:

$$\% C_s = \frac{A \cdot C \cdot 100}{a \cdot m},$$

где  $a$  — удельная радиоактивность исходного хлористого цезия, имп/мин. мл;

$A$  — радиоактивность навески осадка, имп/мин;

$C$  — концентрация ионов цезия в исходном растворе хлористого цезия, мг/мл;

$m$  — навеска осадка, мг.

Результаты определений цезия приведены в табл. 2.

Из данных, приведенных в табл. 2, следует, что практически установленное содержание отдельных компонентов в осадке соответствует теоретически вычисленному количеству. Соотношение компонентов в составе осадка Cs:Cr:CNS:NH<sub>3</sub>=1:1:4:2, что приближенно отвечает формуле: Cs[Cr(CNS)<sub>4</sub>(NH<sub>3</sub>)<sub>2</sub>].

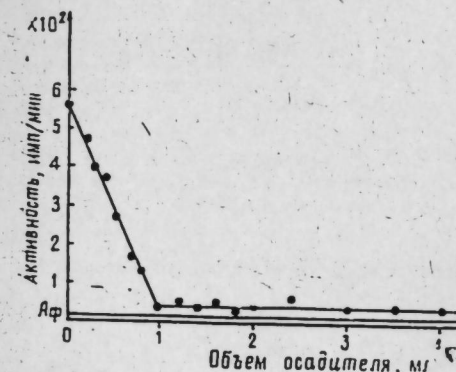


Рис. 1.

Таблица 2

$a$ , имп/мин. мл	$A$ , имп/мин	$C$ , мг/л	$m$ , мг	Цезий, %
35,442	123 700	13,3	154,6	29,97
30,515	71 620	13,3	105,3	29,63
31,515	63 700	13,3	90,6	29,67
32,111	94 530	13,3	123,4	29,30

Таким образом, рациональное название осадка будет тетрарадиодиамминхромиат цезия.

Определение растворимости тетрарадиодиамминхромиата цезия. Навеска, дважды перекристаллизованного из водного раствора тетрарадиодиамминхромиата цезия, содержащая индикаторное количество цезия-134, использовалась для приготовления насыщенного раствора. В процессе растворения осадка после периодического перемешивания при температуре 20° производился отбор проб раствора для измерения радиоактивности. Постоянство радиоактивности проб маточного раствора над осадком, отобранных с определенным интервалом в 20–30 мин, свидетельствовало о достижении равновесия между раствором и осадком. Растворимость определялась

$$S = \frac{a}{a \cdot m},$$

где  $S$  — растворимость, мг/мл;

$m$  — объем пробы насыщенного раствора, мл;

$a$  — радиоактивность  $m$ , мл насыщенного раствора, имп/мин;

$a$  — удельная радиоактивность синтезированного препарата тетрарадиодиамминхромиата цезия, имп/мин·мл.

Удельная радиоактивность препарата определялась путем растворения навески радиоактивного тетрарадиодиамминхромиата цезия в определенном объеме горячей 4 н азотной кислоты с последующим отсчетом радиоактивности на радиометрической установке типа ПП-12. Результаты опытов приведены в табл. 3.

Параллельно проводились опыты по определению растворимости колориметрическим методом. Бралась навеска тетрарадиодиамминхромиата цезия в 10, 20, 30, 40, мг и растворялась в мерной колбе емкостью 50 мл дистиллированной водой. Для обеспечения полноты растворения осадка колба встряхивалась в течение 30 мин на аппарате для встряхивания, затем раствор наливался в кюветы и определялась его оптическая плотность. Раствором сравнения служила дистиллированная вода.

Как видно из рис. 2, полученные результаты хорошо согласуются с данными по определению растворимости методом радиоактивных индикаторов. Исходя из установленной химической формулы тет-

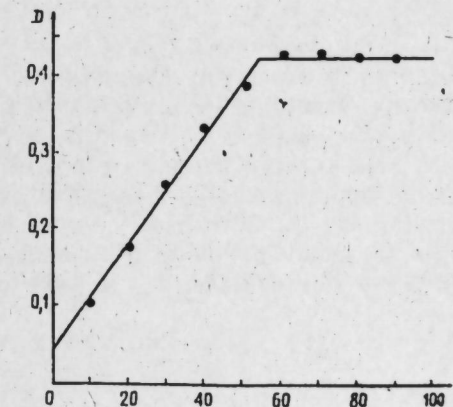


Рис. 2. Зависимость оптической плотности от концентрации тетрарадиодиамминхромиата цезия (кол-во, мг в 50 мл).

Таблица 3

$\alpha$ имп/мин. мл	$\alpha$ имп/мин	т, мл	$C$ мг/мл
8 001	884	0,1	1,10
4 711	524	0,1	1,11
10 560	1 174	0,1	1,11
16 392	1 800	0,1	1,09

рароданодиамминхромиата цезия и величины его растворимости, было вычислено произведение растворимости реинекеата цезия, которое равно  $5,7 \cdot 10^{-6}$ .

### Выводы

Синтезирован тетрараданодиамминхромиат цезия, установлен его химический состав, проведено определение растворимости при температуре  $20^\circ$  и вычислено произведение растворимости. Химический состав синтезированного продукта описывается формулой  $\text{Cs}[\text{Cr}(\text{CNS})_4(\text{NH}_3)_2]$ , произведение растворимости его в воде при  $20^\circ\text{C}$  равно  $5,7 \cdot 10^{-6}$ .

### ЛИТЕРАТУРА

- Багбайлы И. Л. Применение тетрараданодиамминхромиата аммония в аналитической химии редких и цветных металлов. Изд-во АН Азерб. ССР, Баку, 1962.
- Недедов В. Д. Радиоактивные изотопы в химических исследованиях. Изд-во "Химия", Л.—М., 1965.
- Михеева Л. М., Михеев Н. Б. Радиоактивные изотопы в аналитической химии. Госхимиздат, 1961.

ИНФХ

Поступило 3. II 1965

И. Л. Багбайлы, М. В. Ширај, Н. Н. Маков

Сезиум-тетрараданодиамминхромиат  
бирләшмәсінин синтези вә өјрәнилмәсі

### ХУЛАСӘ

Мәгаләдә сезиуму чөкдүрмәк үчүн йени реаксија тәклиф едилшидир. Реаксија сезиуму вәсфи тә'жин етмәк үчүн характерикдир.

Мүәјжән шәрантәдә, сезиум элементи Реинеке дузу васитәсилә кениш pH интервалында, иңе вә силиндир шәкилли, күл-гырымызы ранкли, кристаллоскопик методла тәдгиг едилмәjә жараплы кристаллик чөкүнү әмәлә кәтирир. Чөкүнүн әмәлә кәлмә шәранти радиоактив сезиум-134 изотопу васитәсилә өјрәнилмиш вә әмәлә кәлән чөкүнүн кимjәви тәркиби, һәллолма насили өјрәнилмишdir.

АЗЭРБАЙЖАН ССР ЕЛМЛӘР АКАДЕМИЈАСЫНЫН МӘРУЗӘЛӘРИ

ДОКЛАДЫ АКАДЕМИИ НАУК АЗЕРБАЙДЖАНСКОЙ ССР

ТОМ XXVI

№ 2

1970

### ПОЛЕЗНЫЕ ИСКОПАЕМЫЕ

УДК 553. 3/4. 55

А. Д. КЕРИМОВ, Ф. А. КЕРИМОВ

### О ВЗАИМООТНОШЕНИИ ДАЙКИ ДИОРИТ-ПОРФИРИТА С ОРУДЕНЕНИЕМ И ВРЕМЕНИ ОБРАЗОВАНИЯ РУДНЫХ ЖИЛ НА КАУРМАДАРИНСКОМ СВИНЦОВО-ЦИНКОВОМ МЕСТОРОЖДЕНИИ

(Представлено академиком АН Азербайджанской ССР М. А. Кашкасем)

Анализ литературных данных по многим отечественным и зарубежным гидротермальным месторождениям показывает, что дайки изверженных пород и рудные жилы или зоны по структурно-пространственному положению и нередко по времени образования тесно связаны друг с другом. Поэтому при изучении вопроса об исторической последовательности развития структур подобных месторождений и установлении их генезиса весьма существенное значение имеет тщательный анализ взаимоотношений между оруденением и пространственно ассоциирующейся с ним дайкой.

К сожалению, до последнего времени этот важный вопрос не получил должного освещения по многим гидротермальным месторождениям Нахичеванской складчатой области и в большинстве случаев сводится лишь к фиксации взаимопересечений различных по составу даек рудными жилами, часто на основании косвенных данных, без углубленного анализа их взаимосвязи.

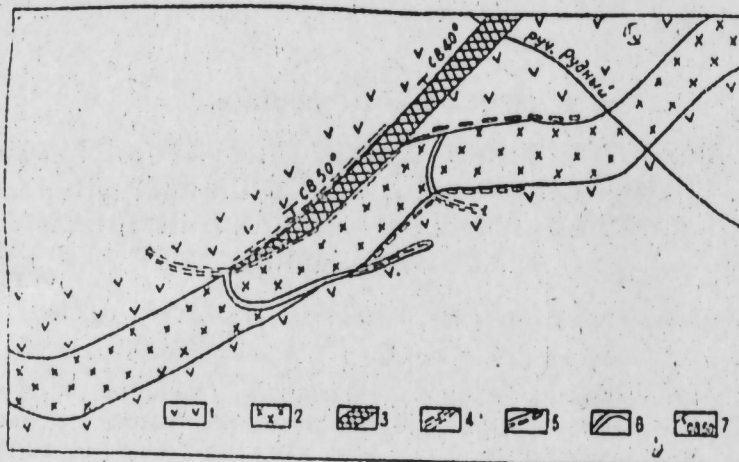
Авторами настоящей статьи на основании детального изучения Каурмадаринского свинцово-цинкового месторождения делается попытка показать значение тщательного анализа взаимоотношений дайки с оруденением при выявлении структурно-генетических особенностей и возраста месторождения.

Каурмадаринское месторождение расположено в высокогорной части Ордубадского района Нахичеванской АССР, в верховых руч. Клурмадара (правого притока р. Парагчай), в 2–3 км от Мегри-Ордубадского гранитоидного интрузива.

Месторождение приурочено к моноклинально залегающим на СЗ под  $<10-15^\circ$  вулканогенным породам среднего эоценена и по минеральной ассоциации, характеру оруденения и условиям образования относится к гидротермальному низкотемпературному свинцово-цинковому типу [4].

Непосредственно на участке месторождения вулканогенные породы прорваны мощной (4–5 м) дайкой диорит-порфирита, характеризую-

щейся весьма извилистыми, неровными крутоизгибающимися контактами с резкими заворотами другообразной и коленообразной формы (рис.1). Общее простирание этой дайки, прослеживающейся далеко за пределами месторождения, как и большинства аналогичных даек второго этапа среднеолигоценового граносиенитового интрузива Мегри-Ордубадского батолита по Р. Ш. Азизбекову [2], близширотное. Однако на самом месторождении она меняет свое простирание на северо-восточное, колеблющееся в пределах 50–70° с падением на юго-восток под углом 70–80°. Интересно, что в местах изгиба дайки падение становится почти вертикальным.



Взаимоотношение дайки диорит-порфирита с рудной зоной на Каурмадаринском свинцово-цинковом месторождении: 1—андезитовые туфы; 2—дайка диорит-порфирита; 3—рудная зона со свинцово-цинковым оруднением; 4—рассланирование; 5—дробление; 6—тектонические швы; 7—элементы залегания дайки и рудной зоны.

Слагающие описываемую дайку породы отчетливо дифференциированы, что выражено в резком преобладании в составе диорит-порфиритов роговой обманки в центре и к лежачему боку, а биотита — к висячему боку. Обращает внимание наличие в породе крупных интраплурических вкраплениников плагиоклаза, достигающих 5–6 см в поперечнике, и шлиров овальной формы размером в 15–20 см. В приэндоконтактовых частях дайки ясно фиксируются зоны вакалки. Вмещающие туфогенные породы в непосредственном контакте с дайкой ороговикованы с появлением актинолита, хлорита, кварца и пирита.

Рудолокализующими структурами на Каурмадаринском месторождении являются две параллельные гидротермально измененные (окварцованные, ожелезненные, каолинизированные) зоны, вмещающие кварцевые жилы и прожилки со свинцово-цинковой минерализацией. Обе зоны имеют северо-восточное простирание (40–50°) с падением на юго-восток и отстоят друг от друга на 70–80 м. При этом верхняя рудная зона находится в тесной структурно-пространственной взаимосвязи с дайкой диорит-порфирита.

Оруднение представлено главным образом сфалеритом и галенитом, незначительно халькопиритом. В тесной ассоциации с указанными минералами встречается шпирит, характеризующийся часто хорошо образованными кристаллами пентагонододекаэдрической формы с отчетливо выраженной штриховкой на гранях. Из жильных минер-

ков значительно преобладает кварц, среди него присутствуют барит и альбит. Текстура руды вкрашения, иногда петельчатая.

Наиболее важным для Каурмадаринского и других подобных свинцово-цинковых месторождений Ордубадского рудного района является вопрос о значении магматического фактора контроля локализации оруднения, который до сих пор не получил своего конкретного выражения. Ш. А. Азизбекова и М. Б. Зейналов [1,3] Каурмадаринское свинцово-цинковое месторождение связывают с гидротермальной деятельностью нижнеплиоценового вулканизма, представленного, по их мнению, субвулканическими образованиями андезито-дацитов, прорывающих вулканогенную толщу эоцена.

Сразу же отметим, что исследованиями последних лет (Т. Г. Гаджиев, А. Д. Керимов и др.) на основании полного петрографического сходства андезитов и андезито-дацитов с вмещающими вулканогенными отложениями эоцена и целого ряда убедительных фактов считается доказанным и признается большинством геологов среднеэоценовый возраст этих образований.

Действительно, среднеэоценовый эфузивный вулканизм и последующее внедрение близповерхностных субвулканических интрузий представляют собой непрерывный магматический процесс, они генетически связаны с единственным вулканическим очагом и находятся в тесной пространственной и временной ассоциации друг с другом.

Таким образом, ввиду отсутствия в районе Каурмадары каких-либо продуктов нижнеплиоценового вулканизма высказанная точка зрения об источнике сульфидного оруднения не обоснована.

Роль же близрасположенного олигоценового Мегри-Ордубадского батолита долгое время игнорировалась, несмотря на отчетливую тесную пространственную связь Каурмадаринского месторождения с его наиболее поздними дериватами-дайками диорит-порфиритов. Впервые мысль о генетической связи полиметаллического оруднения Каурмадары с Мегри-Ордубадским гранитоидным интрузивом была высказана А. Д. Керимовым [4], однако эта идея не была подкреплена необходимыми фактическими данными, без которых невозможно было однозначное решение этого вопроса.

Пристальный анализ взаимосвязи диорит-порфиритовой дайки с гидротермальной рудной зоной на Каурмадаринском месторождении позволил выявить ряд характерных геологических особенностей, убедительно свидетельствующих о более позднем, последайковом образовании свинцово-цинкового оруднения. Прежде всего эта зона четко фиксируется только на лежачем боку дайки диорит-порфирита. Интересна закономерная зависимость ориентировки рудной зоны от контуров этой дайки, специфической особенностью которой на данном участке, как было отмечено выше, является ее резкая извилистость и весьма неровные контакты с мелкими апофизами во вмещающих породах. Занимая, на первый взгляд, секущее положение по отношению к дайке, сразу же после коленообразного изгиба (см. рисунок) тектоническая рудоносная зона вплотную подходит к ней и далее на юго-запад следует вдоль контакта, интенсивно рассланцовывая диорит-порфириты с гидротермальным воздействием на них. При этом мощность зоны постепенно уменьшается от 3 м до 10–20 см, после чего она разветвляется (выклинивается), давая отчетливый тектонический шов в дайковой породе. Диорит-порфириты по этому шву сильно раздроблены, часто рассланцованны и слабо гидротермально изменены.

Как видно, на этом участке направление простирания дайки совпадает с осью тектонических деформаций последайкового этапа

трещинообразования, вследствие чего гидротермальные растворы используют при своем внедрении ту же, позднее подновленную трещинную структуру что и сама дайка, что свидетельствует о значительном разрыве во времени их образования.

Ниже коленообразного изгиба на северо-восток в узкой приконтактовой полосе вмещающие туфы сильно раздроблены, местами гидротермально изменены, а среди диорит-порфиритов четко фиксируется единый тектонический шов, отражающий разряжение деформационных усилий (напряжений) на этом участке.

Тектонические подвижки в период формирования рудных зон носили сбросовый характер (сдвиги-сбросы), о чем свидетельствует направление штихов скольжения в высячем боку дайки, наклоненных на юго-запад под  $<70^\circ$ . Существенных смещений контуров дайки не наблюдается, вероятно, вследствие того, что тектонические импульсы в этот период носили характер лишь малоамплитудных "встряхиваний".

Далее детальные наблюдения показали, что по другую сторону диорит-порфиритовой дайки во вмещающих породах развиты лишь мелкие, очень слабо гидротермально измененные зоны дробления и рассланцевания. Их размеры и расположение по отношению к этой дайке (все они в основном приурочены к ее приэзоконтакту) не дают никаких оснований считать их продолжением главной рудной зоны. Данный вывод подтверждается проведенными здесь поисковыми работами, также не приведшими к положительным результатам.

Таким образом, тщательный анализ возрастного взаимоотношения главной рудной зоны с дайкой диорит-порфирита на Каурмадаринском месторождении позволяет утверждать структурно-парагенетическую связь между этой дайкой и полиметаллическим оруденением и среднеолигоценовый возраст Каурмадаринского свинцово-цинкового месторождения.

#### ЛИТЕРАТУРА

1. Азизбеков Ш. А. Геология Нахичеванской АССР. М., 1961.
2. Азизбеков Р. Ш. Дайковый комплекс юго-западной части Мегри-Ордубадского батолита и связанные с ним оруденение. Автореф. канд. дисс. Баку, 1964.
3. Зейналов М. Б. Геодиагностические особенности полиметаллических месторождений Нахичевани. Автореф. канд. дисс. Баку, 1963.
4. Керимов А. Д. Основные типы свинцово-цинковых месторождений Азербайджана. Изв. АН Азерб. ССР, № 2, 1964.

Институт геологии

Поступило 8. VII 1968

Э. Д. Керимов, Ф. Э. Керимов

Говурмадэрэ гургушун-синк жатағында диорит-порфирит дақасының филизләшмә илә әлагәси вә филиз дамарларының әмәләкәлмә вахты

#### ХУЛАСӘ

Говурмадэрэ гургушун-синк жатағы Ордубад районунун дағлыг һиссендә, Мәгри-Ордубад гранитоид интрузиинин 2–3 км-дә йерләшир. Дамар вә мөһәтәви типли гургушун-синк филизләшмәси Орта Еосен жашлы вулканокен сүхурлары кәсән вә шымал-гәрәб истигамәтнәдә узанан ики филиз зонасы илә әлагәдардыр. Бунлардан үст филиз зонасы диорит-порфирит дақасының жаһының йерләшәрәк структур чәһәтдән онуна сых әлагәдардыр.

Сон заманлара гәдәр бир сыра тәдгигатчылар Говурмадэрэ гургушун-синк жатағынын Алт Плиосен жашлы олмасыны тәсдиг едирдиләр. Лакин мүәллифләрдин дәгиг тәдгигаты иәтичәсендә мә'лум олмушдурки, гургушун-синк филизләшмәси диорит-порфирит дақасы илә структур-паракенетик әлагәдә олараг Орта Олигосен дәврүндә әмәлә кәлмишdir.

АЗЭРБАЙЧАН ССР ЕЛМЛӘР АКАДЕМИЯСЫНЫН МӘРҮЗӘЛӘРИ

ДОКЛАДЫ АКАДЕМИИ НАУК АЗЕРБАЙДЖАНСКОЙ ССР

ТОМ XXVI

№ 2

1970

ГЕОФИЗИКА

УДК 624—942.7

Э. М. ДЕМИХОВСКАЯ-КУЛНЕВА, В. П. КУЗНЕЦОВ, С. В. ПУЧКОВ

#### СКОРОСТИ КОЛЕБАНИЙ ГРУНТА ОТ БЛИЗКИХ ЗЕМЛЕТРЯСЕНИЙ ЮГО-ВОСТОЧНОГО КАВКАЗА

(Представлено академиком АН Азербайджанской ССР Ш. А. Азизбековым)

Исследуются скорости колебаний частиц грунта при прохождении продольных и поперечных сейсмических волн на расстояниях, сравнимых с глубиной очага; обнаружено сходство значений скоростей частиц грунта разных, территориально разобщенных участков, выведены эмпирические формулы изменений скоростей и энергии с эпичентральным расстоянием.

Исследованием охвачены две области: приуроченная к юго-восточной оконечности Главного Кавказского хребта — Апшеронский полуостров и часть Юго-Восточного Кавказа от Шемахи до Нухи.

Материал получен при инструментальных исследованиях местных очагов землетрясений экспедиционными станциями Апшеронской сейсмической экспедиции Института геологии АН Азербайджанской ССР и Шемахинской сейсмической экспедиции Института физики Земли АН СССР.

Запись землетрясений велась сейсмографами типа ВСХ, ГСХ и ВЭГИК с гальванометрами ГК-VI и ГК-VII с облегченной рамкой. Описание аппаратурой приводилось в статьях [1,2].

Нами обработано 6 землетрясений из очагов Апшеронского полуострова и 24 землетрясения из трех зон Шемахинского района. Среди них одно 7-балльное ( $M=3,5-4$ ) и одно 4-х балльное ( $M=2,5$ ).

Скорости колебаний частиц грунта ( $V_p$ ,  $V_s$ ) от воздействия сейсмических волн вычислялись в предположении, что колебания носят гармонический характер.

Вычисления велись по схеме: для каждого землетрясения по всем станциям брались максимальные амплитуды смещений грунта в продольной и поперечной фазах волн; находились отношения амплитуд к периоду колебаний — величины обратной круговой частоте [3]; по этим данным строились графики зависимости  $V_p$ ,  $V_s$  от эпичентральных расстояний (рисунок).

Значения скоростей по Апшеронскому полуострову намного выше, чем по зонам Шемахинского района. Так, например, для Нардаранских землетрясений 31. X 1959 г. 17<sup>h</sup> 14<sup>m</sup> и 17<sup>h</sup> 10<sup>m</sup> с "К" = 8–9 максимальные значения скоростей колебаний частиц грунта для попереч-

ных волн порядка  $200 \cdot 10^{-4}$  см/сек, зарегистрированные на эпицентральных расстояниях до 20 км, тогда как для землетрясений из Авахилской зоны 28. IX 1953 г. 23<sup>h</sup> 29<sup>m</sup> и 9. X 1953 г. 11<sup>h</sup> 14<sup>m</sup> на тех же эпицентральных расстояниях—около  $60 \cdot 10^{-4}$  см/сек.

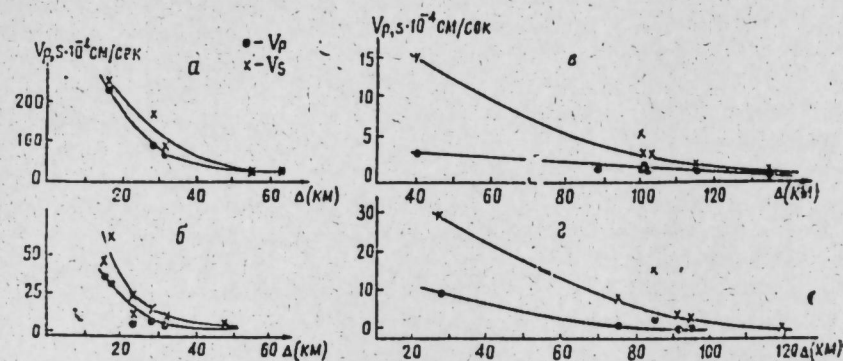


Рис. 1. Изменение скоростей колебаний грунта с расстоянием: а—землетрясение 30. X—1959 г. 13<sup>h</sup> 54<sup>m</sup>—апшеронский очаг; б—землетрясение 28. IX—1953 г. 23<sup>h</sup> 29<sup>m</sup>—авахилский очаг; в—землетрясение 16. IX 1963 г. 12<sup>h</sup> 36<sup>m</sup>—варташенский очаг; г—землетрясение 29. IX 1953 г. 7<sup>h</sup> 30<sup>m</sup>—куткашенский очаг.

Землетрясения характеризуются для апшеронских очагов периодами 0,1—0,3 сек для продольных волн и 0,2—0,5 сек для поперечных; для авахилских очагов, соответственно 0,2—0,4 и 0,25—0,6; для варташенских—0,25—0,4 и 0,3—0,7; для куткашенских—0,2—0,5 и 0,25—0,6 сек.

Если пренебречь аппаратурными искажениями, влияющими на регистрацию колебаний грунта, то нам представляется очевидной связь скоростей колебаний частиц как с самими грунтами, так и с тем, в каких породах залегают очаги землетрясений. Очаги авахилских и апшеронских землетрясений расположены в породах осадочной толщи (глина, песчаники, известняки). Варташенские и куткашенские очаги землетрясений расположены в консолидированных породах типа гранита. Глубины всех групп очагов равны 5—15 км.

Известное влияние на величину смещения грунта оказывают физические свойства верхнего (преимущественно десятиметрового) слоя [3].

Грунты под станциями юго-восточной оконечности Главного Кавказского хребта, включая и остров Жилой, представлены: по Джорату водонасыщенными песками дюнного происхождения с уровнем грунтовых вод до двух метров; по Кара-Чухуру—водонасыщенными суглинками, поверх которых имелся цементный настял до 20 см, по краям связанный с фундаментом здания; по Нардарану—известняками плотными с тонкими прослойками песка; по Кергезу—суглинками; по Жилому—рыхлыми песками мощностью до 10 м, покрывающими известняки.

Грунты под станциями на массиве Шемаха—Нуха: Авахил—плотные известняки, сильно трещиноватые, раздробленные; Бекля—плотные известняки, монолитные; Астрахановка—глины, перемежающиеся с известняками; Сагиан—глины до 1,5 м ниже плотные известняки; Тирджан—известняки плотные, монолитные; Дуруджа—кристаллические известняки мезозойского возраста.

Анализируя графики рисунка, видим, что для апшеронских очагов землетрясений характерно сильное уменьшение величины скорос-

тей колебаний грунта с расстоянием и почти полное затухание на эпицентральных расстояниях в 30—40 км. Авахилские очаги характеризуются такой же формой кривой. В этом сказывается "родство" очагов, а точнее физических свойств грунтов, особенностей в геологическом строении и, возможно, разрядки напряжений в очаге (рисунок а, б).

Скорости колебаний частиц для куткашенских и варташенских очагов землетрясений изменяются с эпицентральным расстоянием более плавно и регистрируются на больших эпицентральных расстояниях (рисунок, в, г). Возможно, здесь сказывается недостаточное число станций вблизи эпицентра, что не позволяет надежно судить об изменении скоростей до 40 км.

Математическая зависимость скорости колебания частиц грунта от эпицентрального расстояния для продольных и поперечных волн имеет вид:

$$V_{p,s} = A e^{-\alpha \Delta}, \\ V_{p,s} = B \Delta^{-\beta}$$

Более простая формула найдена для варташенского очага в виде:

$$V_p = b - K \Delta$$

Значения коэффициентов  $A$  и  $B$  различны для разных землетрясений, в то время как  $\alpha = 0,03—0,05$  (для землетрясений Шемахинской зоны) и  $\beta = 3$ .

Меньшие значения  $\alpha$  принадлежат куткашенским и варташенским очагам землетрясений, большие—авахилским. Апшеронские очаги имеют  $\alpha = 0,04—0,07$ .

Величина углового коэффициента в формуле прямой лежит между 0,01—0,02.

Сравнение числовых значений, приведенных выше формул для  $V_p$ ,  $V_s$  позволяет подметить некоторую общность, присущую землетрясениям как одной зоны для разных землетрясений, так и землетрясениям разных зон.

Величины коэффициентов отражают, кроме перечисленных грунтовых и сейсмогеологических условий, возможно, также объемность очага и строение разрывных плоскостей.

Имеется ряд эмпирических формул, связывающих скорости колебаний частиц грунта, эпицентральные расстояния и магнитуды [4, 5, 6].

Для наших целей взята формула:

$$\log \frac{A_m}{T_m} = AM + B \log \Delta + C$$

Коэффициенты  $A$ ,  $B$  и  $C$ , найденные методом наименьших квадратов, для всех обработанных землетрясений различаются по зонам.

Для варташенского очага после осреднения величин коэффициентов получена формула в виде:

$$\log \frac{A_m}{T_m} = 1,14M - 1,28 \log \Delta + 0,01 \text{ где}$$

$A_m$ ,  $T_m$ —амплитуды и периоды поперечных волн в максимуме,  $M$ —магнитуда,  $\Delta$ —эпицентральное расстояние.

#### ЛИТЕРАТУРА

1. Кузнецов В. П. Землетрясение в Баку 28 ноября 1958 г. ДАН Азерб. ССР, 1959, № 8. 2. Багдасарова А. М., Исламов К. Ш., Коридалин Е. А., Кузнецов В. П., Кузьмина Н. В., Ненилина В. С., Нерсесов И. Л., Султа-

нова З. З., Харин Д. А. Сейсмичность восточной части южных отрогов Главного Кавказского хребта и некоторые методические вопросы изучения сейсмичности отдельных районов. Изв. АН Азерб. ССР, серия геол.-географ. наук, 1959, № 6.  
З. Медведев С. В. Инженерная сейсмология. Госстройиздат, 1962. 4. Соловьев С. Л. О классификации землетрясений по величине их энергии. Труды Геофизич. ин-та, № 30, 157, 1952. 5. Соловьев С. Л., Шебалин Н. В. Определение интенсивности землетрясения по смещению почвы в поверхностных волнах. Изв. АН СССР, серия геофизич., № 7, 1957. 6. К. Капаи. A study of Strong Earthquake motions. Bul. of the earthquake Research Institute, Univ. of Tokyo, part 3. v. 36, 1958, p. 295—310.

Институт геологии

Поступила 22. II 1968

Е. М. Демиховская-Гулиева, В. П. Кузнецов, С. В. Пучков

## ЧЭНУБ-ШЭРГИ ГАФГАЗЫН ЁХЫН ЗЭЛЗЭЛЭЛЭРИНИН ЧӨКҮНТҮ ГАТЫНДА РЭГСИ СҮР'ЭТ

### ХУЛАСЭ

Чэнуб-шэрги Гафгазын ёхын зэлзэлэлэринин енинэ вэ узуунуна далгалар үчүн торпаг рэгси сүр'эти өөрнүүлмүүш вэ мүхтэлиф зэлзэлэ очагларынын мүхтэлиф бэркликли сүхурларда јерлэшмэлэринэ көрө мүгајисэ олуимушдур.

Абшерон вэ Авахыл зэлзэлэ очаглары чөкүнту гатында јерлэшир. Бу гат кил, гум дәнэлэри вэ эһэнк дашларындан ибарэтдир. Варташен вэ Гутгашен зэлзэлэ очаглары исэ гранит типли консоле едилмүүш (бэркимиш) сүхурлардан ибарэтдир. Торпагын физики хассэсийн вэ кеоложи гурулушларынын охшарлығына, тектоник кэркинилеклэринэ көрэ, бу зэлзэлэ очаглары арасында „гоуумлуг“ мушаңидэ олуунур.

Торпаг ниссэчилэрийн рэгси сүр'эти үч дүстүр илэ ифадэ едилр. Алымыш емпирик дүстүрлардан бири Варташен зэлзэлэ очагларындан олан зэлзэлэлэра јаарлыцыр. Һэмийн дүстүр рэгсийн амплитуд вэ периодиуу, енинэ сејсмик далга үчүн магнетуданы еписентрал мэсафэ илэ элагэлэндирир.

АЗЭРБАЙЖАН ССР ЕЛМЛЭР АКАДЕМИЯСЫНЫН МЭРҮЗЭЛЭРИ  
ДОКЛАДЫ АКАДЕМИИ НАУК АЗЕРБАЙДЖАНСКОЙ ССР

ТОМ XXVI

№ 2

1970

### СТРАТИГРАФИЯ

УДК 551.7

Г. К. КАСИМОВА, Х. Ш. АЛИЕВ, Л. А. ПОРОШИНА

## О ГРАНИЦЕ ЙОРЫ И МЕЛА В ПОЛОСЕ ТЕНГИНСКО-БЕШБАРМАКСКОГО АНТИКЛИНОРИЯ

(Преображенено академиком АН Азербайджанской ССР А. А. Ализаде)

Вопрос перехода от юры к мелу и объем пограничных ярусов этих двух систем в азербайджанской части Большого Кавказа неоднократно затрагивался многими исследователями мезозойских отложений (К. И. Богданович, 1906; Н. Б. Вассоевич, 1938—1940, 1960; А. А. Ализаде, 1939; В. Е. Хани, 1950; В. Е. Хани, Э. Ш. Шихалибейли, В. А. Гроссгейм, 1951; Н. М. Касимова 1956, 1966; В. Е. Хани, А. Н. Шарданов, 1957; А. М. Шурыгин, 1959; Б. В. Григорьянц, Х. Ш. Алиев, 1960; А. Г. Халилов, 1965). Однако отсутствие достаточного палеонтологического материала не позволяло достоверно обосновать возраст слоев, расположенных на рубеже юры и мела. Поэтому указанные исследователи приходили к различным решениям и вопрос о положении границы до последнего времени оставался дискуссионным.

В настоящее время мы располагаем значительным микрофаунистическим материалом из зоны Тенгинско-Бешбармакского антиклинория, который позволяет уточнить контакт юры и мела в этой зоне.

Исследуемые отложения наиболее полно обнажены и палеонтологически охарактеризованы у сел. Угах.

Здесь отложения, залегающие несогласно на средней юре и связанные постепенным переходом с палеонтологически охарактеризованным берриасом, в нижней части выражены глыбовыми конгломератами, конгломерато-брекчиями, гравелитами и грубозернистыми песчаниками; выше по разрезу сменяются глинами и песчаниками серыми, зеленовато-серыми и бурыми. В верхней песчано-глинистой толще В. Е. Ханим была собрана моллюсовая фауна, среди которой Г. Я. Крымгольцем были определены белемниты — *Conobelus eoporphorus* Opp., *C. strongulus* Opp., *C. cf. gemmeloroi* Zitt., на основании которых вся эта толща пород, мощностью в 400 м была отнесена к титону.

Нашиими исследованиями в глинистых слоях пестроцветной толщи Угаха выявлена весьма своеобразная и богатая ассоциация фораминифер. Тщательный анализ особенностей развития и характера вертикального распределения этой фауны показал, что фораминиферы из этой толщи носят смешанный характер. Часть видов имеет весьма

широкое вертикальное распространение, встречаясь в отложениях верхней юры, берриаса, валанжина, а иногда и в более высоких ярусах нижнего мела. Среди них в количественном отношении преобладают разнообразные представители семейства *Lagenidae-Dentalina oligostegia* (Reuss), *D. communis* d'Orb., *Marginulina robusta* Reuss, *M. gracilissima* (Reuss), *Lenticulina infravolgensis* (Furss. et Pol.), *L. dilecta* Loeb. et Tapp. L., *münsteri* (Reuss), *Saracenaria pravoslavlevi* Furss. et Pol.

Эти виды хотя и указывают на тесную связь с юрской ассоциацией фораминифер, но из-за широкого вертикального распространения не могут играть решающей роли в определении возраста вмещающих пород.

Особый интерес для возрастного определения описанной толщи представляют виды,—*Glomospirella gaultina* (Berth.), *Glomospira subcharoides* Chalilov, *Verneulina neocomica* Mjatliuk, *Pseudoglandulina armamenta* (Chalilov), *Pseudolamarckina reussi* (Antonova), *Neobulimina aff. boliviniformis* Antonova et Kalugina, *Spirillina minima* Schacko, *Globospirillina mira* (Ghalilov), *Cl. condensa* Antonova, *Trocholina molesta* Gorb.

Все эти виды значительное развитие получили в покрывающих флишевых осадках берриаса. В то же время большинство из них входит в состав характерной берриасской ассоциации фораминифер Восточного Предкавказья, Северо-Западного Кавказа и Крыма.

Вид *Pseudoglandulina armamenta* (Chalilov) описан из берриасских отложений северо-восточного Азербайджана, Т. Н. Горбачик отмечает его в валанжине Крыма. *Clobospirillina conaensis* Antonov. широко представлена в берриасе и валанжине северо-восточного Азербайджана, Северо-Западного Кавказа и Крыма. Особого внимания заслуживает и вид *Pseudolamarckina reussi* (Antonova). Особи его, по материалам З. А. Антоновой, весьма обильны в берриасе Северо-Западного Кавказа, выделенного здесь в слой под одноименным названием. Этот вид также характерен и для берриаса Чечено-Ингушетии [4] и Крыма.

Характерной особенностью рассматриваемого микрофаунистического сообщества является также присутствие обильных планктонных фораминифер, среди которых значительным развитием пользуются *Globigerina conica* Jov. et Tril., *Cl. terquemii* Jov. et Tril. Эти виды описаны Е. Трифоновой и П. Йовчевой как титонские\*. В то же время подобные глобигеринны упоминаются С. В. Варламовой [4] берриасских отложениях Чечено-Ингушетии. Появление этих планктонных фораминифер в рассматриваемых отложениях, по всей вероятности, обусловлено берриасской трансгрессией, обеспечившей широкую связь бассейнов.

В пользу берриасского возраста пород свидетельствует и существенное различие, выявленное при сравнении вышеуказанной ассоциации фораминифер с таковой из отложений титонского возраста разрезов Кызылкая и Тагирджалчая. В этих разрезах титонское сообщество фораминифер представлено *Haplophragmoides nonioninoides* Mjatl., *Ammobaculites subaequalis* Mjatl., *A. haplophragmoides* Furss. et Pol., *Flabellamina jurassica* Mjatl., *Tristix suprajurassica* (Paalz.). Большая часть вышеперечисленных видов указывается исследователями в составе характерных комплексов титона Эмбенской области, Саратовского Поволжья и в ряде других областей Союза.

Результаты изучения фораминифер подтверждаются и данными мак-

\* Однаково авторы сообщили нам, что вмещающие их известняки в Северо-Западной Болгарии считаются титонским лишь по стратиграфическим соображениям.

фауны. В разрезе с. Угах А. Г. Халиловым и Ак. А. Ализаде [7] в верхах конгломератовой толщи собраны остатки неокомских ежей—*Cidaris punctatissima* Agars., а в песчано-глинистых отложениях *Punctaptichus imbricatus* Meuer, *Conobolus conicus* (Blainv.) и *C. eribignyanus* (Duv Jouve), которые также указывают на берриасских возраст этих слоев.

Несколько позднее в отложениях гюлехского оврага, охарактеризованных идентичным вышеописанному комплексом фораминифер, Х. Ш. Алиевым также обнаружена беррианская моллюсовая фауна—*Conobolus conicus* Blainv., *Berriasella ponica* Ret., *Hibolites prodromus* Schwetz., *Punctaptichus punctatus* Voltz. (определение А. Г. Халилова и Ак. А. Ализаде).

Сходные по литофациальному характеру и составу микрофауны отложения получили развитие и в других пунктах Тенгинского-Бешбармакского антиклинария: к окрестностям с. Чарах, по рекам Гильгильчай, Вельвелячай, а также на площади Кешчай-Сизань (скв. 1). Во всех указанных пунктах эти отложения связаны постепенным переходом с покрывающими карбонатно-терригенными осадками берриасса.

Вышеизложенные данные позволяют прийти к выводу, что рассматриваемые отложения, соответствуют лицам берриасского яруса.

## ЛИТЕРАТУРА

1. Ализаде А. А. О стратиграфическом положении халтанскої свиты. Труды геол. Ин-та АзФАН СССР, т. XV/63, 1939. 2. Антонова З. А., Шмыгина Т. А., Гиедица А. Г., Калугина О. М. Фораминиферы неокома и анта междууречья Пшеха-Убин (Северо-Западный Кавказ). Труды КФ ВНИИ, вып. 12, Изд. "Недра", М., 1964. 3. Григорьевич Б. В., Алиев Х. Ш. О переходе от юры к мелу на юго-восточном Кавказе. Изв. АН Азерб. ССР, серия геол. геогр. наук., № 1, 1960. 4. Фурсенко А. В. и Поленова Е. Н. Фораминиферы нижнего волжского яруса Эмбенской области (район Иnderского озера). Труды ВНИГРИ, вып. 49, Гостонтехиздат, 1939. 5. Хани В. Е., Шарданов А. Н. Геологическое строение северного склона юго-восточного Кавказа. Сб. "Мат.-лы по геологии северо-восточного Азербайджана". Изд. АН Азерб. ССР, Баку, 1957. 6. Халилов Д. М. Новые виды фораминифер валанжин-готеривских отложений северо-восточного Азербайджана. Изв. АН Азерб. ССР, серия геол. геогр., № 6, 1959. 7. Халилов А. Г. Стратиграфия нижнемеловых отложений юго-восточного окончания Большого Кавказа. Изд. АН Азерб. ССР, Баку, 1965. 8. Йовчева П., Трифонова Е. Титонские *Alobigerina* от северо-запада България. Труды верху геологии на България. Серия палеонтология, кн. III. Изд. на Българ. Акад. на науките. София, 1961.

Институт геологии

Поступило 30. IX 1968

Г. К. Гасымова, Х. Ш. Элиев, К. А. Порошина

Тэнки—Бешбармаг антиклинали зонасында Юрадан  
Тэбаширэ кечид мәсәләснә даир

## ХУЛАСӘ

Мүәллифләр Юра илә Тэбаширин сәрһәд зоналарындакы чөкүнүләрин микрофаунасыны тәдгиг едәрәк белә иәтичәјә кәлмишләр ки, өјрәнилән саһәдә берниас мәртәбәси орта Юра чөкүнүләринин үстүндә гејри-үйғун јатыр.

Тапылан фораминифер галыгларынын чоху берниас мәртәбәси чөкүнүләрини сәчиijәләндирir. Бу фораминифер галыглары Шәрги-Гафгаз габағы, Шимал-гәрби Гафгаз вә Крым саһәләриндә јаылмыш берниас јашлы фораминифер галыглары илә дә мугајисә едилмишdir. Мүәллифләр тәрәфиндән тапылмыш макрофауна галыглары да јухарыда гејд олунаш иәтичәни тәсдиg едир.

СТРАТИГРАФИЯ

УТК 551. 78. 13

Ад. А. АЛИЕВ, Л. И. АЛИЕВА

О РАСЧЛЕНЕНИИ И СОПОСТАВЛЕНИИ АКЧАГЫЛЬСКИХ  
ОТЛОЖЕНИЙ ЗАПАДНОГО АЗЕРБАЙДЖАНА

(Представлено академиком АН Азербайджанской ССР Ш. Ф. Мехтиевым)

На территории Западного Азербайджана отложения акчагыльского яруса пользуются весьма широким распространением; на полную мощность они представлены в западной части Аджиноурской области (Камыкайской и Кудбарекдагский разрезы), в пределах Междуречья Куры и Иори, на площадях М. и Б. Палантекиян, Молладаг и др. в юго-восточных районах рассматриваемой территории (Нафталан), а также вскрыты скважинами структурно-поискового бурения.

В вопросе расчленения акчагыльских отложений Западного Азербайджана мнения геологов расходятся. Одни исследователи (М. Л. Лачинян и К. А. Ализаде, 1933, А. А. Ализаде, 1945, К. М. Султанов и М. Г. Агабеков 1956, З. К. Кадырова, 1967 отложения акчагыльского яруса подразделяют на три части, другие (В. А. Сулин и Б. И. Султанов, 1929 г., А. А. Керимов, 1961, Ф. А. Ширинов и Ю. П. Баженов, 1962, А. Д. Султанов, 1968) при расчленении акчагыльских отложений рассматриваемой области придерживаются двухчленного деления. При этом, чаще всего к вопросу расчленения описываемых отложений вышеуказанные исследователи подходили с различных позиций: или основываясь на исследовании распределения палеонтологических (ископаемых) остатков по разрезу, или лишь изучая литологические особенности этих отложений, вследствие чего границы между подъярусами акчагыла проводились по-разному и носили условный, а также местный характер, не прослеживаясь за пределами исследуемой площади.

Не останавливаясь на рассмотрении существующих схем расчленения отложений акчагыльского яруса отметим, что нами в результате проведенного комплексного литолого-палеонтологического изучения этих отложений в пределах Западного Азербайджана обосновывается трехчленная разбивка акчагыла на самостоятельные подъярусы, с выделением в пределах каждого из них отдельных литологических горизонтов с характерными фаунистическими комплексами (рисунок 1).

Нами послойно изучены разрезы акчагыльских отложений на площадях Молладаг, Б. Палантекян, Боздаг, Камыкай и Нафталан, про-

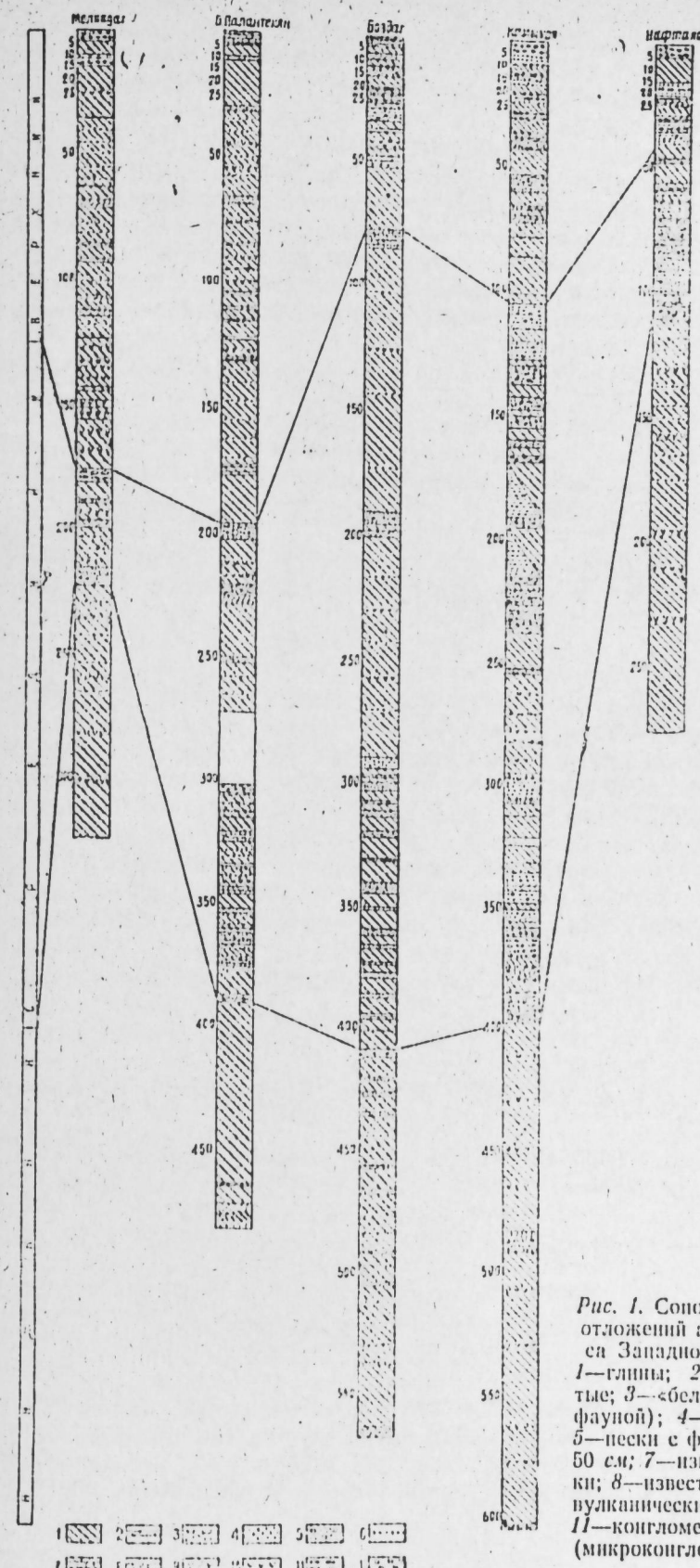


Рис. 1. Сопоставление разрезов отложений акчагыльского яруса Западного Азербайджана:  
1—глины; 2—глины мергелинты; 3—«белый пласт» (глина с фауной); 4— пески, песчаники; 5— пески с фауной; 6— пески до 50 см; 7— известияки, ракушники; 8— известияки до 50 см; 9— вулканический пепел; 10— глины; 11— конгломерат; 12— галечники (микроконгломераты, гравелинты).

слежены количественные и качественные изменения в составе моллюсковой фауны (биоценозов), а также характер осадков, содержащих эти палеонтологические формы не только в пределах одного района, но и по всей территории исследуемой области, определяющие смену условий обитания моллюсков и седиментации осадков в отдельные периоды геологической истории Акчагыльского бассейна.

Уточнение границ между отдельными подъярусами акчагыльских отложений, прослеживание их по всей территории исследуемого региона, позволили внести некоторые корректировки в вопросе изменения мощностей и литофаций акчагыльского яруса данной области. В данной работе приводится таблица мощностей и песчанистости подъярусов изученных нами разрезов акчагыльских отложений Западного Азербайджана.

Подъярусы Площади, разрезы	Нижний		Средний		Верхний		Общее по разрезу	
	Мощн., м	Песч., %	Мощн., м	Песч., %	Мощн., м	Песч., %	Мощн., м	Песч., %
Молладаг	103	2	47	21	175	7	325	7,3
Б. Палантекиян	92	1,5	191	13,4	197	5,5	480	8,0
Боздаг	158	5,7	330	16	77	20	565	13,4
Камыкая	206	2,4	291	33	105	13	602	19,0
Нафталан	172	2,9	65	38	40	30	277	15,0

Нижний акчагыл повсеместно представлен глинистой толщей с редкими маломощными прослойми песков, песчаников, редко известняков (Боздаг). Характерно для нижнего акчагыла присутствие прослоев вулканических пеплов, особенно в разрезе Нафталана. Исключение представляют разрезы нижнего акчагыла Молладага и Б. Палантекиян, в которых пеплы отсутствуют. Мощный пласт вулканического пепла характеризует кровельную часть нижнего акчагыла площади Нафталан. Кроме того, в описываемых отложениях отмечается и присутствие гипсоносных глин, за исключением разреза Б. Палантекиян.

В разрезе нижнего акчагыла можно выделить две характерные литологические пачки. В нижней части прослеживается глинистая пачка, представленная преимущественно слоистыми, полосчатыми, местами сланцеватыми глинами. В верхней половине появляются частые прослои маломощных песков и песчаников до 0,5 м. Глины становятся песчанистыми, неслоистыми. Пески дегритусовые, местами с включением галечек.

На пл. Боздаг, в разрезе нижнего акчагыла выделяется два горизонта: нижний и верхний. Первый из них мощностью 68 м представлен пачкой глин с маломощными прослойми песков, песчаников и известняков, толщиной до 50 см и одним прослоем вулканического пепла. Верхний горизонт (M—90 м) характеризуется преобладающей ролью известняков и песков, мощность которых заметно увеличивается соответственно до 1 м и 3 м. Из всех изученных разрезов нижнего акчагыла Боздагский разрез выделяется своей песчанистостью, в среднем около 6,0% (см. таблицу).

В Камыканском разрезе акчагыла появляются пласти конгломератов. Один из них мощностью 8,5 м залегает в средней части глинистой толщи нижнего акчагыла, условно разделяя его на две пачки. Мощность нижнего подъяруса изменяется от 92 (Б. Палантекиян) до 206 м (Камыкая).

В песчанистой части этих отложений встречаются мелкие представители видов *Cardium dombra* Andrus., *Avimactra subcaspia* (Andrus.), *Avim. tana* (A.A-Z et Petrova), *Avim. gedroitzii* Koles., *Potamides caspius* Andrus., *Potamides* sp., *Clessiniola utvensis* (Andrus.).

Отложения среднего акчагыла в пределах рассматриваемой территории пользуются широким развитием и отличаются большим разнообразием, претерпевая резкие фаунистические изменения. Средний подъярус представлен песчано-глинисто-известняковой литофацией. Исключение составляют разрезы Молладаг и Камыкая, где известняки не встречаются.

Переход от нижнего акчагыла к верхнему характеризуется резкой сменой глинистых осадков песчаными. В подошве среднего акчагыла Молладаг залегает 7-метровых песчаный пласт с фауной и включением галечек. На пл. Камыкая средний подъярус начинается мощной (35 м) песчано-галечниковой пачкой и т. д. Весьма заметно увеличивается количество и мощность песчаных прослоев. Преобладающую роль приобретают и карбонатные породы (известняки-ракушки), а в ряде разрезов и грубообломочные породы. Песчанистость среднего подъяруса доходит до 38% (Нафталан), мощность до 330 м (Боздаг).

По сравнению с нижнеакчагыльскими слоями, отложения среднего подъяруса фаунистически лучше охарактеризованы. В связи резким изменением характера осадков, однообразная и мелкая нижнеакчагыльская моллюсковая фауна, приспособливаясь к новым благоприятным условиям, расцветает, в результате чего появляется обильное количество разнообразных видов. В низах среднего акчагыла встречаются представители родов *Potamides*, *Clessiniola*, и подрода *Avimactra*, а в верхах родов *Cardium*, *Avicardium*. Кроме того, встречаются и остатки известковой водоросли *Acicularia italica*. Частая смена моллюсковой фауны позволяет нам проследить этапность ее развития в среднеакчагыльском бассейне. Из характерных для среднего подъяруса форм моллюсковой фауны следует указать на *P. comroicus* Alz., *P. sumbarensis* Koles. *P. azerbaijanicus* Alz., *P. ex. gr. caspius* Andrus., *P. detormatus* Alz. *P. levus* sp. n., *Potamides* sp., *Clessiniola utvensis* (Andrus.), *Cl. intermedia* (Andrus.) *Cl. polajaevi* (Andrus.), *Avim. subcaspia* (Andrus.), *A. karabugasica* (Andrus.) *Avim. nazarlebi* (Alz.), *Avim. inostranzevi* (Andrus.). *Avim. acutecorinata* (Andrus.) *Avimactra ovalia* sp. n. *C. ex. gr. dombra* (Andrus.), *C. konshini* Andrus., *C. novakovskii* Andrus., *C. ovalium* Alleva, *C. obongum*, Alleva, *Avic. kamischense* (usp.) *Avic. nikitini* (Andrus.), *Avic. radiiferum* (Andrus.), *Avic. trinacria* (Andrus.) и др.

Средний акчагыл по литологическим особенностям подразделяется на 2 горизонта: нижний и верхний. Первый из них представлен почти повсеместно песчано-глинисто-известковой литофацией. Во втором горизонте преобладают глины, песчанистость заметно уменьшается и исчезают прослои известняков. На Б. Палантекияне нижний горизонт, мощностью 73 м, выражен чередующимися слоями глин, песков, песчаников, известняков и прослойками вулканических пеплов. Мощность песков, равномерно распространенных по разрезу, преимущественно, не более 50 см, некоторые более 1 м. Известняки также равномерно распределены (M до 50 см). В кровельной части горизонта залегает пласт мактрового ракушника. Верхний горизонт (118 м) характеризуется доминирующей ролью глин, отсутствием пеплов, известняков: мощность песков увеличивается, пески грубозернистые, с галькой, появляются конгломераты.

Аналогичные два горизонта выделяются на ил. Боздаг, мощностью соответственно 117 и 212 м. В нижнем горизонте пеплы отсутствуют. Мощность песчаных и известковистых прослоев здесь увеличивается до 2–4 м. В кровле верхнего глинистого горизонта залегает „белый пласт“, состоящий из раковин разных видов рода *avicardium*. В разрезе Нафталана нижний горизонт (32 м) песчано-известняковый; глины почти отсутствуют. Верхний (33 м)—глинистая пачка с маломощными прослойками песков и известняков и т. д.

Отложения верхнего подъяруса имеют несколько ограниченное распространение. Фауна приобретает более прибрежный характер. Изменения наблюдаются и в составе моллюсковой фауны. Богатая среднеакчагыльская фауна сильно сокращает свой видовой состав, почти исчезают все виды рода *Potamides* (за исключением *P. caspicus* Andrus), появляются своеобразные новые виды родов *Cardium*, *Avicardium* (*C. konfuschevskii* Aiz., *C. aditi* sp., *C. convexa* sp. n., *C. rarus* sp. n., *Avic. alatoforme* sp. n., *Avic. longum* sp. n. и др.), и представители подродов *Avimactra*, *Replidacna* (*Avim. tenuista* A. A.-Z. et Kabakova) *Avim. gibba* (A. A. Z. et Kabakova), *Avim. partula* (Aiz.), *Replidacna*, sp. и также характерные пресноводные формы *Avatraria*, *Pyrgula*, *Valvata*, *Micromelania*, *Melanoides*, *Lreissensa*, *Theodoxus*, *Pomatias*, *Planorbis*, *Unto*, *Anodonta* и др. Все это позволяет нам выделить верхний акчагыл как самостоятельный подъярус и провести отбивку границы последнего со средним акчагылом.

Верхний подъярус литологически отличается от среднего и сравнительно меньшей песчанистостью (см. таблицу). Контакт между средним и верхним подъярусами отбивается или по мощному (6–9 м) пласту грубозернистого песчаника (Б. Палантекян, Камыкай), или по конгломерату (Молладаг), залегающему в кровле среднего подъяруса. Переход в верхний акчагыл повсеместно характеризуется появлением глинистой пачки с характерной фауной. Разрез верхнего подъяруса венчается на Б. Палантекяне и Боздаге мощным пластом известняка (4 м), на Молладаге, Камыкай и Нафталане—конгломерато-галечниковой пачкой. Мощность верхнего акчагыла в северо-западном направлении по области увеличивается от 40 (Нафталан) до 197 м (Б. Палантекян).

Верхний акчагыл также подразделяется на две части (горизонты): нижняя—глинистая, верхняя—песчано-глинистая, местами с преобладающей ролью известняков-ракушняков (Б. Палантекян, Боздаг) и галечников (Камыкай, Нафталан). Мощность нижней глинистой пачки в пределах 25–62 м. На Молладаге и Боздаге она содержит прослон вулканического пепла. Мощность верхнего подъяруса колеблется от 41 до 170 м.

#### ЛИТЕРАТУРА

1. Ализаде К. А. Акчагыльский ярус Азербайджана. Изд. АН Аз. ССР, 1954.
2. Каликова З. К. Стратиграфия и микрофауна акчагыльских отложений восточной части Курильской депрессии и сопредельных с нею районов. Автореф. канд. дисс., 1967. З. Керимов А. А. Геологическое строение и перспективы нефтегазоносности междуречья Дашбатачай и Турианчай (неогеновые предгорья южного склона Кавказа). Автореф. канд. дисс., 1961, 4. Султанов К. М., Агабеков М. Г. К стратиграфии кайнозойских отложений Западного Азербайджана. Труды Ин-та геологии АН Азерб. ССР, т. XVIII, 1966. Б. Шарифов Ф. А., Бажиров Ю. Н. Геологическое строение предгорий южного склона Большого Кавказа. Азершер, 1962.

Институт геологии

Поступило 23. V 1969

Ад. А. Элиев, Л. И. Элиева

Гәрби Азәрбајҹаның Акчагыл чөкүнүләриниң  
бөлкүсүнө ва мугајисәсинэ даир

#### ХҮЛӘСЭ

Мәғаләдә Гәрби Азәрбајҹаны Молладаг, Б. Палантекән, Боздаг, Камыгаја ва Нафталан рајонларында иштишар таимыш Акчагыл чөкүнүләриндән бәһе едилишишdir.

Мүәллифләр көстәрилән рајонларда апардыглары кениш литологи ва стратиграфик (макрофаунистик анализ) тәдгигатларын иәтичәсииң әсасланыраг. Гәрби Азәрбајҹаны Акчагыл чөкүнүләрини үч йарым мәртәбәјә бөлмүш ва һәр йарыммәртәбә дахилиндә ики литологи йорizonat айырмышlar.

Алт йарыммәртәбә литологи чәһәтдән килләрдәц ибарәт олуб, зәиф ишкишаф етмиш моллюска фаунасы илә характеристиз олунур.

Орта йарыммәртәбә гумдаши, әһәнкдаши, гум ва килләрни нөвбәләшмәсендән ибарәтдир. Чөкүнүләр зәнкүн моллюска фаунасына маликдир. Белә зәнкүн фауна Уст йарыммәртәбә чөкүнүләрниңдә раст кәлмир. Бу һал чөкүнүләрни литологи тәркибинин дәјишмәси илә изән едилир. Бунула Јанашы, мүәллифләр айры-айры йарыммәртәбләрдә Акчагыл чөкүнүләрини галинылыгының ва гумлулуғуның дәјишмәси, һагында да мә'лumat верирләр.

## ГЕОЛОГИЯ

УДК 04. 127

М. М. ГУММАТОВ, Р. Ю. ЮСИФОВ, Д. И. ЭФЕНДИЕВ

**ОСОБЕННОСТИ ИЗМЕНЕНИЯ МОЩНОСТЕЙ, ЛИТОФАЦИИ  
И КОЛЛЕКТОРСКИХ СВОЙСТВ ОТЛОЖЕНИЙ  
КИРМАКИНСКОЙ СВИТЫ ЮГО-ВОСТОЧНОЙ ЧАСТИ  
АПШЕРОНСКОГО АРХИПЕЛАГА**

(Представлено академиком АН Азербайджанской ССР А. А. Якубоевым)

В исследуемом районе отложения КС в водовой зоне поднятий размыты до линз КС и ограничены прямолинейными полосами вышележащей свиты НКП и являются одной из главенствующих нефтегазоносных свит нефтяных месторождений Апшеронского архипелага.

Кирмакинская свита представляет собой одиородную пачку чередующихся мелкозернистых песков и песчаников, глины и глинистых песков. На площади Нефтяные Камни большое количество прослоев песка имеется в нижней части свиты.

Разрез кирмакинской свиты по площадям Грязевая сопка, о. Жилой, Камни Григоренко отличается от разреза кирмакинской свиты площади Нефтяные Камни наличием серии песчаных пластов в средней части ее.

В пределах поднятия Камни Григоренко (рис. 1) мощность кирмакинской свиты изменяется в пределах 200—350 м и в среднем составляет 270 м.

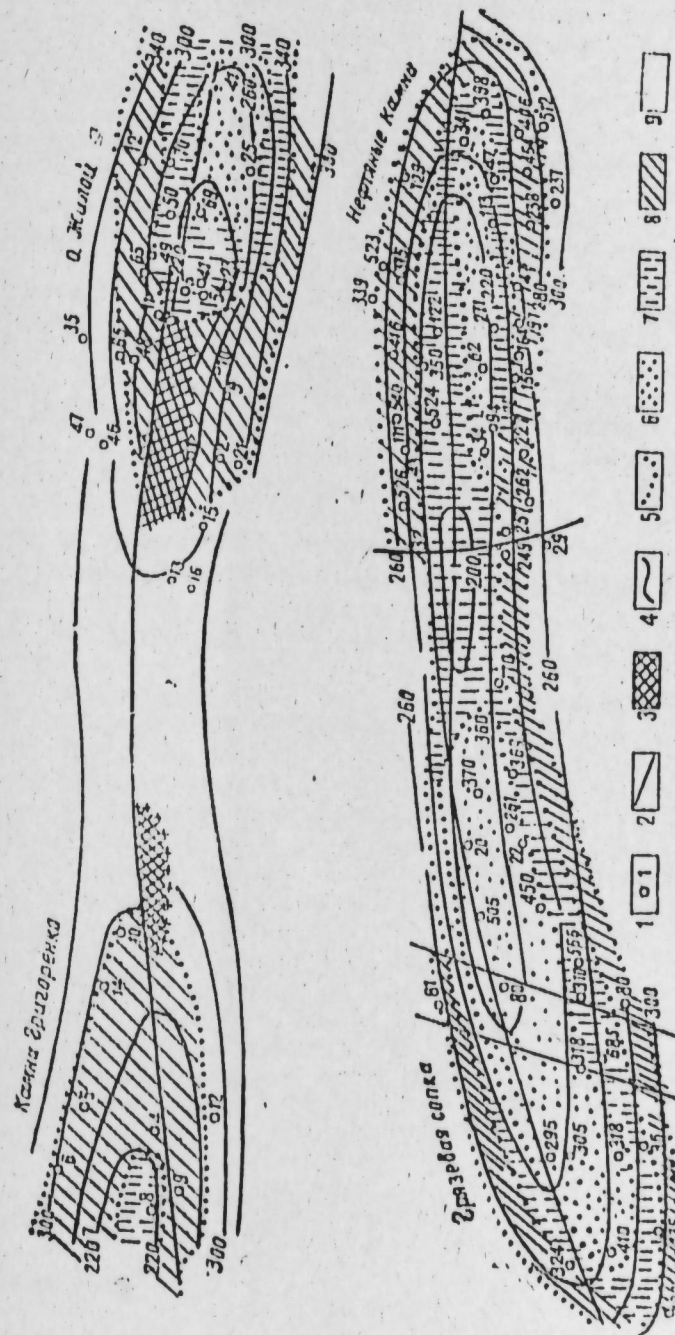
Из карт фациальных мощностей видно, что минимальные мощности регистрируются в районе расположения скв. № 4, 8 (200 м). В сторону юго-восточного погружения и к крыльям значение мощностей увеличивается. Отложения продуктивной толщи в районе расположения скв. № 1 размыты до линз кирмакинской свиты.

Процент песчанистости разреза изменяется от 25 до 40% и в среднем равен 32%. Повышенное содержание песчанистости (40%) соответствует участку расположения минимума мощностей. Изолинии мощности и песчанистости по структуре проходят очень плавно.

Гранулометрический анализ показывает, что алевропесчаные породы, слагающие разрез КС (по скважине № 9), представлены субалевритом, алевритом, песчаноглинистым алевритом, алевритово-глинистыми.

Содержание карбонатности колеблется от 6,3 до 8,3%. Абсолютная пористость отложений КС составляет 26%.

На месторождении о. Жилой (рис. 1) мощность КС изменяется в пределах 200—300 м и в среднем равна 270 м. Изолинии мощности проектируются плавно. Минимальное значение мощности наблюдается на воде



1 — Номер скв.; 2 — тектонич. нарушения; 3 — зона размыва отложений КС; 4 — изолинии мощности; 5 — содерж. песчанистости > 50%; 6 — содерж. песчанистости 40—50%; 7 — содерж. песчанистости 30—40%; 9 — гипсистость

в районе расположения скважин №№ 17, 31, 54, 57, 60. На крыльях и юго-восточном погружении мощности увеличиваются.

Рассмотрение карты равной песчанистости КС показывает, что песчанистость разреза по структуре изменяется закономерно. Так, от свода к крыльям содержащие ее уменьшаются от 40 до 25 %. Изолинии равной песчанистости в районе расположения скважин №№ 25, 41, 58, 54, 69 образуют по простирации пласта заливообразные изгибы.

По гранулометрическому составу породы представлены в основном алевритовыми разностями: пески и песчаники — 8,47 %, алевролиты — 62,4, хлоритолиты — 4,1, суглиники — 21,0, не установленные типы пород — 4,1 %. По площади хорошо отсортированные породы распространены по северо-восточному крылу, в котором песчаная фракция достигает в среднем до 20,10 %, алевритовая — 53,3 %, а глинистая фракция — 26,6 %.

По юго-западному крылу наблюдаются примеси песчаной фракции 2,9 %, алевритовая фракция достигает до максимального значения 70,9 %, при заметном количестве глинистой фракции 32,8 %.

По площади минимальное значение карбонатности фиксируется по северо-восточному крылу, которое изменяется от 3,0 до 11,9 %. На юго-западном крыле содержание карбонатности алевропесчаных пород колеблется в пределах от 5,7—20,7 %, в среднем равно 11,0 %.

Пористость претерпевает некоторые изменения по площади. Так, по северо-восточному крылу пористость изменяется от 21,7 до 27,2 %, в среднем равна 24,6 %, а по юго-западному крылу в пределах от 11,1—30,0 %, в среднем равно 22,2 %.

Большинство определений проницаемости находится в пределах 14—250 мдарси. Основное число определений относится к пределу 66—250 мдарси.

На месторождении Грязевая сопка мощность КС изменяется в пределах от 185 до 390 м (см. рис. 2).

Изолинии мощности по северо-восточному крылу протягиваются плавно, без образования резких изгибов. Некоторые отклонения отмечаются в районе скважин №№ 435, 780 по северо-западному погружению юго-западного крыла, где уменьшаются мощности. Однако эти причудливые очертания изолиний не нарушают общей закономерности увеличения мощности от свода к крыльям складки.

Изменение песчанистости в кирмакинской свите в основном происходит в пределах 30—50 % и в среднем равно 40 %. На фоне этих значений повышенные величины песчанистости (50 %) фиксируются в районе скважин № 79, 305, 686. Минимальные значения содержания песков в разрезе (35 %) отмечаются на стволах крыльях и погружениях структуры.

По данным гранулометрического анализа в разрезе кирмакинской свиты отмечаются следующие типы пород: пески и песчаники — 37 %, алевролиты — 50 %, суглиники — 13 %. В составе алевропесчаных пород преобладает фракция 0,1—0,01 мм (42,63 %), песчаная и глинистая фракции содержатся почти в одинаковом количестве, которые соответственно равны 27,87 и 29,5 %.

По северо-восточному крылу по гранулометрическому составу и в разрезе КС песчаная фракция (0,1 мм %) достигает до 41,75 %, алевритовая фракция — 34,47 %, глинистая — 23,55 %, а по юго-западному тектоническому крылу песчаная фракция составляет — 25,4 %, алевритовая — 46,64 %, глинистая фракция — 27,96 %.

Наиболее содержание карбонатов наблюдается в алевритовых породах (8,9—10,7 %). В песчаных породах содержание карбонатности изменяется в пределах от 3,3 до 7,6 %. Показатели открытой пористости для алевропесчаных пород по площади Грязевая сопка изменяется в пределах 19,2—31,9 %, в среднем составляет 27,0 %.

По двум образцам проницаемость алевритовых пород изменяется от 61 до 89 мдарси, в среднем составляет 75 мдарси.

По характеру и литологии нефтенасыщенности кирмакинскую свиту в районе расположения скважин № 295, 305 и 410 можно расчленить на горизонты КС-1, КС-2.

Мощность кирмакинской свиты в пределах площади месторождения Нефтяные Камни от свода к периферии увеличивается (200—300 м), а песчанистость разреза, наоборот, уменьшается (см. рис. 2).

Песчанистость свиты по всей структуре, в основном, колеблется в пределах 30—50 %.

По каротажной диаграмме нижняя нефтенасыщенная часть свиты разделяется профилем глини на два самостоятельных объекта КС-1 и КС-2.

Содержание карбонатов в коллекторах КС изменяется от 2,9 до 20,3 %, составляя в среднем 11,2 %.

Пористость коллекторов КС изменяется от 16,4 до 33,1 %, составляя в среднем 25,5 %.

Проницаемость коллекторов КС изменяется в пределах 13—356 мдарси.

Сравнительный анализ изолиний кирмакинской свиты показывает, что с северо-запада на юго-восток, в направлении регионального погружения пластов мощность ее изменяется незначительно.

В этом направлении происходит увеличение содержания песчанистости. Это обусловливается самой методикой определения песчанистости по каротажной диаграмме, которая для глинистых отложений по существу отражает содержание не только песков, но и алевритов.

По гранулометрическому составу алевропесчаных пород, песчаная фракция (0,1 мм) преобладает на поднятиях Камни Григоренко и Грязевая сопка, а на площади о. Жилой и Нефтяные Камни песчаная фракция содержится почти в равном количестве (12,2—12,59 %) и является подчиненной. Интересно отметить, что алевритовая (55,0—54,4 %) и глинистая (32,8—32,96 %) фракции тоже содержатся в одинаковом количестве.

Наименьшее количество глинистой фракции содержится на площади Грязевой сопки. В связи с повышенным содержанием песчаной фракции, на площадях Камни Григоренко и Грязевая сопка встречается меньшее содержание общей карбонатности. На площадях, характеризующихся повышенным содержанием алевритовой фракции (о. Жилой и Нефтяные Камни), наблюдается сравнительно повышенное содержание общей карбонатности.

Показатель открытой пористости пород, характеризующий алевропесчаные породы, на площади Грязевая сопка в среднем составляет 31,9 %, а на площадях Камни Григоренко-Нефтяные Камни в среднем равен 26,0 %.

Хорошо проницаемые породы — коллекторы в разрезе КС отмечены на площадях о. Жилой и Нефтяные Камни, а на остальных площадях в разрезе КС встречаются слабопроницаемые породы-коллекторы.

Несмотря на сравнительно низкие показатели проницаемости пород, кирмакинская свита на площади Грязевая сопка обладает достаточной емкостью, нефтенасыщенностью для осуществления разработки этого месторождения.

Изменение литотого-фаунистического состава пород кирмакинской свиты в пределах антиклинальной зоны с северо-запада на юго-восток указывает на то, что разрез нижнего отдела ПГ юго-восточнее месторождения Нефтяные Камни на установленных сейморазведкой погребенных антиклиналях, содержит в достаточном количестве породы-коллекторы, в которых скапливается нефть и газ промышленного значения.

## ЛИТЕРАТУРА

1. Алиханов Э. Н. Нефтяные и газовые месторождения Каспийского моря. Азернефтешр, 1964. 2. Мелик-Пашаев В. С. Геология морских нефтяных месторождений Апшеронского архипелага. Гостоптехиздат, 1959. 3. Самедов Ф. И. Нефтяные Камины. Азеришр, 1959.

Институт геологии

М. М. Ымматов, Р. Я. Юсифов, Д. И. Эфандиев

Абшерон архипелағынын чәнуб-шәрг һиссәсіндә Гырмаку дәстәсінин галынылығының дәјиши мәссиәттесінде, литофасијасы вә коллектор хассәләри

## ХҮЛӘСӘ

Структур вә кәшфијјат гүјуларындан көтүрүлмүш чохлу сүхур нүкүнәләринин тәдгиги вә каротаж диаграмларынын мұғајисәси көстәрілән жатагларда Гырмаку дәстәсінин галынылығының дәјиши мәссиәттесінде даир, литофасиал вә коллектор хүсусијјәтләри ашқар етмәјә, елачә дә саһа вә кәсилиш үзрә бир сырға гапунаујгуилуглар мүәжжәнләшdirмәјә имкан бермишdir.

Абшерон архипелағынын чәнуб-шәрг һиссәсіндә Гырмаку дәстәсінин галынылығы, литофасиал тәркиби вә коллектор хассәләринин дәјиши мәссиәттесінде кечирәркән айдынлашдырылыштыры, Гырмаку дәстәсінин галынылығы шимал-гәрәп — чәнуб-шәрг истиғаматтә чох аз дәјиши. Бундан башга, Григорјенко — Нефт дашлары антиклинал зонасынын регионал батымы үзрә гумлулуг хејли артыр.

Григорјенко дашлары вә палчыг сопкасы гырышыгларында гранулометрик тәркибә көрә алеврогум сүхурларда гум фраксијасы үстүнлүк тәшкүл етди жаңада (70,1 м), Жилој адасы вә Нефт дашлары саһәләринде олунур.

Алеврит фраксијасынын чохлуг тәшкүл етди саһәләрдә (Жилој адасы, Нефт дашлары) үмуми карбонатлылығыни иисебәтән артмасы мүшәнидә олунур.

Жилој адасы вә Нефт дашлары саһәләринде Гырмаку дәстәсінин кәсилишинде жаңы кечиричи коллекторлар, башга саһәләрдә исә зәниф кечиричи коллекторлар раст кәлир.

Поступило 14. IV 1969

АЗЭРБАЙЧАН ССР ЕЛМЛӘР АКАДЕМИЯСЫНЫН МӘРҮЗӘЛӘРИ

ДОКЛАДЫ АКАДЕМИИ НАУК АЗЕРБАЙДЖАНСКОЙ ССР

ТОМ XXVI

№ 2

1970

## ПОЧВОВЕДЕНИЕ

УДК 631.46 (470-44)

Т. С. ДЖАФАРОВА

## ГРУППОВОЙ СОСТАВ ГУМУСА ВЫСОКОГОРНО-ЛУГОВЫХ ПОЧВ МУРОВДАГСКОГО ХРЕБТА

(Представлено академиком АН Азербайджанской ССР Г. А. Алиевым)

О природе и составе гумуса высокогорно-луговых почв имеются очень ограниченные данные (И. В. Александрова, 1951, Н. И. Иловайская, 1959, И. А. Ассинг, 1960, А. П. Дегтярева, 1960, С. А. Алнева, 1964, 1966 и др.).

В целях изучения закономерностей процесса гумусообразования в высокогорьях нами были изучены альпийские почвы Муровдагского хребта Малого Кавказа.

В связи с резким колебанием высот, расчлененностью рельефа, климатическим режимом, типом растительности и характером почвообразующих пород альпийский пояс подразделяется на верхнеальпийский и нижнеальпийский. В верхнеальпийском поясе на высоте 2800—3300 м над ур. моря распространены примитивные, маломощные, сильно скелетные горно-луговые почвы; в нижнеальпийском — 2500—2800 м над ур. моря развиты горно-луговые рыхлодерновые гумусированные почвы. По морфологическим и физико-химическим свойствам горно-луговые альпийские почвы довольно разнообразны: почвенный поглощающий комплекс их не насыщен осаждениями почти по всему профилю, они отличаются высоким содержанием гумуса (9—25 %) в поверхностных горизонтах, с глубиной количество гумуса резко уменьшается. По качественному составу гумуса описываемые почвы также довольно разнородны. Состав гумуса определялся по схеме И. В. Тюрина в модификации В. В. Пономаревой (1957). В зависимости от накопления и интенсивности разложения растительных остатков в этих почвах содержание углерода колеблется в верхних горизонтах от 7,3 до 14,3 %, а в нижних — 3,4—7,9 % (таблица). В примитивных горно-луговых альпийских почвах, формирующихся под покровом скально-осыпной растительности, количество вещества, извлекаемых спирто-бензольной смесью (воск, смолы, жиры, и др.) не превышает 6 %.

Для качественного состава гумуса характерна группа гуминовых кислот, в составе которых преобладают бурые гуминовые кислоты (I фракция). В верхних горизонтах количество их составляет больше 30 % от общего углерода. Фракция истинно гуминовых кислот (2 фракция), связанная с кальцием, незначительна и составляет всего 1,7 %. Содержание фульвокислот достигает 29 %. Фульвокислоты связаны в основном с подвижными алюминиатными формами гидроокисей Al и отчасти Fe..., что,

Групповой состав гумуса высокогорных альпийских почв южного склона Муровдагского хребта (% от общего С почвы)

№ разре- за	Почва и высота местности	Глубина, с.и.	С общий	С воско- смол.	С декаль- цинат-	Гуминовые кислоты			Фульвокислоты			Нераст- ворим. остат.	С. г. к. С. ф. к.		
						1	2	сумма	1	2	сумма				
1	Горно-луговая примитивная, 3500—3300 м над ур.-м.	0—8	10,3	5,9	0,16	29,0	1,7	20,7	26,3	2,6	28,9	31,4	1,10		
2	Горно-луговая рыхло-дерновая I слаборазвитая	0—12 12—25	14,3 4,1	6,7 8,9	0,21 0,28	15,0 6,6	1,4 0,9	16,4 7,5	28,3 30,8	1,0 1,9	29,3 32,7	23,2 29,1	0,56 0,23		
3	Горно-луговая рыхло-дерновая II слаборазвитая, 3300—2800 м над ур. м.	0—14 14—33	7,3 3,4	9,9 12,4	0,26 0,34	14,5 6,1	0,8 0,3	15,3 6,4	32,4 34,9	0,4 0,8	32,8 35,7	23,6 30,1	0,49 0,18		
4	Горно-луговая рыхло-дерновая	0—6 6—18	10,3 7,9	7,4 8,9	0,29 0,32	18,9 0,5	1,8 0,5	20,7 35,1	31,1 35,1	1,2 1,2	32,3 36,3	26,5 21,0	0,64 0,26		
5	Горно-луговая рыхло-дерновая	0—10 10—32	9,0 5,2	7,2 7,8	0,16 0,18	16,9 10,2	0,7 1,0	17,6 10,2	27,5 40,8	1,7 1,7	29,2 40,3	29,7 21,0	0,60 0,25		
6	Горно-луговая рыхло-дерновая слаборазвитая, 2800—2500 м над ур. м.	0—8 8—25	8,9 5,1	7,7 9,8	0,14 0,21	17,7 12,0	1,0 0,7	18,7 12,7	29,8 33,9	1,8 2,9	31,6 36,8	29,7 16,2	0,60 0,34		

как отмечал И. В. Тюриин (1951), характерно для субальпийских и горнотундровых почв. Количество нерастворимого остатка (гумина) составляет 31,4% (непосредственные определения). По отношению «С» гуминовых кислот к «С» фульвокислот можно отнести эти почвы к гуматному или гуматно-фульватному типу (таблица).

В отличие от примитивных горно-луговых почв в составе гумуса горнолуговых рыхлодерновых слаборазвитых почв, формирующихся под покровом разнотравно-мятликовых лугов (таблица, разр. 2 и 3) преобладает группа фульвокислот, образование которых происходит в условиях довольно благоприятных для гидролитического и окислительного разложения органических остатков. Вглубь по профилю содержание фульвокислот повышается, что указывает на увеличение их подвижности.

Из этого следует, что гумусовые вещества, образующиеся из опада мятликовых лугов, в условиях средней части альпийского пояса содержат больше подвижных фульвокислот и агрессивность воздействия их на минеральную часть будет большая. Гуминовые кислоты образуются здесь в основном только в перегнойно-аккумулятивном горизонте.

Ниже по профилю содержание их резко падает от 7,5 до 4%. Фракция I-я составляет в верхнем горизонте 15%, т. е. почти в два раза меньше, чем в примитивных горно-луговых почвах. Негидролизуемый остаток соответственно увеличивается с глубиной. Такое распределение гуминов указывает на преобладание интенсивного разложения подземного опада над надземным опадом травянистого покрова.

Различия в составе и характере накопления гумусовых веществ в этих почвах особенно подчеркиваются отношением «С» гуминовых кислот к «С» фульвокислот, которые почти в два раза меньше, чем в примитивных почвах и с глубиной еще больше суживаются. Такое отношение «С» гуминовых кислот к «С» фульвокислот, по-видимому, связано с биохимическим составом растительного опада и более теплым и влажным климатом средней части альпийского пояса.

Групповой состав горно-луговых рыхлодерновых почв, развитых под белоуссово-мятликовыми лугами (разр. 4, 5, 6) нижней части альпийского пояса, отличается некоторым увеличением суммы растворимых фракций по сравнению со слаборазвитыми рыхлодерновыми почвами. Здесь также преобладают фульвокислоты, а количество гуминовых кислот уменьшается от верхних горизонтов к нижним.

Содержание углерода в рыхлодерновых почвах варьирует от 5,1 до 10,3%, которое резко уменьшается вниз по профилю. Гуминовые кислоты представлены в основном первой фракцией, количество которой также падает с глубиной: собственно-гуминовых кислот (фракция 2) здесь почти в 12—14 раз меньше, чем бурых гуминовых кислот, шестикратно гуминовых кислот 1,8—0,5%. В нижних горизонтах иногда наблюдаются только следы гуминовых кислот, прочно связанных с Са. В группе фульвокислот наибольший удельный вес занимает первая фракция (27,5—40,8%), количество которой заметно повышается с глубиной. Относительное увеличение фульвокислот вниз по профилю, по-видимому, связано с выщелачиванием их атмосферными осадками из верхних горизонтов почв. Фульвокислоты, находящиеся в комплексе с гуматами кальция (фракция 2), содержатся в очень незначительном количестве, а в нижних горизонтах иногда даже отсутствуют. Относительное и абсолютное увеличение фульвокислот в составе гумусовых веществ горно-луговых рыхлодерновых почв проявляется в величинах отношения «С» гуминовых кислот к «С» фульвокислот, колеблющихся в пределах от 0,6 в верхних горизонтах до 0,3— в нижних.

На долю негидролизуемого остатка здесь приходится около 30%, в состав которых по И. В. Тюрину (1951) и М. М. Коноповой (1963) входят

не только продукты старения и уплотнения гуминовых яиц, но и полуразложившиеся растительные остатки, которые обычно богаты горно-луговые почвы альпийского пояса.

Из приводимых аналитических данных видно, что групповой состав гумуса в почвах альпийского пояса довольно разнообразен и зависит от биохимического состава растительного органического вещества, поступающего на поверхность почв, характера продуктов его разложения и гидротермических условий.

### Выводы

1. Наименьшее количество фульвокислот наблюдается в горно-луговых примитивных почвах; оно постепенно увеличивается в слаборазвитых рыхлодерновых, а затем в рыхлодерновых горно-луговых почвах.

2. Увеличение содержания фульвокислот в нижних горизонтах указывает на их значительную подвижность.

3. Высокое содержание гуминовых кислот в горно-луговых примитивных почвах, возможно, связано с конденсацией и уплотнением молекул фульвокислот в условиях более сурового климата.

### ЛИТЕРАТУРА

1. Ассиг Н. А. Особенности гумусообразования в горных почвах Северного Тянь-Шаня. «Почвоведение», № 12, 1960.
2. Александрова И. В. Процессы гумусообразования в некоторых горных примитивных почвах. «Почвоведение», 1951, № 10.
3. Алиев С. А. Органическое вещество и плодородие почв Азербайджана, Азербиянш, 1964.
4. Алиев С. А. Условия накопления и природа органического вещества почв. Баку, 1966.
5. Дегтярев Л. П. Состав гумуса горно-луговых и горно-лугово-степных почв Кедабекского района Азерб. ССР. «Изв. АН Азерб. ССР, серия Biol. и мед. наук», 1960, № 6.
6. Иловайская Н. Н. Органическое вещество основных типов почв Таджикистана. «Почвоведение», № 8, 1959.
7. Колонова М. М. Органическое вещество почвы. Наука, М., 1963.
8. Пономарева В. В. К методике изучения состава гумуса по схеме И. В. Торина. «Почвоведение», № 8, 1957.

Институт  
почвоведения и агрохимии

Поступило 15. III 1968

Т. С. Чәфәрова

### Муровдағ силиклаттар али өмән торнагларында һумусун фракцион тәркиби

### ХҮЛАСӘ

Тәдгиг етдијимиз әразидә али түршагының өмән торнаглары дәнис сөвијјәсіндән 2500—3500 м жүксеңде јајылмышидыр. Бурада ибтидан даг-өмән, көвәк чимли даг-өмән вә зәнф инициаф етмиш даг-өмән торнагларының јарымтиләри мөвчуддур. Һәмниң јарымтиләр бир сыра физики-кимјөві хассәләрина көрә бир-бириндән хејли дәрәчәдә фәргләннір. Бу фәрг онларын һумус тәркибинин тәһлилиндә дә ашикар едилмінди. Мұхтәлиф отөртуқлу биткиләр алтында әмәлә қөлән али түршагының даг-өмән торнагларының һумус тәркибидән фәрг, һәр ил торнаг профилинде (көкләр) вә сатында тоiplаnan (јерүстү һиссә) өлү битки галыгларының биокимјөни тәркиби вә چүрүмә просесинин баш вердији һидротермик шәркитлә изаң олунур. Шубәнен ки, бурада چүрүмә мән-сулларының характеристикаларында дә мүөйжөн әнәмийжәт көб етмир. Бела ки, ибтидан даг-өмән торнагларында һумин түршуларының үстүнлүгү мүшәнилә олунур. Фулютуршуларын мигдары көвәк чимли даг-өмән торнагларына дөгрү тәдриимән артараг 53%-ә чатыр.

Ибтидан даг-өмән торнагларының һумус тәркибидә һумин түршуларының өмән профилдә тоiplаимасы илә олагодарды.

АЗЭРБАЙЧАН ССР ЕЛМЛӘР АКАДЕМИЈАСЫНЫН МӘРҮЗӘЛӘРИ

ДОКЛАДЫ АКАДЕМИИ НАУК АЗЕРБАЙДЖАНСКОЙ ССР

ХХVI ЧИЛД

№ 2

1970

### АГРОХИМІЯ

УДК 635. 646, 541. 144. 7.

Р. Г. ЫСЕЈНОВ, Н. Ж. ГАСЫМОВ

### ЕРОЗИЈАЛА ҮГРАМЫШ ТОРНАГЛАРДА ҚАЛИУМУН МИГДАРЫ ВӘ ФОРМАЛАРЫ

(Азәрбајҹан ССР ЕА академији И. Мусајев тәгдим етмишидир)

Калиум күбрәләриндән сәмәрәли истифадә етмәкә кәнд тәсәрүфаты биткиләриндән жүксәк мәңсүл көтүрмәк учүн онун торнагда мұхтәлиф форма вә мигдары мә’лүм олмалыдыр.

Д. Н. Прянишинов [7], И. Г. Важенин, И. Г. Карасјева [2], В. У. Пичолкин [8] вә башгалары торнагда калиумун формаларына даир бир чох тәдгигат ишләри апармышлар.

Азәрбајҹан ССР-нин мұхтәлиф торнаг вә иглим зоналарында калиум еңтијаты вә формалары Р. Г. Ыссејнов, Э. Б. Гочаманов [4]; Э. К. Ахундов [1] тәрәфиндән өյрәнилмешшілер.

Республикамызда калиум күбрәләринин картоф биткиси алтында тәт-биги перспективијини нәзәрә алар, Дашикәсән району әразисинде кенин жејылмагла кәнд тәсәрүфаты биткиләри алтында истифадә едилән әсас торнаг типләриндә (даг-өмән гараторнагабәзір, даг-гара вә боз-гырлашмыш гәһвәји даг-мешә торнаглары) калиумун мигдары вә формаларының өյрәнімек мәгсәди илә бечәрилән, хам вә һәмчинин мұхтәлиф дәрәчәдә ерозија үграмыш торнаглардан нұмұнәләр көтүрүлмушшір. Нұмұнәләрдә үмуми калиум (торнагын җандырылмасы үсулу илә), мұбадилә олунмајан удулмуш калиум (торнагын 2 нормал НСІ-ла ишләнмәсі илә), мұбадилә олунан (Протасова көрә) вә суда һәлл олан калиум (Александрова үсулу илә) тә'жин едилмешшілер. Тәйлілләр заманы аловду фотометрдән истифадә олунмушшір. Рәгемләрдән аждылашмышшір ки, Дашикәсән району әразисинде жејылмаш торнагларын типпиндейн вә ерозија үграма дәрәчәсіндә асылы оларға калиумун мигдары көс-кин сурәтдә дәјишир. Бело ки, үмуми калиумун мигдары эн чох (2,11—2,62%) бозгырлашмыш гәһвәји даг-мешә торнагларында олдуғу һаңда, ән аз (1,35—1,49%) даг-өмән гараторнагабәзір торнаглардадыр. Даг-гара торнаглар исә аралыг вәзијәт тәшкил едир.

Тәдгиг етдијимиз бүтүн торнагларын жүзулемдә дәрәчәсі артдыгча қалыпты үмуми мигдарының азалдығы мүшәнилә олунмушшір. Бу һаң бозгырлашмыш гәһвәји даг-мешә торнагларында даға кәсии нәзәрә бозгырлашмыш гәһвәји даг-мешә торнагларында даға кәсии әнәмийжәт көччөпшір. Мәсәлән, һәмниң торнагларын жүзулеммаш саңәләринин экин гачыныда калиумун үмуми мигдары 2,1—2,62%-дире, шиддәтли жүзулеммаш саңәләрин экин гачында 0,52—0,96%-ә гәдәр азалдығы мүшәнилә олунмушшір.

Торпаг саһәләриндән истифадәедилмә дәрәчәси калиумун мигдарына әсаслы тә'сир көстәрмишdir. Белә ки, дағ-чәмән гараторпагабәизәр торпагларын хам саһәләриндә калиумун үмуми мигдары (үст гатларда) 1,49% олдуғу һалда, әкин алтында истифадә едилән торпагларда 1,13%-э гәдәрdir. Ени ганунаујғунлуг дикәр торпаг типләриндә дә нәзәрә чарпмышдыр.

Мұбадилә олунмајан удулмуш калиумун ән чох мигдары бозғылашмыш гәһвәji дағ-мешә торпагларында (100 г торпагда 77,23—77,48 мг), ән аз мигдары исә дағ-чәмән гараторпагабәизәр торпаглардадыр (100 г торпагда 33,61—45,20 мг).

Ерозия просесинин мұбадилә олунмајан удулмуш калиумун мигдарына тә'сирі чуз'идир, жаҳуд һисс едилмир.

Мұбадилә олунма калиумун мигдары дағ-чәмән гараторпагабәизәр торпагларын јујулмамыш нөвләриндә (100 г торпагда) 15,55—200,43, дағ-гараторпагларда 10,43—11,77 вә бозғылашмыш гәһвәji дағ-мешә торпагларында 21,51—34,17 мг-а чатыр. Көрүндүjү кими, бозғылашмыш гәһвәji дағ-мешә торпаглар мүстәсна олмагла, удулмуш калиумун мигдары жухарыда көстәрилән торпагларда аз олуб, үмуми калиумун 7,2—13,6%-ни тәшкил едир. Ториагларын еrozijaуфрама дәрәчәсиины артмасы илә калиумун мұбадилә олунма формасынын мигдары арасында тәре мүтәнасиблик даһа айдан нәзәрә чарпыр. Мисал үчүн, дағ-гара торпагларын јујулмамыш нөвүндә (100 г торпагда) 11,8 мг калиум олдуғу һалда, зәніf, орта вә шиддәтли јујулмуш нөвләриндә мұвағғиг олараг, 10,36; 8,68 вә 8,50 мг-э гәдәрdir. Белә ганунаујғунлуг дикәр торпаг типләриндә дә көрүнмүшдүр.

Геjd етмәк лазымдыр ки, ejini тип дахилиндә торпағын истифадә-олунма дәрәчәси илә әлагәдар олараг калиумун мигдары хејли дәжишир. Белә ки, шиддәтли јујулмуш бозғылашмыш гәһвәji дағ-мешә торпагларынын хам саһәләриндә (100 г торпагда) мүтәһәрrik калиум 9,50, әкин јерләриндә исә 7,34 мг-дыр. Бечәрилән саһәләрдә, хүсусән картоф биткиси алтында торпагларда мұбадилә олунма калиумун хам торпаглардағынын иисбәтән азлығы тәбии һалдыр. Буну, бир тәрәфдән, һәмий торпагларда картоф кими «калиум севән» биткиләрин бечәрилмәсін вә дикәр тәрәфдәц, бу торпагларда бечәрилди жи күндән бу вахтадәк калиум күбрәләрини верилмәмәсі илә изаһ етмәк лазымдыр. Суда һәлл олап калиумун мигдары тәдгигат апардығымыз торпагларда чох аз олуб, әкин гатында үмуми калиумун максимум 1,4%-ни тәшкил едир. О, әкин гатындан кетүүрүмүш торпагларда изләрдән башлајыб, 100 г торпагда 2,42 мг-а гәдәр чатыр. Јујулмага мә'рүз галмыш саһәләрдә суда һәлл олап калиум изләрдәк азалмышдыр.

Р. Г. Һүсейновун [3] градасијасына әсасән, дағ-чәмән гараторпагабәизәр торпагларын јујулмамыш вә зәніf јујулмуш нөвләри калиумла орта, бозғылашмыш гәһвәji дағ-мешә торпагларын һәмий нөвләри исә жаҳшы тә'мини олунмушдур. Бу торпаг типләринин орта вә шиддәтли јујулмуш нөвләри вә дағ-гараторпагларынын бүтүн нөвләри калиумла зәніf тә'мини олунмушдур.

## ӘДӘБИЙЛАТ

1. Ахуидов А. К. Степень обеспеченности калием чаепригодных почв Закатальской зоны Азербайджана, «ДАН Азерб. ССР», № 3, 1964.
2. Важелии И. Г., Карапова И. Г. О формах калия в почвах и калийном питании растений. «Почвоведение», № 3, 1959.
3. Гусейнов Р. К. Агрономические основы системы удобрения в Азербайджане. Азернешир, 1961.
4. Гусейнов Р. К., Годжаманов А. Б. Запасы и формы калия в основных типах почв Мугано-Сальянской зоны. «ДАН Азерб. ССР», № 9, 1965.
5. Кирсанов А. Т. Последействие калийных удобрений и усвоение ячменем необменного калия. «Химизация соц. земледелия», № 2—3, 1940.
6. Маслова А. Л. Ка-

лый как элемент почвенного плодородия. Сб. «Калийные удобрения», 1938. 7. Прянишиков Д. Н. Избранные сочинения, т. 1, 3, 1952. 8. Пчелкин В. У. Почвенное и калийное удобрение. Изд-во «Колос», 1966.

Торпагшұнасындағы агрокимја институту

Р. К. Гусейнов, Н. Ю. Касумов

Содержание и формы калия на эродированных почвах

## РЕЗЮМЕ

Для рационального применения калийных удобрений под картофель было изучено содержание, а также и формы калия в основных типах почв Дашкесанского района.

Исследования показали, что в результате эрозийных процессов, содержание калия в почве уменьшается.

В исследуемых почвах содержание валового калия колеблется от 0,52 до 2,62% к весу почвы, из коих на долю необменного—поглощенного калия приходится от 22,9—81,2%, на обменный — от 3,6—18,9%, воднорастворимого от следов до 1,4%.

ГЕНЕТИКА

УДК 581.15

М. А. АЛИ-ЗАДЕ, Л. Г. ДЖАВАДОВА

**ДЕЙСТВИЕ ЭФИРАНА-99 И 2,4 Д НА НУКЛЕИНОВЫЙ И АЗОТИСТЫЙ ОБМЕН В ЛИСТЬЯХ ПШЕНИЦЫ**

(Представлено академиком АН Азербайджанской ССР Д. М. Гусейновым)

Результаты испытания гербицида эфирана-99 на сорных растениях показали его перспективность в широком применении против сорняков. Представляет большой интерес установление отдельных звеньев в жизни деятельности растительного организма, на которые оказывает свое действие этот гербицид. Предварительные исследования, проведенные с этой целью [1] показали, что эфиран-99 действует на азотистый обмен растений, способствуя нарушению синтетических процессов, приводящих к ускорению распаду белка в листьях сорных растений.

Но наряду с сорными растениями, большой интерес представляет изучение действия гербицидов на культурные растения, в посевах которых они могут быть применены.

Нашей задачей являлось изучение действия эфирана-99 на нуклеиновый и азотистый обмен в листьях пшеницы.

С этой целью были заложены полевые опыты, где испытывались различные концентрации растворов эфирана-99, в качестве контроля наряду с введением варнита обработка чистой водой проводился дополнительный контроль с 2,4 Д, являющийся признанным гербицидом против двудольных сорных растений в посевах злаковых культур.

С этой целью 16 апреля 1964 г. на территории Карабахской экспериментальной базы Института генетики и селекции АН Азербайджанской ССР на участке, засеянном пшеницей сорта Джагафары, был заложен опыт по следующим схемам:

1. Контроль (обработка чистой водой)
2. 2,4 Д-1%-ный раствор.
3. Эфиран-99—0,5%-ный раствор.
4. Эфиран-99—1%-ный раствор.

Площадь опытной делянки была  $2,7 \times 50$  м, повторность 4-кратная. На каждую делянку расходовалось по 10 л раствора. В это время растения пшеницы находились в фазе трубкования. Когда средняя высота их достигла 15—20 см, опытные делянки обрабатывались растворами гербицидов из рапсового опрыскивания, а контрольные — чистой водой.

Визуальный осмотр опытного участка через день после обработки показал, что гербициды не оказывали какого-либо влияния на растение

пшеницы. Через 3—5 дней после обработки обнаружились ожоги на листьях пшеницы, обработанной 1%-ным раствором эфирана-99, 0,5%-ным раствором этого гербицида и 1%-ным раствором 2,4 Д никакого действия скручивание сорных растений под действием эфирана-99 и 2,4 Д. Через 1,3 и 5 дней после обработки растений гербицидами брались пробы листьев пшеницы для дальнейших анализов, результаты которых приведены в табл. 1.

Таблица 1  
Влияние эфирана-99 и 2,4Д на содержание азота и РНК в листьях пшеницы (на сухое вещество)

Вариант	Азот, %						РНК, мг, %		
	через 1 день		через 3 дня		через 5 дней		через 1 день	через 3 дня	через 5 дней
	общий N	белковый N	общий N	белковый N	общий N	белковый N			
Контроль (вода)	4,45	4,19	4,79	4,50	4,95	4,74	917	1155	1165
1%—2,4 Д	5,42	5,11	4,51	4,19	4,38	4,03	1088	1006	1023
0,5%—эфиран-99	4,00	3,41	4,16	3,69	3,72	3,29	1052	1073	1086
1%—эфиран-99	3,92	3,44	4,13	3,70	3,64	3,13	967	1073	849

Исследования по действию эфирана на нуклеиновый и азотистый обмен в сорных растениях не проводились, так как в этом опыте не интересовало только действие лекарственных концентраций гербицидов на культурное растение.

Из приведенных в табл. 1 данных видно, что гербицид 2,4Д в первые сутки действия увеличивает содержание азотистых веществ и РНК в листьях пшеницы, а в дальнейшем приводит к снижению этих показателей.

1%-ный раствор эфирана-99 во всех случаях приводит к более резкому снижению содержания азота и РНК в листьях пшеницы, чем 0,5%-ный раствор этого гербицида.

Совершение другой картины наблюдается при исследовании растений через месяц их обработки растворами гербицидов.

Результаты анализов растительных проб, взятых 16-го и 25-го мая, спустя 30 и 39 дней после закладки опыта (последний срок был взят во время цветения), показали, что в последующий период роста и развития примененные гербициды оказали стимулирующее действие на синтез фундуклиновых кислот и азотистых веществ у пшеницы (табл. 2).

Таблица 2  
Влияние эфирана-99 и 2,4 Д на содержание РНК и форм азота в листьях пшеницы (на сухое вещество)

Время взятия проб	Контроль			1%—2,4 Д			1%—эфиран-99		
	общий N, %	белков. N, %	РНК, мг, %	общий N, %	белков. N, %	РНК, мг, %	общий N, %	белков. N, %	РНК, мг, %
16. V 1964	2,44	2,24	443	2,92	2,69	557	3,25	2,99	531
25. V 1964	2,56	2,33	441	3,04	2,78	518	3,21	2,89	477

В листьях пшеницы, обработанных растворами 2,4 Д и эфирана-99 (1%), через 30 и 39 дней после обработки содержание общего и белко-

вого азота и трибоукленновой кислоты было больше, чем в листьях контролльных, обработанных чистой водой растений.

Результаты полученных экспериментальных данных позволяют прийти к следующим выводам.

1. Применение 1%-ного раствора эфира-99 в посевах пшеницы в начальный период приводит к некоторым повреждениям листьев этой культуры, 0,5%-ный раствор не оказывает вредного действия.

2. Примененные гербициды 1%-ного раствора 2,4 Д, 0,5 и 1%-ного раствора эфира-99 в первые 5 дней снижают содержание азота и РНК в листьях пшеницы сорта Джадар. Через месяц после обработки растений растворами гербицидов наблюдается увеличение содержания общего и белкового азота и РНК в листьях пшеницы.

#### ЛИТЕРАТУРА

Али-заде М. А., Мамедов Шамхал, Караканова С. В. Влияние эфира-99 на углеводный и белковый обмен сорных растений. Баку, 1964 год.

Институт генетики и селекции

Поступило 14. III 1968

М. А. Элизаде, Л. И. Чавадова

Ефиран-99 в 2,4 Д-нин бугда юриагларында нуклеин вә азот мүбадилесинә тә'сири

#### ХУЛАС

Азэрбајҹан ССР Елмләр Академијасы Нефт-Кимја Просесләри Институтунун синтез етдији ефиран-99 һербисидинин бәрк бугда сорту Чофәринин юриагларында нуклени туршуларынын вә азотлу бирләшмәләрни мигдарына тә'сирини өјрәнмәк мәгәсәди илә чөл тәчрүбәси шәраитида 0,5; 1,0%-ли ефиранын вә 1,0%-ли 2,4 Д һербисидләрниң мугајисәли тә'сири юхланылышыр. Мүшәнидә учүн юриаг нүмүнәләри һербисид чиләнәндән 1, 3, 5, 30 вә 39 күн соңра көтүрүлмүшдүр. Мүәјжән едилмишdir ки, 0,5%-ли ефиран вә 1,0%-ли 2,4 Д һербисидинин бугда биткисинә мәнифи (—) тә'сири олмамыш, 1,0%-ли ефиранын тә'сириндә исә бугда юриагларында јаимыш ниссәләр алышмышдыр. Һербисид чиләнәндән 1, 3 вә 5 күн соңра бүтүн һалларда үмуми вә зұлали азотун мигдарынын азалдығы мүшәнидә едилмишdir.

Нүмүнә көтүрүлән һәр 3 ваҳтда 0,5%-ли ефиран-99 вә 1,0%-ли 2,4 Д-нин тә'сириндән РНТ-нин мигдары контрол биткиләрдән фәргли олараг артмыш, 1,0%-ли ефиран-99-ун тә'сириндән исә азалмышдыр. 30 вә 39 күндердән соңра көтүрүлмүш юриаг нүмүнәләриндә 1,0%-ли ефиран-99 вә 2,4 Д-нин тәтбигиндән үмуми вә зұлали азотун, һәмчииң РНТ-нин мигдары артмышдыр.

Тәдгигатлардан белә иштәчәјә көлмәк олар ки, зәнф гатылыглы ефиран-99 вә 1,0%-ли 2,4 Д һербисиди бәрк бугда юриагларында азотту маддәләрни вә РНТ-нин мигдарыны артырмаг габилиїттәнә маликдир.

АЗЭРБАЙҖАН ССР ЕЛМЛӘР АКАДЕМИЈАСЫНЫН МӘРҮЗӘЛӘРИ

ДОКЛАДЫ АКАДЕМИИ НАУК АЗЕРБАЙҖАНСКОЙ ССР

ТОМ XXVI

№ 2

1970

#### ФИЗИОЛОГИЯ

УДК 591.3

С. А. ДЖАБИЕВА, Э. М. СЕНД-ЗАДЕ

#### ИЗУЧЕНИЕ ГЛЮКАГОНОПОДОБНОЙ АКТИВНОСТИ ПОДЖЕЛУДОЧНОЙ ЖЕЛЕЗЫ У РАЗВИВАЮЩЕГОСЯ КУРИНОГО ЭМБРИОНА

(Представлено академиком АН Азербайджанской ССР М. А. Топчибашевым)

Выяснение роли гормональных факторов на разных этапах онтогенеза, когда процессы развития, формообразования развертываются особенно интенсивно, представляет значительный интерес для общей теории индивидуального развития и в то же время это один из весьма эффективных путей управления процессами онтогенеза [1].

В разработке проблемы становления эндокринных функций в онтогенезе в настоящее время могло выявить несколько довольно отчетливых направлений. Среди них, прежде всего, следует указать на исследования, анализирующие формирование в зародышевом организме его собственных эндокринных корреляций. Достаточно хорошо этот вопрос изучен в отношении инсулина, адреналина и некоторых других гормонов [2].

Между тем, формирование глюкагонобразовательной функции поджелудочной железы, представляющей значительный интерес, особенно в своем развитии механизма регуляции гликемии, к настоящему времени изучено крайне недостаточно.

В литературе имеется указание на то, что  $\alpha$ -клетки поджелудочной апикальной железы закладываются и развиваются примерно в те же сроки, что и  $\beta$ -клетки, хотя и несколько опережают их в своем развитии. Гистологические исследования показали, что  $\beta$ -клетки закладываются на третий день развития [3].

Имеются также указания на то, что содержащие глюкагон в панкреатической железе эмбриона выше, чем в панкреатической железе взрослых организмов. Несколько оправдывают этот вопрос некоторые косвенные данные о формировании глюкагонового механизма в эмбриогенезе.

Известно, что чувствительность эмбрионов к глюкагону обнаруживается к шестому дню развития [4].

Т. А. Грибо доказал, что фосфорилаза печени появляется на седьмой день развития. Показано, что имеется гликогенитический фактор в панкреате эмбриона цыплят, начиная с 13 дня развития и выше, который обнаруживается также хорошо, как и у взрослых [5]. Учитывая недостаточность освещения этого вопроса в литературе, а также важность изучения становления глюкагонового механизма гликогенолиза в эмбрио-

генезе, нами было предпринято исследование глюкагоноподобной активности поджелудочной железы у куриного эмбриона в различные сроки развития. В предыдущих наших исследованиях глюкагоноподобная активность определялась в гомогенате эмбриона в различные дни развития [6].

Исследования показали, что гомогенаты тканей шестидневных эмбрионов не обладают глюкагоноподобной активностью, достоверное появление этой активности отмечается на восьмой день развития. Нами также изучено, что эмбрионы способны реагировать на внутреннее введение глюкагона пинегликемической реакцией и эта способность сохраняется при рентгеноблучении [7].

Опыты проводились над куриными эмбрионами породы «белый леггорн». Требуемое нам количество поджелудочной железы было получено при обработке 30—40 эмбрионов 15, 17 и 19-дневного развития, затем готовился экстракт. Глюкагоновая активность в тканях поджелудочной железы определялась по методу Стерланда. Количество экстрагируемого панкреатического глюкагона каждой пробы изучалось на 30 срезах четырех кроликов. Производилась статистическая обработка материала. Результаты исследования приведены в таблице.

Дни развития	Глюкагоноподобная активность (% максимального эффекта)	
	в среднем	достоверность
15	59±1	P<0,001
17	76±1	P<0,01
19	85±1	P<0,01

Исследования показали, что глюкагоноподобная активность поджелудочной железы у 15-дневного развивающегося эмбриона составляет +59±1 ( $P<0,01$ ), у 17-дневного +76±1 ( $P<0,01$ ) и у 19-дневного +85±1 ( $P<0,01$ ). Как видно из данных, глюкагоноподобная активность поджелудочной железы по мере развития куриного эмбриона увеличивается.

Результаты исследования глюкагоноподобной активности гомогенатов развивающегося куриного эмбриона свидетельствуют о наличии глюкагоноподобной активности в поджелудочной железе в более ранние сроки развития.

Как известно, глюкагоноподобная активность гомогенатов более всего зависит от состояния глюкагонового аппарата поджелудочной железы. Однако нам не удалось биологическим методом определить глюкагоноподобную активность тканей поджелудочной железы в ранние сроки развития, что не дало возможности изучить корреляцию гомогената и поджелудочной железы в эти сроки развития.

В то же время результаты настоящего исследования дают полное основание говорить о строгой коррелирующей связи глюкагоноподобной активности гомогената и поджелудочной железы у 15, 17 и 19-дневных эмбрионов.

#### ЛИТЕРАТУРА

- Л. Микевич М. С. Становление эндокринных функций в зародышевом развитии. Изд-во «Наука», 1966.
- Лейбсон Л. Г. Сахар крови. Изд. АН СССР. М.—Л., 1962.
- Сейдзаде Э. М. О глюкагонобразовании у развивающегося куриного эмбриона.

«ДАН Азерб. ССР», № 10, т. XXII, 1966. 4. Джабиева С. А., Сейдзаде Э. М. Влияние введения глюкагона на содержание сахара в крови у развивающегося куриного эмбриона в норме и после воздействия лучей рентгена. Труды общества физиологов Азербайджана, т. I. Баку, 1968. 5. Deterlen-Ziegler F. Demonstration d'une sécrétion endocrine précoce du pancréas embryonnaire de poulet à l'aide de parabioses in vitro. Compt. rend. Sos. biol. 159, № 1, 118—121, 1965. 6. Thommes R. C. and Flirling C. E. Blood glucose and liver glycogen Zevel in glucagon. Treated chick embryos. Gen and Comparative Endocrinology № 4, 1—8, 1964. 7. Grillo F. A. J. a histochimical study of phosphorylase in the tissues of the chick embryo. Anatomy School, University of Cambridge, England. Received for publication September, 20, 1960.

Институт физиологии

Поступило 9. VI 1965

С. Э. Чабиева, Э. М. Сейдзаде

Иикишаф едән тојуг эмбрионун мә’дәлтүү вәзиинидә  
глюкагонабәйзәр фәаллыгын өјрәнилмәси

#### ХУЛАСЭ

Тәдгигатда иикишафын мүхтәлиф күнләриндә тојуг эмбрионун мә’дәлтүү вәзиинидә глюкагонабәйзәр фәаллыгы өјрәнилшилди. Тәрчүбазар «аг леггори» чиңли тојуг эмбриону үзәршіде анарылымышдыр. Иикишафын 15, 17 және 19-чу күнү 30—40 эмбрионун мә’дәлтүү вәзиинидән экстракт назырламышдыр. Мә’дәлтүү вәзи тохумасында глюкагонабәйзәр фәаллыг Стерланд үсулу иле тә’жин едилмишди. Мә’дәлтүү вәзиидән экстраксија едилән глюкагонабәйзәр маддәнин һәр бир группу 4 ада довшанынын гарачијөрийдән алынан 30 әдәд кәсикдә јохланылышдыр.

Тәдгигатлар иетишиндә мүәյҗән едилмишди ки, мә’дәлтүү вәзиинидә глюкагонабәйзәр фәаллыгы иикишафын 15-чи күнү +59±1 ( $P<0,01$ ), 17-чи күнү +76±1 ( $P<0,01$ ) және иикишафын 19-чу күнү +85±1 ( $P<0,01$ ) бәрабәрдир.

Алынан рәгемләрден көрүнүдүү кими, мә’дәлтүү вәзи глюкагонабәйзәр фәаллыгы иикишафын күнләриндән асылы олараг артмышдыр.

МЕДИЦИНА

Ш. А. МАХМУДОВА

## ИММУНОЛОГИЧЕСКИЕ МЕТОДЫ ИССЛЕДОВАНИЙ ПРИ АНКИЛОСТОМИДОЗАХ

(Представлено академиком АН Азербайджанской ССР М. А. Мусаевым)

Имеющиеся в литературе данные о возможности применения иммунологических методов диагностики анкилостомидозов свидетельствуют о перспективности их. Как известно, иммунизирующее и сенсибилизирующее воздействие на организм хозяина оказывают в основном личинки, имеющие контакт с органами.

Роль взрослых гельминтов, обитающих в желудочно-кишечном тракте, ограничена, по-видимому, главным образом потому, что значительная часть выделяемых ими антигенных субстанций выбрасывается с экскрементами хозяина наружу. Оставшиеся же антигены адсорбируютсяслизистой кишечной стенкой и поступают в иммунокомпетентные органы уже в какой-то степени измененными. Можно думать, однако, что взрослые анкилостомиды в отличие от ряда других кишечных гельминтов играют значительную роль в развитии иммунитета, поскольку их секреты и экскреты легко поступают в кровь через ранки, образующиеся наслизистой оболочке тонкого кишечника в результате травмирования ее фиксаторным аппаратом паразитов.

Вопрос о развитии приобретенного иммунитета к анкилостомидам изучался в эксперименте рядом авторов.

Наличие иммунологических сдвигов в организме человека подтверждается обнаружением гуморальных антител и развитием ряда аллергических явлений, связанных с сенсибилизацией организма у лиц, инвазированных анкилостомидами.

В диагностике анкилостомидозов из иммунологических реакций применялась внутрикожная пробы и серологические реакции. Внутрикожная пробы с успехом была использована многими авторами, которые внутрикожную реакцию считают весьма полезной не только для диагностических целей, но и для оценки эпидемиологической ситуации в очагах.

Широкое применение аллергической реакции, нам кажется, не целесообразно, во-первых, вследствие возможности аллергизации населения, а, во-вторых, потому, что постановка этой реакции лишает в дальнейшем возможности динамических наблюдений за больными, поскольку повторное введение антигена передко дает ложно-положительный результат.

В СССР иммунодиагностику анкилостомидозов изучал Д. А. Мдиванишвили (1961, 1964), Д. А. Мдиванишвили и Н. И. Татишвили (1961).

Авторы использовали при этом реакцию агглютинации с антигеном, адсорбированным на кармине, предложенную Е. С. Лейкиной и О. И. Поляковой (1956) для диагностики ранней стадии аскаридоза. Результаты, полученные автором, показали высокий процент совпадений реакции с показателями копрологического исследования.

Возможность применения иммунологических реакций для диагностики анкилостомидозов человека изучена очень слабо. Между тем, значение иммунологических методов исследования в практике борьбы с анкилостомидозами очень велико, особенно в период завершения ликвидации этих заболеваний. На этом этапе работы очень важно обеспечить своевременное выявление всех случаев заражения независимо от интенсивности и стадии развития инвазии.

Также следует учитывать, что массовое обследование населения путем анализа фекалий сопряжено обычно с большими трудностями, связанными с получением материала для исследования.

Принимая во внимание вышеизложенное и актуальность вопроса иммунологической диагностики анкилостомидозов мы решили испытать для этой цели ряд иммунологических реакций.

При исследовании больных анкилостомидозами с помощью иммунологических реакций, мы ставили перед собой две цели. Во-первых, изучать на лицах, заведомо инвазированных анкилостомидами эффективность реакций микропреципитации на личинках, латекс-агглютинации и реакции непрямой гемагглютинации и, во-вторых, проследить как изменяются показатели этих реакций в зависимости от степени анемизации больных и состояния белкового обмена.

Эффективность иммунологических реакций изучалась на 141 больном, у которого диагноз анкилостомидозов был установлен копрологически. Кровь для исследования у больных брали из локтевой вены и готовили из нее сыворотки обычным путем. Сыворотки крови исследовали в реакции микропреципитации на сыворотках личинках анкилостомид и в реакции латекс-агглютинации (141 сыворотка), 86 из них еще и с помощью реакций непрямой гемагглютинации. В качестве контроля использовано 39 сывороток лиц, свободных от анкилостомид. Чувствительность иммунологических реакций в период кишечной фазы анкилостомидозов колебалась в пределах от 69,5 (реакция латекс-агглютинации) до 73,05% (реакция микропреципитации). Что касается специфичности, то она оказалась достаточно высокой, так как положительный результат при отсутствии анкилостомид наблюдался лишь в 2 случаях в реакциях микропреципитации и гемагглютинации и в 3 — латекс-агглютинации.

Сопоставляя результаты испытанных реакций, полученные у 86 человек, сыворотка которых исследовалась одновременно всеми тремя методами, мы могли убедиться в наличии высокого процента совпадений.

У инвазированных анкилостомидами, совпадение иммунологических реакций было в 70,9% случаев. Положительные результаты составляют 75,4% случаев, отрицательные — 24,6%, тогда как у лиц без анкилостомид совпадение результатов 3 реакций не наблюдалось. Только у одного больного имело место совпадение положительных результатов 2 реакций (р. латекс и гемагглютинации). Результаты иммунологических реакций анализировались по группам, на которые больные были распределены в соответствии с уровнем гемоглобина (таблица).

Проведенный анализ показал, что в группе больных с резко выраженной анемией (группа I) в большинстве случаев все 3 реакции дали отрицательный результат. Лишь у 2 из 8 человек оказалась положительной реакция микропреципитации, а у 3 — р. латекс-агглютинации.

## Результаты иммунологических реакций у лиц с разным уровнем гемоглобина

Группа	Показатели гемоглобина в ед. и %	Число больных	Иммунологические реакции							
			Р. микропрепарации.		Р. латекс-агглютинации		Число больных		Реакция гемагглютинации	
			полож.	отриц.	полож.	отриц.	полож.	отриц.	полож.	отриц.
1	17—40 (2,8—6,6)	8	2 (1,9%)	6 (15,8%)	3 (3,1%)	5 (11,6%)	8 (3,3%)	2 (24%)	6 (39,3%)	2 (48%)
2	41—64 (6,8—10,6)	49	32 (31,1%)	17 (44,7%)	31 (31,6%)	18 (41,9%)	36 (39,3%)	24 (48%)	12 (57,4%)	7 (28%)
3	65 и выше (10,8 и более)	84	69 (67%)	15 (39,5%)	64 (65,3%)	20 (46,5%)	42 (57,4%)	35 (48%)	7 (28%)	
Всего:		141	103 (73%)	38 (27%)	98 (69,5%)	43 (30,5%)	86 (70,9%)	61 (29,1%)	25	

В группе с умеренно выраженной анемией (группа II) число больных с положительными иммунологическими реакциями оказалось больше, чем в предыдущей группе.

В III группе — больных без анемии, процент лиц с положительным результатом иммунологических реакций был наиболее высоким.

Помимо увеличения процента лиц, положительно реагирующих на антиген, из анкилостомид в группе больных без анемии наблюдалось также и повышение титра реакций по сравнению с анемизированными лицами.

Таким образом, по мере нарастания количества гемоглобина концентрация антител в крови больных повышалась, о чем свидетельствует как увеличение числа лиц с положительным результатом иммунологических реакций, так и повышенное титры реакций\*.

В связи с тем, что продукция антител непосредственно связана с белковым обменом организма, мы решили сопоставить показатели иммунологических реакций с показателями содержания общего белка и отдельных его фракций.

При сопоставлении результатов иммунологических реакций с количеством общего белка сыворотки крови выявляется, что при нормальном его содержании иммунологические реакции выражены сильнее, чем при пониженном. Так, в группе больных с положительным результатом иммунологических реакций, процент лиц, имеющих нормальное количество белка в крови колеблется от 77,7 до 86,7, тогда как процент лиц со сниженным количеством белка не превышает 10,2—18,4 %. Между тем, в группе больных с отрицательным результатом иммунологического исследования отмечается обратное соотношение: процент лиц с нормальным содержанием белка колеблется от 9,4 до 23,7, а с пониженным — 71—83,7.

Определенная зависимость была выявлена также и между содержанием некоторых фракций глобулинов и результатами иммунологических реакций. Так, наибольшее число лиц с положительными иммунологическими реакциями находились в группе больных с повышенным содержанием альфа-один и гамма-глобулинов. Среди больных с нормальным со-

\* Высоким титром мы условно считаем, начиная от титров 1:16 для реакций ла-  
текс-агглютинации, 30% личинок с прецизионатами для реакции микропрецизионатов и  
1:32 для реакции гемагглютинации.

держанием или снижением указанных глобулиновых фракций число лиц с отрицательным результатом реакций больше, чем с положительным.

Таким образом, при изучении зависимости результатов иммунологических реакций от количества гемоглобина крови и состояния белкового обмена выяснилось, что у больных апилостомидозами с резко выраженной и умеренной анемией, а также со сниженным количеством белка часто иммунологические реакции дают отрицательный результат.

Как известно, антитела представляют собой измененные глобулины крови, естественно, что нарушение белкового обмена, обусловливающие снижение количества гамма-глобулиновых фракций влечет за собой и уменьшение концентрации антител. Подтверждением этого положения может служить выявленная нами закономерность, согласно которой у лиц с пониженным содержанием альфа-один и гамма-глобулинов иммунологические реакции были отрицательными или давали низкий титр.

Наряду с указанными, мы имели несколько случаев, при которых выпадение отрицательных результатов, наблюдалось при повышенном содержании гамма-глобулинов, что, по всей вероятности, объясняется наличием в сыворотке крови этих больных не иммунных гамма-глобулинов, а накоплением неспецифических глобулинов или же связано с нарушением электролитного равновесия сыворотки крови этих больных.

## Выводы

1. Результаты иммунологических реакций дают возможность использовать их как для диагностики аницилостомидозов, так и ранеешей преимущественной стадии аницилостомидозов. Причем в последних случаях титр реакций более высокий.
  2. Положительные результаты иммунологических реакций указывают на выработку организмом антител при аницилостомидозах.
  3. У больных аницилостомидозами с анемией иммунологические реакции чаще дают отрицательный результат.
  4. Иммунологические реакции более ярко выражены в случаях с резко повышенным количеством гамма-глобулинов, т. е. титр реакций прямо пропорционален количеству гамма-глобулинов.
  5. Наличие в некоторых случаях у больных отрицательных результатов иммунологических реакций при гиперглобулинемии может быть объяснено появлением в сыворотке неспецифических глобулинов или же

## Институт мед. паразитологии и тропической биологии

Поступило 4. II 1968

Ш. Э. Махмудова

## Анкилостомидозла иммунология тәдгигат үсуллары

ХУДОЖ

Мүэллиф анкилостомидозун дүрүст диагностикасы үчүн 141 хәттәдә вә 39 саглам инсан үзәриндә мұхтәлиф иммунологи реаксијалардан истифада етмишdir. Анарылаң тәдгигатларын иштічеси көстәрмишdir ки, анкилостомидозун бағырсағ фазасы дөврүндә бу реаксијалар даňа ішессас вә сәчиijеви олур.

Иммунологи реаксијаларын һемоглобин вә зұлал мүбадиләсіндән асылылығыны өзгәрдікен, аниклостомидозлу хәстәләрдә анемија заманы иммунологи реаксијалардан экසәрән мәнфи иетичә әлде едилмишdir.

ЭДЭБИЙЛДТ

УДК 2631—M83

М. Г. МУРАДОВА

**САДИГ БӘЈ САДИГИНИН ТӘВӘЛЛҮД ВӘ ВӘФАТ ТАРИХИ  
ҺАГГЫНДА**

(Азәрбајҹан ССР ЕА академики И. Араслы тәгдим етмишdir)

Бир чох әдәби әсәрләрин вә рәссамлыг әсәрләринин мүәллифи, шаир вә рәссам Садиг бәј Садиги дөврүнүн габагчыл мәдәнийјэт хадими, сәнэт нәзәрийјечисидир. XVI әсрин ахыры, XVII әсрин әvvәлләриндә јашајыб јарадан шаир Jaxын Шәрг поэзијасынын гәзәл, гәсіндә, рұбани, гит'ә вә с. әдәби нөвләриндә 1087 сәһиғәлик зәниккү күллијјат гојуб кетмишdir. Сәфәвиләrin һакимијәти илләриндә дөвләт китабханаасында чалышан Садиги Азәрбајҹан мәдәнийјәти тарихинде китаб сәрвәтиинин топланыбы сахланасында диггәтәлајиг хидмәтләр көстәрмиш вә «Садиги китабдар» ады илә мәшһүрлашмышдыр. Садиг бәјин һәјат вә фәалийјәти инијәт гәдәр тәдгиг едиilmәдииндән әдәби ирси, јарадычылығы да тәдгигатчыларымызын иңәринин чәлб етмәмиш вә бу саңәдә чох аз иш көрүлмүшшур.

Садигинин әдәби ирси вә һәјаты дәриидән өјрәнилмәдији кими, шаирин тәвәллүд вә вәфат тарихләри дә дәгиг мүәјҗәнләшdirиilmәмишdir. Бу мәгаләдә һәмии мәсәләни аյынлашдырмаг вәзиғәси гаршија гојулмушшур. Мә'лумдур ки, тәдгигат апарылан заман бириинчи нөвбәдә шаирин әсәрләринә вә онун һаггында мә'лumat верән илк мәнбәләрә истинаад едилир. Садиги, күллијјатына әлавә етдији тәрчүмеји-һаңына тәвәллүд тарихини аյрыча олараг дәгиг шәкилдә көстәрмәмишdir. Ейни заманда, илк мәнбә кими Искәндәр Мүнишинин «Тарихе-аламараје-Аббаси» әсәриндә дә бу барәдә мә'лumata раст көлмирик. Азәрбајҹан, түрк вә Иран мәнбәләриндә Садиг бәјин өз әсәрләриндә јашынын 70, соң вахтларда әлдә едилен мәнбәләрдә исә 90 көстәрилмәси онун тәвәллүд тарихи һаггында гәти фикир сөjlәmәjә имкан вермир. Лакин мә'лумдур ки, Садиг бәј һичри 1010 (1601)-чу илдә Исфаһан шәhәриндә әсәрләрини низамлајараг күллијјат тәртиб етмишdir. М. Тәрбијәт, И. Эмирхизи вә сонракы мәнбәләр бу тарихи тәсдиг етмиш вә о заман шаирин јетмиш јашы олдуғуну көстәрмишләр. Бу факт Садигинин күллијјатында да вардыр. О, јашынын јетмиши кечмәсии ишарә едәрәк јазыр:

از هفت سالگی تا امروز که پای عمر بیانیه عشره هفتم رسیده  
هیچ وقت از اوقات بی خار خار گلوبی و بی زمزمه های و هوس  
نکن شته<sup>1</sup>

<sup>1</sup> Садиги. Күллијјат, сәh. 7.

«7 јашымдаи бу күиә гәдәр, јәни өмрүүн јединчи он илинә гәдәм гој-дугум күиә кими һәјатым хош вә haј-кујус кечмәмишdir». Жаҳуд «Фәтінамеje-Аббасе-намдар» поемасында «јашымын јетмиши кечмәсииә эсасланараг белә иәтичәjә кәлмәк олур ки, 1010 (1601)-чу һичри тарихдә Садигинин јашы јетмиши кечмиш имин, Чох еңтимал ки, шаирин тәвәллүд тарихини 940 (1533)-чы илдән олдуғуну көстәрән М. Тәрбијәт, И. Эмирхизи вә сонракы мүәллифләр мәhз 1010 (1601)-чу һичри тарихинә эсаслашмышлар. Экәр шаирин 1010 (1601)-чу илдә јетмиш јашы вардыса, шубhеси ки, тәвәллүд тарихи 940 (1533)-чы илә дүшәчәкdiр.

Садигинин вәфат тарихи һаггында да бир сыра мұлаһизәләр варды. Искәндәр Мүниши шаирин тәвәллүд тарихини көстәрмәдији кими, вәфаты һаггында да конкрет фикир сөjlәmәмишdir. О жалызы шаирдән вәфат етмиш бир шәхс кими бәhс етмиш вә өмрүүн сонуна гәдәр дөвләт хәзинәсүндән тәғауд алмасыны јазмышдыр.

Асија халглары институтуны Ленинград филиалында сахланан албомларын бириндә Садигинин Битмәмиш бир рәсм әсәри вардыр. Теймур хан Түркманын портретиндән ибарт олан бу әсәри рәссам Мүни Мүсәввири 1779—1780-чы илдә тамамламыш вә өз хәтти илә фарсча ашыдақыны гејд етмишdir: «Мәрһүм Теймур ханын сурәтидир. Мәрһүм Садиг бәј Әфшарын 102(0)-чи илдә чәкдији бу сурәти мән фәгир Мүни Мүсәввири 1095-чи илдә тамамладым. Мубарәк олсун». В. Розинидән сонра бу гејди охујан М. Тәрбијәт рәсмии чәкилмәсии тарихини 1020-чи илә аид етмишdir<sup>2</sup>. Иса мајыл Эмирхизи дә бу фикирдәdir<sup>3</sup>.

Бир нечә ил сонра М. Тәрбијәт «Данишмәндәне-Азәрбајҹан» әсәриндә рәсмии чәкилмәсии тарихини 1002 (1592), жаҳуд 1020 (1611—1612)-чи ил олдуғуну көстәрмишdir: М. Тәрбијәтини портретин чәкилмәсии тарихи һаггында мүәжжән бир фикрә кәлмәмәсүндән белә чыхыр ки, о, бәлкә да рәсми көрмәниш вә буна көрә дә онун јарадылдығы тарихи дәгигләшдirmәк иијјәтиндә олмамышдыр.

Сон илләрдә А. Газыјев Садигинин миниатүрләри үзәриндә тәдгигат апарараг бир нечә мәгалә јазмышдыр. О, рәссам-шаирин «Теймур хан Түркман» портрети үзәриндәки гејди охумуш вә белә иәтичәjә кәлмәмишdir ки, «0» илә «2» рәгәми арасында әлавә рәгәм үчүн ара олмадығында, йәмни тарихини 1020-чи ил һесаб едиilmәсии даһа дөгрүдур. Белә олдуғу налда, «Теймур хан» портрети Садиг бәјин сон әсәри һесаб едиilmәлиdir<sup>4</sup>. Рәсмии чәкилмәсии тарихи илә марагланан Г. Қәндли белә иәтичәjә кәлир ки, М. Мүсәввири гејди 1020-чи илә аид едиilmәsә, мә'лум олар ки, Садиг бәј 1611 (12)-чи илдә сағ имиш. Бәлкә дә бу илдә гәфләтән вәфат етдији үчүн һәмии әсәр јарымчыг галмамышдыр<sup>5</sup>.

Портретин чәкилмәсии һаггындақы мұлаһизәләрә вә еләчә дә миниатүр һаггындақы гејдә диггәтлә јанашилдыгда, тәхмини дә олса охумаг мүмкүндүр. Әлбетте, бәлкә дә сонракы тәдгигатларын бириндә Садигинин тәсвири јарадычылығына аид башга материалын тапылмасы портретин чәкилмәсии тарихини гәтиләшdirәcәk, сәнәткарны јарадычылығы һаггында кениш тәсөввүр јарадачагдыр. Һазырда әлдә олар икى мәнбәдә шаирин вәфаты һаггында верилем мә'лumatлар портретини 1020-чи илдә шаирин һаггында верилем мә'лumatлар портретини 1020-чи илдә

<sup>2</sup> 10 محمد على تربیت. صادقی افسار، ارمغان، ۱۹۳۱، شماره ۱، ص: ۱۵<sup>3</sup> اسماعل امير خیزی. لاذری - صادقی، ارمغان، ۱۹۳۱، شماره ۳، ص: ۳<sup>4</sup> ۱۸۵ ص:<sup>5</sup> ۴ ل. Газыјев. Садиг бәј Әфшарын миниатүрләри. Ичәсәнәт (алманах), № 3, сәh. 44.<sup>6</sup> ۵ گ. Қәндли. Садиг бәј Садигинин һәјат вә јарадычылығы һаггында бә'зи гејдләр. Азәрбајҹан әдәбијаты мәсәләләри, Бакы, 1964, сәh. 221.

чәкилмәсими сөјләмәјә имкан вермир. Миниатүрүн үзәриндә јазылан гејдин тарихи беләдир: ۱۰۲ م. س. (Сәнә) сөзүндәки «ن» (пүн) һәрфиниң нәгтәси дә һәмин сыфры әвәз едән нәгтәниң үзәринә душур. Беләликлә, рәгәмин 1020 дејил, 1002 кими охунмасы һәгигәтә даһа яхындыр. «Тejmur хан Түркман» портретини Садигиниң сон әсәри несаб бәлкә дә доғрудур: Лакин онун тамамламамасының мұхтәлиф сәбәбләри дә нәзәрә алынмалыдыр. Чох ади һалдыр ки, портретин репродуксијасы назырлансын, ескизләри көтүрүлсүн, лакин рәссамын ону тамамламасы учүн лазыны шәраит олмасын. Мәсәлән, рәссамын ону тамамламаг мәгсәди, тәләб едилән назырлығын кифајәт гәдәр олмамасы, экси көтүрүлсүн шәхсии вә яхуд рәссамын вәфаты вә с. сәбәбләр рәсми тамамламасына имкан вермәйән һаллардыр.

А. Газыјев һәмин портретин чәкилмәси тарихиндән истифадә едәрәк, шаириң вәфаты тарихини мүәյҗәнләшдирмәјә чалышмышдыр. О, рәсмиң 1020-чи илдә чәкилдијини сөјләјәрәк белә нәтичәјә кәлир ки, Садиг бәј Искәндәр Мүнишиниң «Тарихе-аламараје-Аббаси» әсәриниң тамамламасындан әvvәl вә «Тejmur хан Түркман» портретиниң чәкилмәсингән сонра, јәни 1020—1024-чу илләр арасында 80 яшиңда вәфат етмишdir. Тәдгигатчы Г. Қәидли дә А. Газыјев кими портретин чәкилмәсина вә Искәндәр Мүнишиниң јаздыгларына эсасланараг белә нәтичәјә кәлир ки, Садиги портретин чәкилмәсигән сонра вә «Тарихе-аламараје-Аббаси»-ниң бириңи чилдиниң тамамламасындан әvvәl, тәхминән 1601 (2)—1616-чы илләр арасында вәфат етмишdir<sup>6</sup>.

Беләликлә, Садиг бәјин вәфаты тарихи һаггында јүрүдүлән мұлаһи-зәләри јекулашдырыркән һәгигәтә яхын бир нәтичә әлдә едилр ки, бу, шаириң кениш мә'нада портретин чәкилмәсигән сонра вә Искәндәр Мүнишиниң «Тарихе-аламараје-Аббаси» әсәриниң тамамламасындан әvvәl вәфат етмәсидir.

Сон ваҳтларда көркәмли алым Әбдулрәсул Хәjjампур васитәсилә әл-дә етдијимиз, индиј кими тәдгигатчыларымыза мә'лум олмајан ики јени мәнбә дә Садигиниң вәфаты тарихини мүәйҗәнләшдирмәк учүн чох гиј-мәтлидир. Бу мәнбәләрдән бири Ҳәлили Әли Ибраһим ханың һичри 1205 (1790)-чи илдә Парисда 60 яшиңда олдуғу заман тамамладығы вә Берлинин Тивинкен китабханасында сахланан «Сүнүфе Ибраһим»-тәзкирәсидir. Һәчм е'тибарилә бөյүк олан вә 3278 шаир һаггында мә'лumat верән бу тәзкирә әлифба сырасы илә тәртиб едилмишdir. Тәзкирәдә Садигиниң вәфаты һаггында охујуруг «...јашы 90-а чатмышды ки, дүнија илә видалашды». Ашағыдақы мисра онун вәфаты тарихидir.

### دَگُر عَجْب كَهْ دَمْ صَبَحْ صَادِقْ ازْ شَبْ ما<sup>7</sup>

(Тәччублұдур ки, сұбне-садиг бир даһа бизим кечәмиздән доға).

Икинчи мәнбә Шејх Әhmәd Әlinin һичри 1218 (1803)-чи илдә тамамладығы вә назырда Британија музейинде сахланан «Мәхзән-ул-гәраиб»-тәзкирәсимиң әлјазмасыдыр. Фарс дилиндә олан бу тәзкирә дә әлифба сырасы илә тәртиб едилмишdir. Тәзкирәнин алтынчы вә једдинчы сәни-фәләриндә Садигиниң вәфаты һаггында ашағыдақы мә'лumat верилмишdir ки, бу мисра онун вәфаты тарихидir:

### دَگُر عَجْب كَهْ دَمْ صَبَحْ صَادِقْ ازْ شَبْ ما<sup>8</sup>

(Тәччублұдур ки, сұбне-садиг бир даһа бизим кечәмиздән доға).

<sup>6</sup> Г. Қәидли. Садиг бәј Садигиниң һәјат вә ярадычылығы һаггында бә'зи гејдләр. Азәрбајҹан әдәбијаты мәсәләләри, Бакы, 1964, сәh. 223.

<sup>7</sup> خلیلی علی ابراهیم خان. صحف ابراهیم. پاریس ۱۲۰۵

<sup>8</sup> شيخ احمد علی. مخزن الغرائب. ۱۲۱۸. ص: ۶ - ۷

Көрүндују кими, икинчи тәзкирә биринчи 13 ил соңра тамамланышдыр. Бәлкә дә шејх Әhmәd Әли, Ҳәлили Әли Ибраһим ханың јазыгларындан истифадә етмишdir.

Бир чох шәрг мәнбәләриндә олдуғу кими, бүнларда да шаириң вәфаты тарихи рәгәмлә дејил, сөзлә верилмишdir. Һәмин сөзләри әрәб әлифбасының несаблама гајдасына тәтбиғ етдикдә, јәни әбчәдлә охудугда 1018-чи һичри тарихи алынмышдыр ки, бу да милади 1610-чу илә мұтабигидir.

Беләликлә, XVI—XVII әсрләрдә јазыб јаратмыш Садиг бәј Садигиниң тәвәллүд тарихи 940 (1533)-чи илдән көтүрүлдүкдә 77 ил өмүр сүрдүјү вә 1018 (1610)-чи илдә вәфат етдији мүәjjәnlәшмиш олур.

Әдәбијат институту

Алынмышдыр 3. III 1969

М. Г. Мурадова

### О дате рождения и смерти Садиг-бека Афшара

#### РЕЗЮМЕ

Садиг-бек Садиги является поэтом, выдающимся деятелем искусства, теоретиком по искусствоведению. Его перу принадлежит ряд художественных работ, а также работ, охватывающих ряд сторон искусствоведения.

Поэт, который жил и творил в конце XVI и в начале XVII вв., оставил нам ценные литературное наследие своих газелей, гасид, рубаи, к гит'е и др. литературные жанры ближневосточной поэзии.

Исследовав первоисточники советских и зарубежных ученых, автор установил в статье день рождения и смерти Садиг-бека.

## Стратиграфия

Г. К. Гасымова, Х. Ш. Элиев, К. А. Порошина, Тэнки-Бешбармаг антиклиниориси зонасында Журдан Табаширэ кечид мәсәлесинә дайр . . . . .	53
Ад. Элиев, Л. И. Элиева. Гәрби Азәрбајчаны Акчагыл чөкүнтуләрини бәлкүсүнә вә мүгајисесинә дайр . . . . .	56

## Кеолокија

М. М. Ыумматов, Р. Ј. Йусифов, Д. И. Эфандиев. Абшерон архипелағының чәнуб-шәрг һиссесинде Гырмаку дәстәсінин галыныштырының дәйишмә характеристи, литофасијасы вә коллектор хасселәри . . . . .	62
--	----

## Торпагшұнаслыг

Т. С. Чәфәрова. Муровдағ силсиләси алп чәмән торпагларында һумусун фракцион тәркиби . . . . .	67
---	----

## Агрокимја

Р. Г. Ыусейнов, Н. Ј. Гасымов. Ерозија уғрамыш торпагларда калиумун мигдәры вә формалары . . . . .	71
--	----

## Кенетика

М. А. Элизадә, Л. І. Чавадов. Ефиран-99 вә 2,4 D-нин бүгдә јарпагларында нуклеин вә азот мүбадиләсинә тә'сир . . . . .	74
--	----

## Физиолокија

С. Э. Җәбијева, Э. М. Сеидзадә. Инкишаф едән тојуг ембрионунун мәдәләттә вәзисинде глүкагонабәнзәр фәаллығын еўрәнилмәси . . . . .	77
--	----

## Тибб

Ш. Э. Мамудова. Анкилостомидозла иммунология тәдгигат үсуллары . . . . .	80
--	----

## Әдәбијат

М. Г. Мурадов. Садиг бәj Садигинин тәвәллүд вә вәфат тарихи һагында . . . . .	84
---	----

## МҮНДӘРИЧАТ

### Ријазијјат

В. И. Начыев. Һилберт фәзасында операторларын Фурje чевирмәләри һагында . . . . .	3:
---	----

Н. Н. Орутов. Җохдәжишәнили функцияларыn $\alpha_p(E_2^+)$ ( $p < 1$ ) фәзасында хәтти операторларла жаһынлашмасы һагында . . . . .	9:
---	----

### Техники физика

Ж. Г. Серкеев, Ј. В. Горин. Сәттәрәи диелектриклә өртүлмүш електродлар арасында башлугда алынан газ башалмасының бә'зи хүсусијәтләри һагында 13.	
--	--

### Астрофизика

Ч. М. Гулузадә. Құнш дискинин гұтб вә экватор спектрләринде Фраунгофер хәтләринин мұхтәлифлиji һагында . . . . .	17
--	----

### Електрокимја

К. А. Элиев, Л. Ј. Гавенски. Мәдән чиһазларының дахили сәттениннелектрокимјәви мұнағиғасы . . . . .	22
---	----

### Әсас үзви синтезин технолокијасы

В. Д. Чериов, И. П. Добролюбский, Б. Р. Серебряков, М. А. Дал и. Гејри-мәсамәли һиссәчикләрин псевдојандырылыш гатына көчүлмүш газын јарымсоңсуз п-импулсларының бурахылмасы анализи . . . . .	26
--	----

### Үзви кимја

М. С. Саланов, М. М. Ыусейнов, П. М. Поладов. Һексахлорсиклопентадијенин $\Delta^3$ -сиклохексен карбон туршулары илә дијен конденсләшмәси реаксијаларының стереокимјәви тәдгиги . . . . .	32
--	----

### Физики кимја

М. Ј. Агарулов. Силиснум үзви бирләшмәләрин әмәләкәлмә ентальпијасы . . . . .	36
---	----

### Аналитик кимја

И. Л. Бағбани, М. В. Шираj, Н. Н. Маков. Сезиум-тетрагранодиаминхромиат бирләшмәсінин синтези вә еўрәнилмәси . . . . .	41
--	----

### Фајдалы газынтылар

Ә. Д. Қаримов, Ф. Ә. Қаримов. Говурмадәрә гурғушы-ник жатағында диорит-порфирит дајкасының физиологияшмә илә әлагасы вә филиз дамарларының әмәләкәлмә вахты . . . . .	45
---	----

### Кеофизика

Е. М. Демиховская-Гулиева, В. П. Кузнецов, С. В. Пучков. Чәнуб-шәрги Гағгазын жаһын зәлзәләләринин чөкүнту гатында рәгси сүр'эт . . . . .	49
---	----

## Геофизика

- Э. М. Демиховская-Кулиева, В. П. Кузнецов, С. В. Пучков.  
Скорости колебаний грунта от близких землетрясений Юго-Восточного  
Кавказа. . . . . 49

## Стратиграфия

- Г. К. Касимова, Х. Ш. Алиев, Л. А. Порошина. О границе юры и  
мелы в полосе Тенгинско-Бешбармакского антиклинария. . . . . 53  
Ад. А. Алиев, Л. И. Алиева. О расщеплении и сопоставлении акчагыль-  
ских отложений Западного Азербайджана. . . . . 56

## Геология

- М. М. Гумматов, Р. Ю. Юсифов, Д. И. Эфендиев. Особенности из-  
менения мощностей, литофаации и коллекторских свойств отложений кирмакинской  
свиты юго-восточной части Апшеронского архипелага. . . . . 62

## Почвоведение

- Т. С. Джарова. Групповой состав гумуса высокогорно-луговых почв  
Мурвадагского хребта. . . . . 67

## Агрохимия

- Р. К. Гусейнов, Н. Ю. Касумов. Содержание и формы калия на  
эродированных почвах. . . . . 71

## Генетика

- М. А. Ализаде, Л. Г. Джавадова. Действие эфирана-99 и 2,4 на нукле-  
иновый и азотистый обмен в листьях пшеницы. . . . . 74

## Физиология

- С. А. Джабиева, Э. М. Сендае. Изучение глюкагонаподобной актив-  
ности поджелудочной железы у развивающегося куриного эмбриона. . . . . 77

## Медицина

- Ш. А. Махмудова. Иммунологические методы исследований при ангило-  
стомидозах . . . . . 80

## Литература

- М. Г. Мурадова. О дате рождения и смерти Садиг-бека Афшара. . . . . 84

## СОДЕРЖАНИЕ

### Математика

- В. Г. Гаджиев. О преобразованиях Фурье дифференциальных операторов в  
гильбертовом пространстве. . . . . 3

- Г. Н. Оруджов. О приближении функций нескольких переменных линей-  
ными операторами в пространстве  $L_p(E_2^+)$  ( $p \geq 1$ ). . . . . 9

### Техническая физика

- Ю. Г. Сергеев, Ю. В. Горин. О некоторых особенностях газового разряда  
в промежутке с электродом, ограниченным диэлектриком. . . . . 13

### Астрофизика

- Д. М. Кулладзе. О различии фраунгоферовых линий в спектре полюса и  
экватора диска солнца. . . . . 17

### Электрохимия

- К. А. Алиев, Л. Я. Гавенский. Электрохимическая защита внутренней  
поверхности промысловых емкостей и аппаратуры. . . . . 22

### Технология основного органического синтеза

- В. Д. Чернов, И. П. Добролюбский, Б. А. Серебряков, М. А. Да-  
лии. Анализ напуска полувесеннего п-импульса трассирующего газа в псевдо-  
ожиженный слой непористых частиц. . . . . 26

### Органическая химия

- М. С. Салахов, М. М. Гусейнов, П. М. Поладов. Стереохимическое  
исследование реакции конденсации гексахлорциклогексадиена с  $\Delta^3$ -циклогексен-  
карбоновыми кислотами. . . . . 32

### Физическая химия

- М. Я. Агарунов. Энталпия образования кремнийорганических соединений  
ряда  $SiH_n(CH_3)_mCl_{4-n-m}$  . . . . . 36

### Аналитическая химия

- И. Л. Багбанилы, М. В. Шрай, Н. Н. Маков. Синтез и исследование  
свойств тетрагранодиамминхромната цезия. . . . . 41

### Полезные ископаемые

- А. Д. Керимов, Ф. А. Керимов. О взаимоотношении дайки диорит-пор-  
фирита с оруденением и времени образования рудных жил на Каурмадаринском  
свинцово-цинковом месторождении. . . . . 45

Сдано в набор 6/1 1970 г. Подписано к печати 10/IV 1970 г. Формат бумаги  
70×108 1/16. Бум. лист. 2,88. Печ. лист. 7,88. Уч-изд. лист. 6,8. ФГ 00112. Заказ 12.  
Тираж 830. Цена 40 коп.

Типография им. Рухуллы Ахундова Государственного Комитета Совета Министров  
Азербайджанской ССР по печати. Баку, Рабочий проспект, 96.

**40 коп.**

**Индекс  
76355**